

Fusie – zon op aarde

World population

people

Oil consumption

barrels

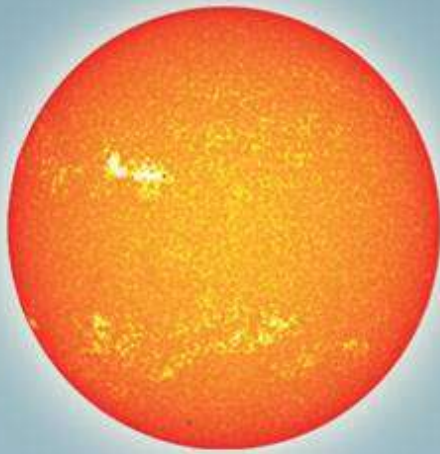
CO₂ emission

tonnes



Fusie

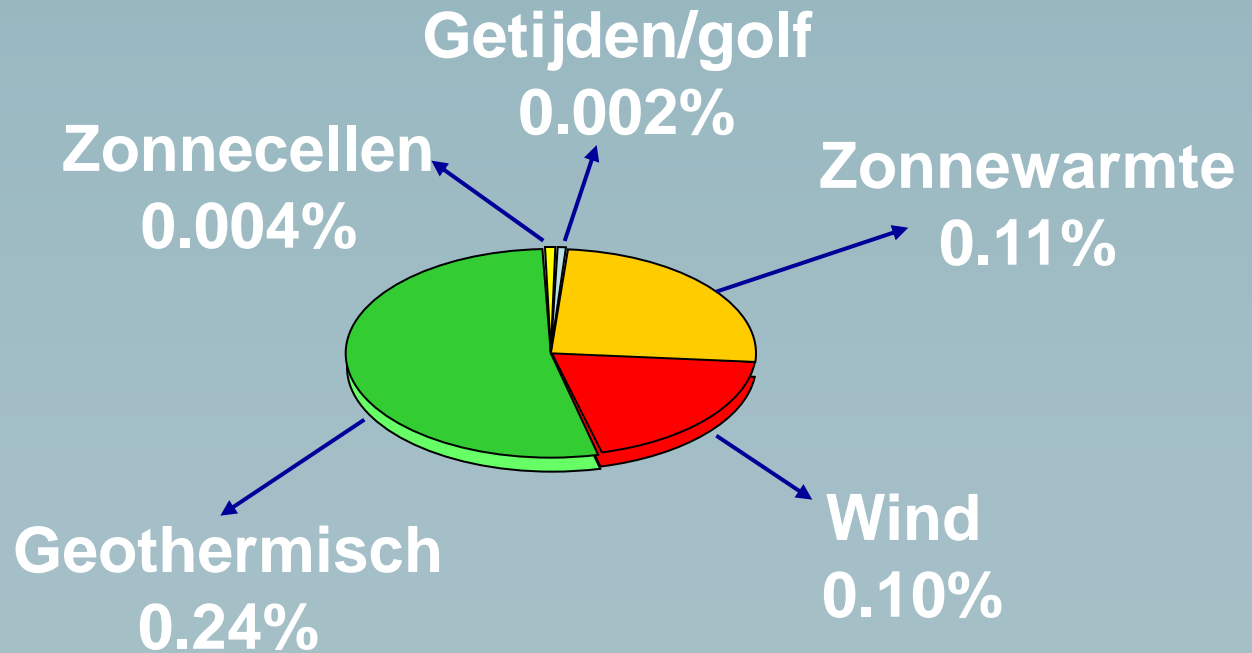
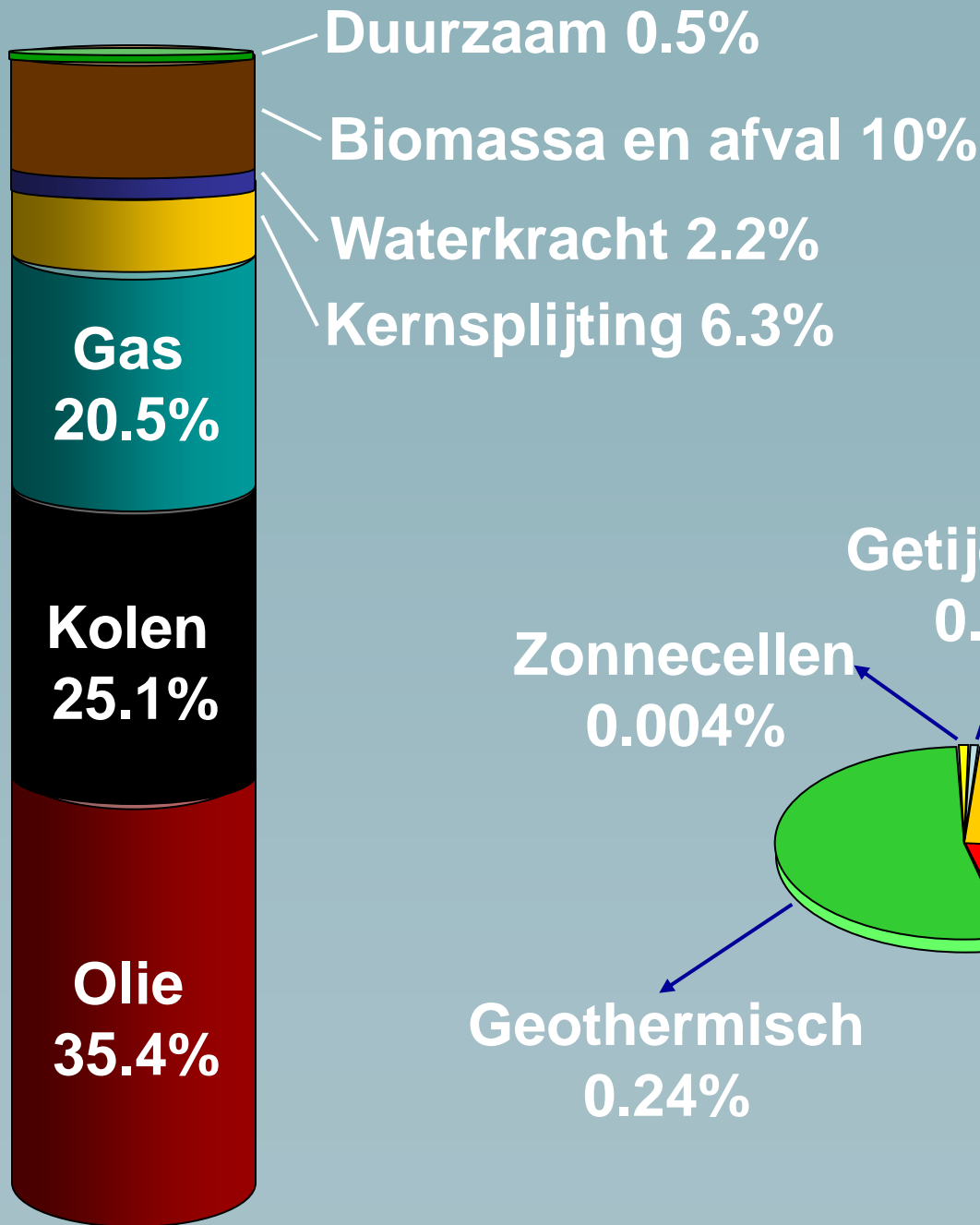
Van belofte naar realiteit



Tony Donné
FOM-Instituut DIFFER
TU Eindhoven

3-4-2013
KIVI NIRIAm Den Haag

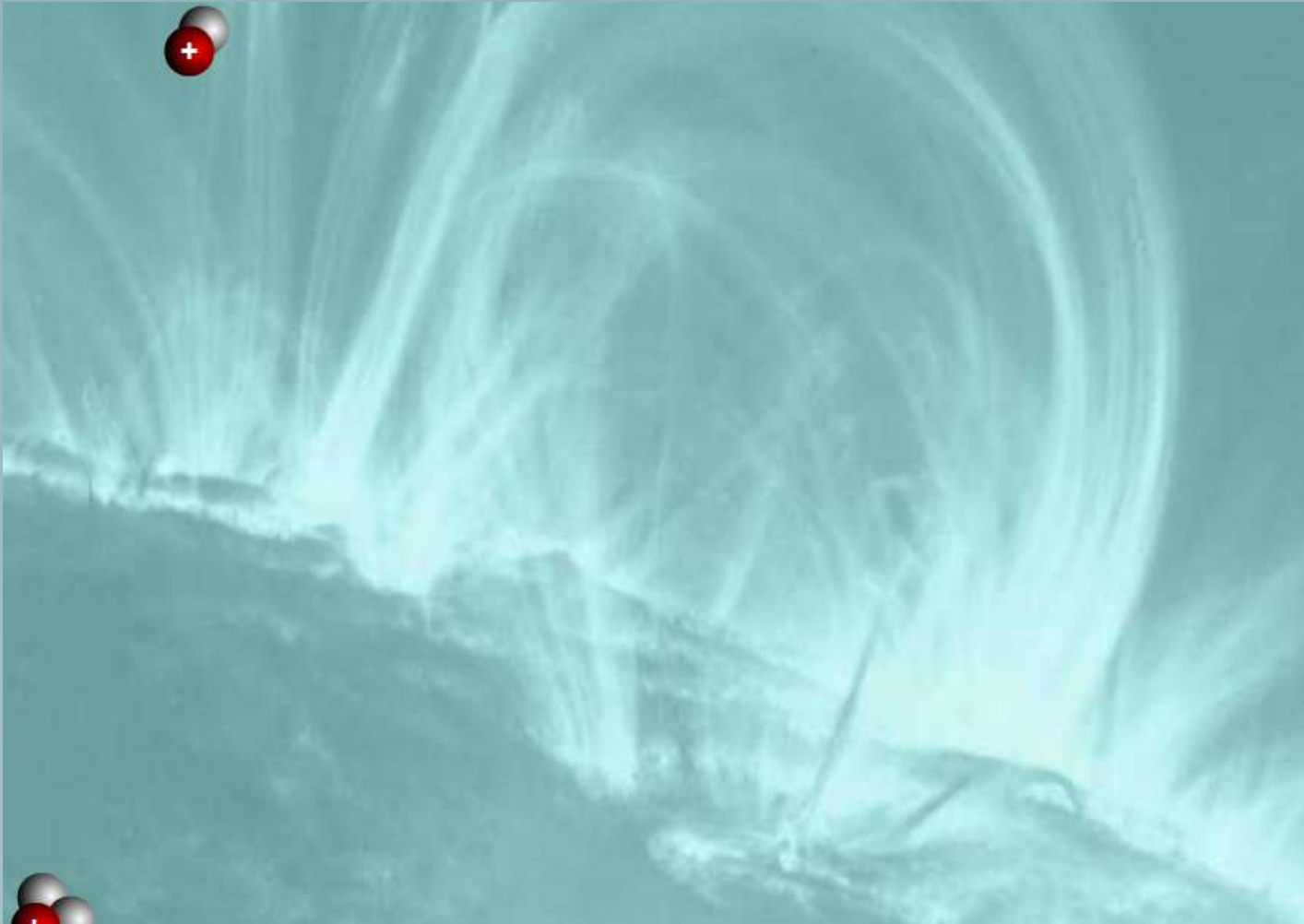
Wereld energiegebruik 2005 - IEA 2007, REN 2006



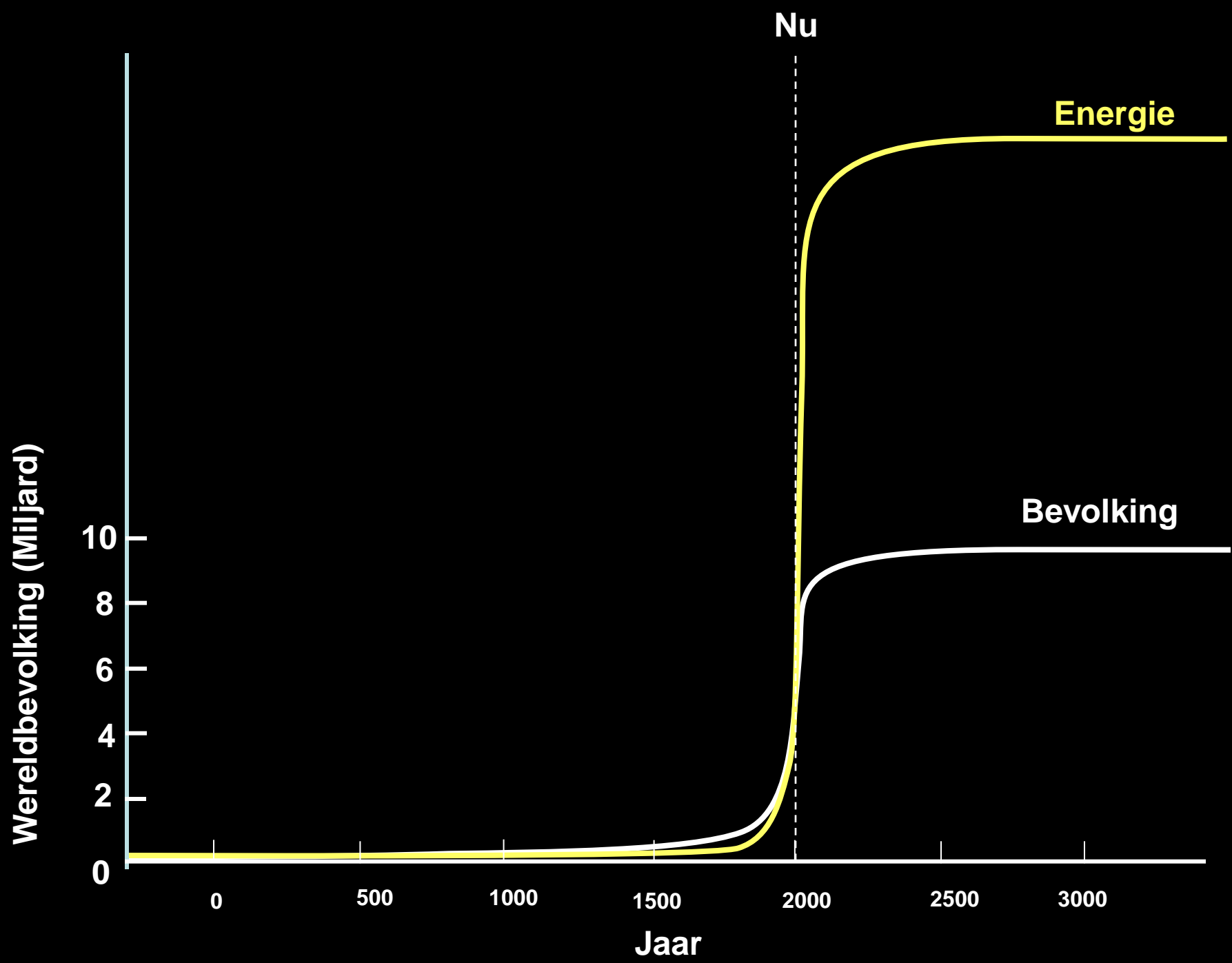
Kernsplijting



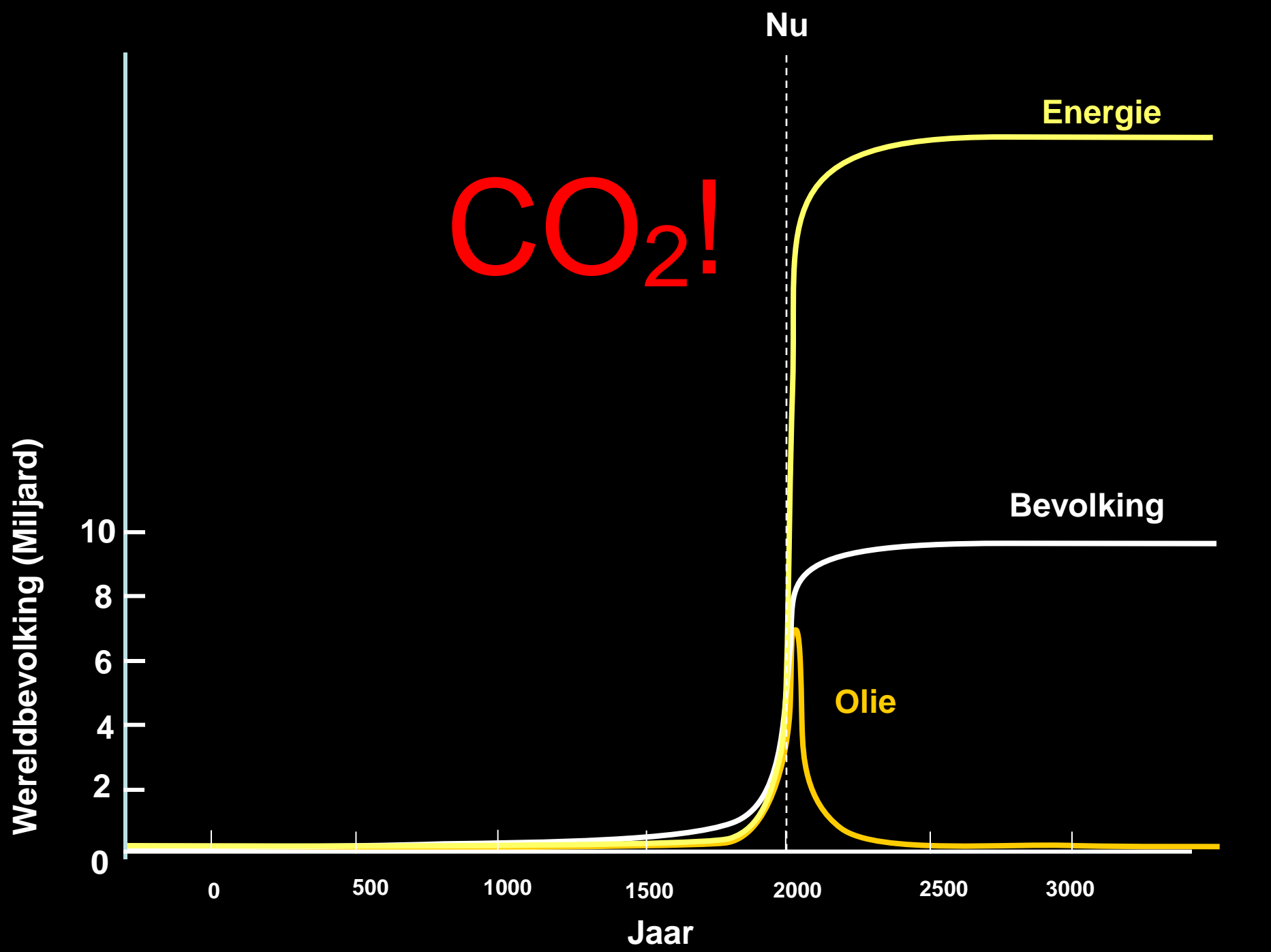
Fusie



deuterium + tritium \rightarrow helium + neutron







Schone energie?

Wind

Zon

Waterkracht

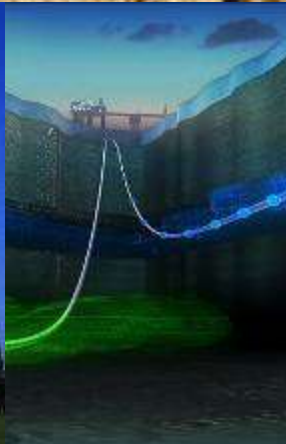
Golfenergie

Biomassa

Kernsplijting

Geothermisch

CO₂-opslag



Europe, USA, Japan, China, Russia, S-Korea and India

willen fusie:

- Geen CO₂, schoon, veiligheid
- Brandstof alom voorradig
- Geen proliferatie issue

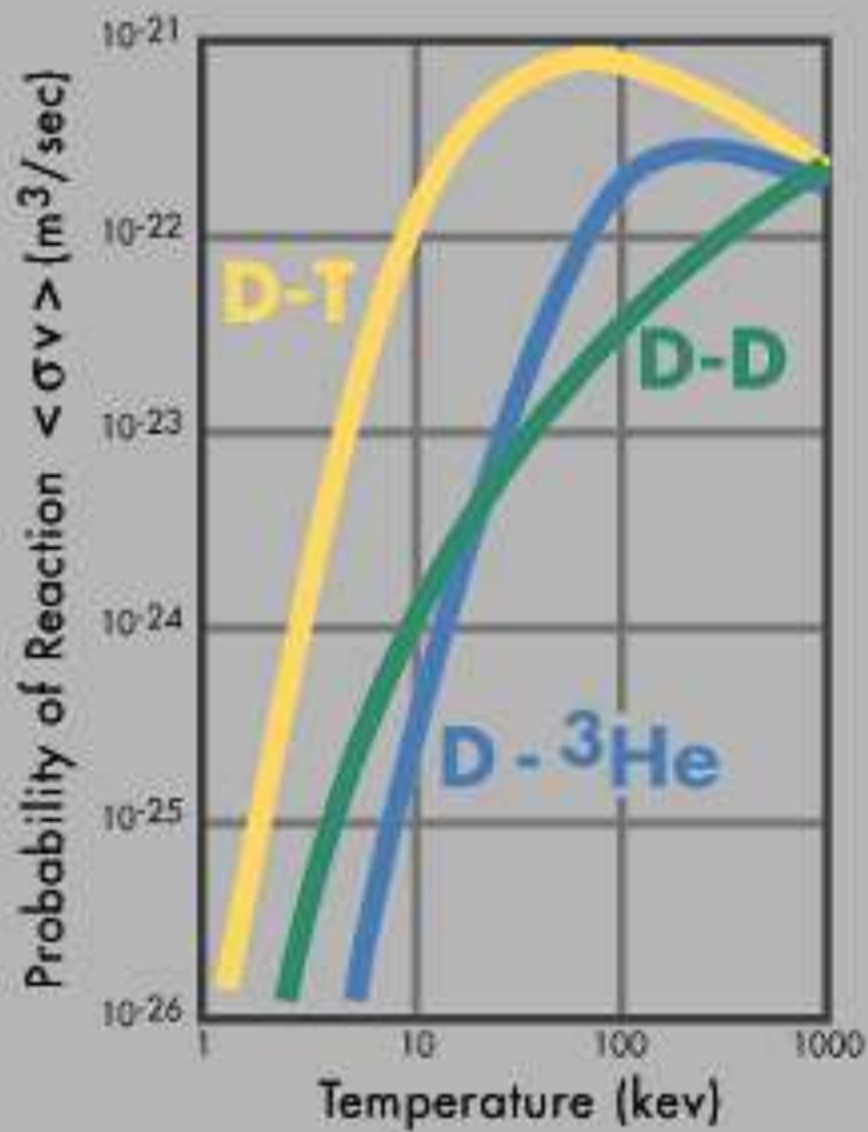
Nadeel... Fusie is onmogelijk

Europe, USA, Japan, China, Russia, S-Korea and India

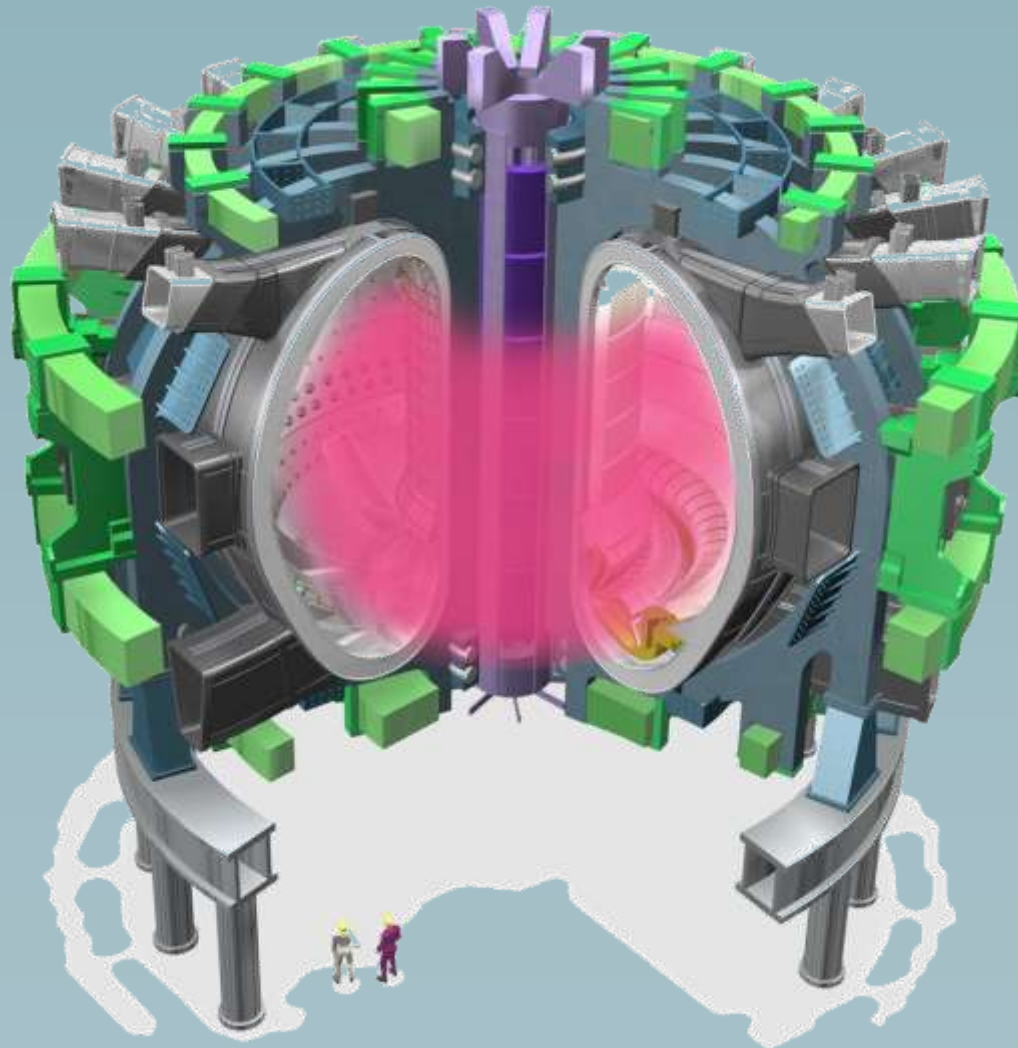
willen fusie:

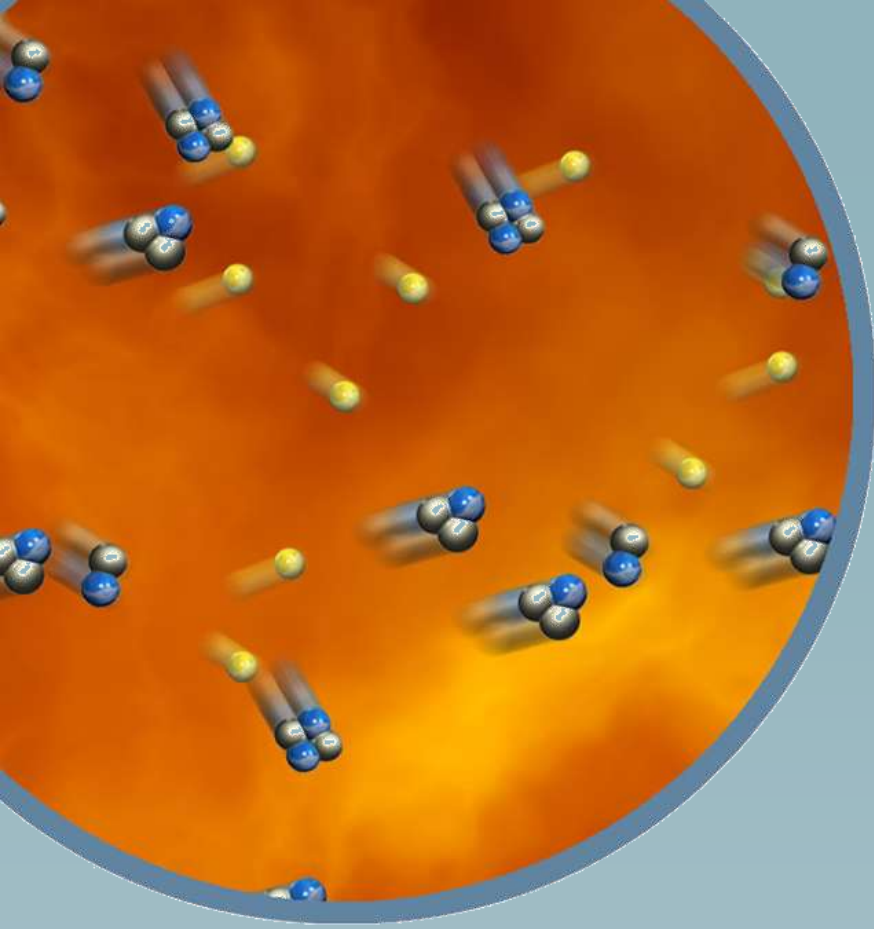
- Geen CO₂, schoon, veiligheid
- Brandstof alom voorradig
- Geen proliferatie issue

Nadeel... Fusie is moeilijk

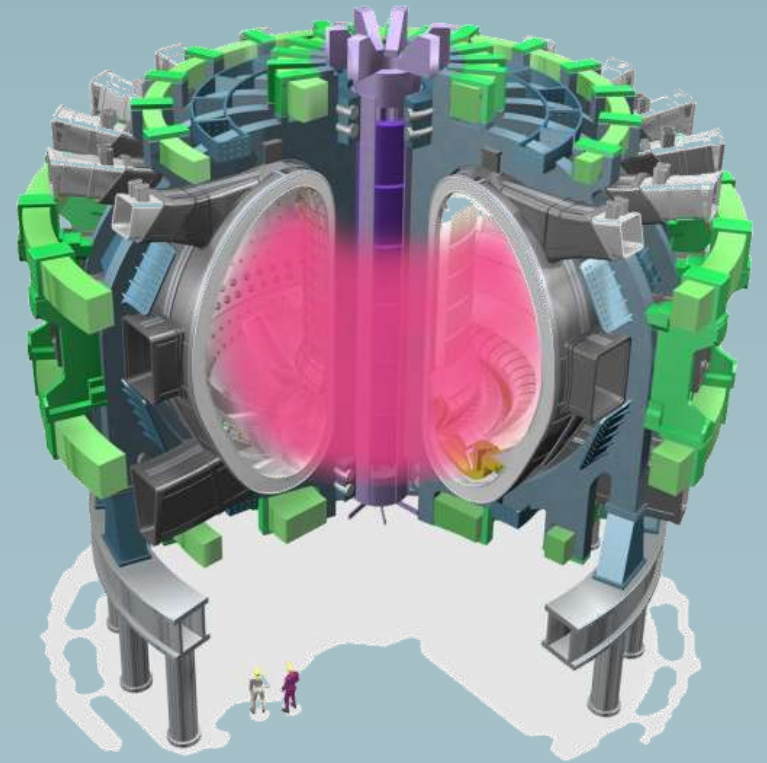


De 7 onmogelijkheden van fusie

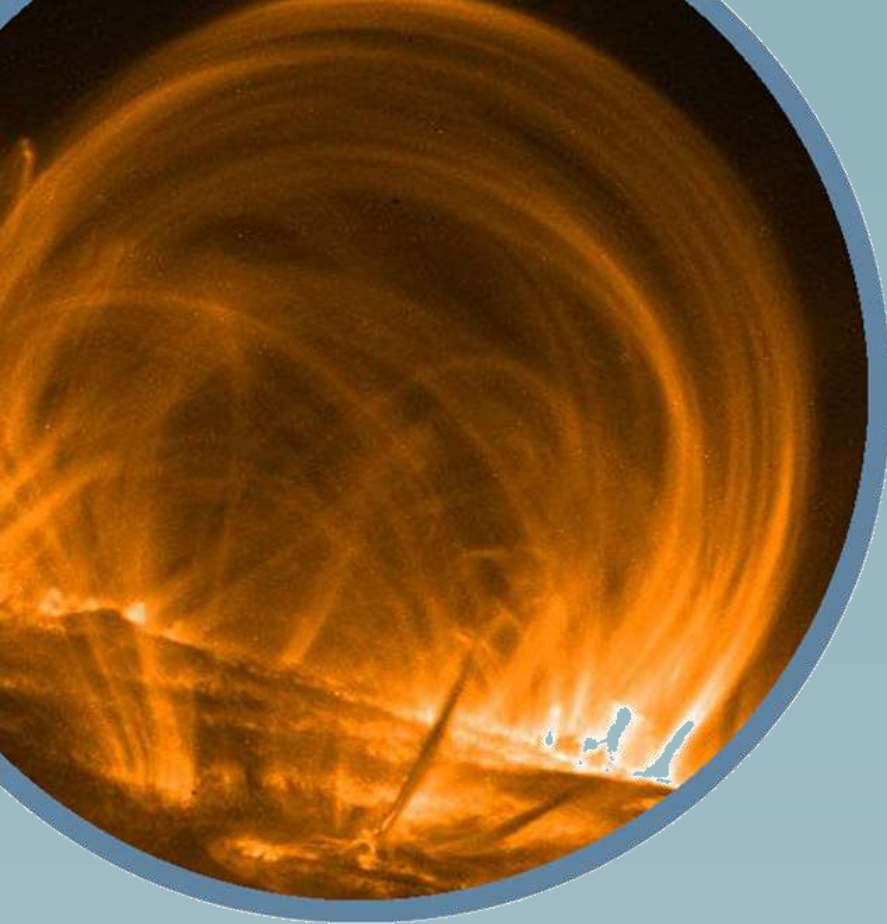




1

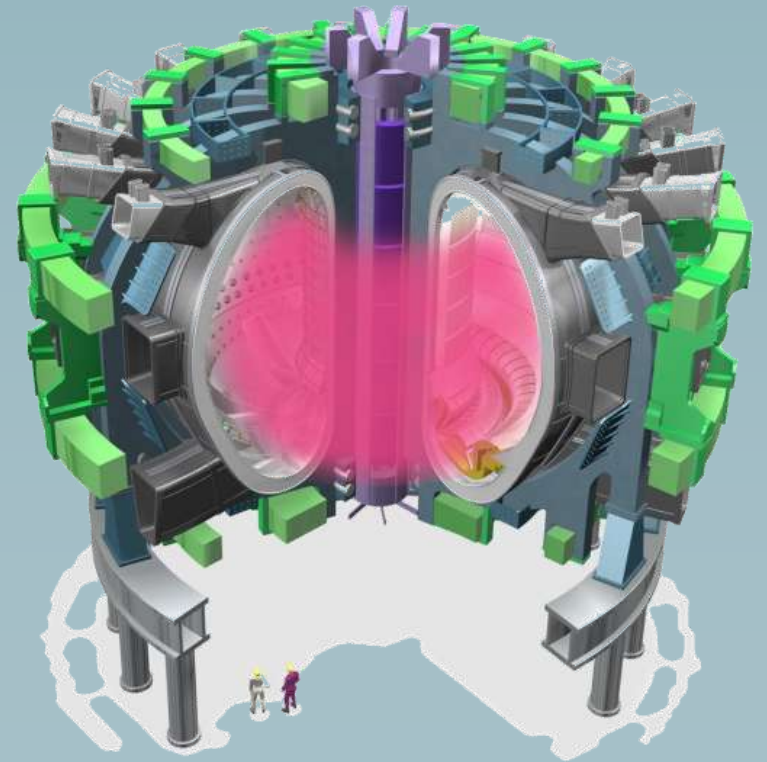


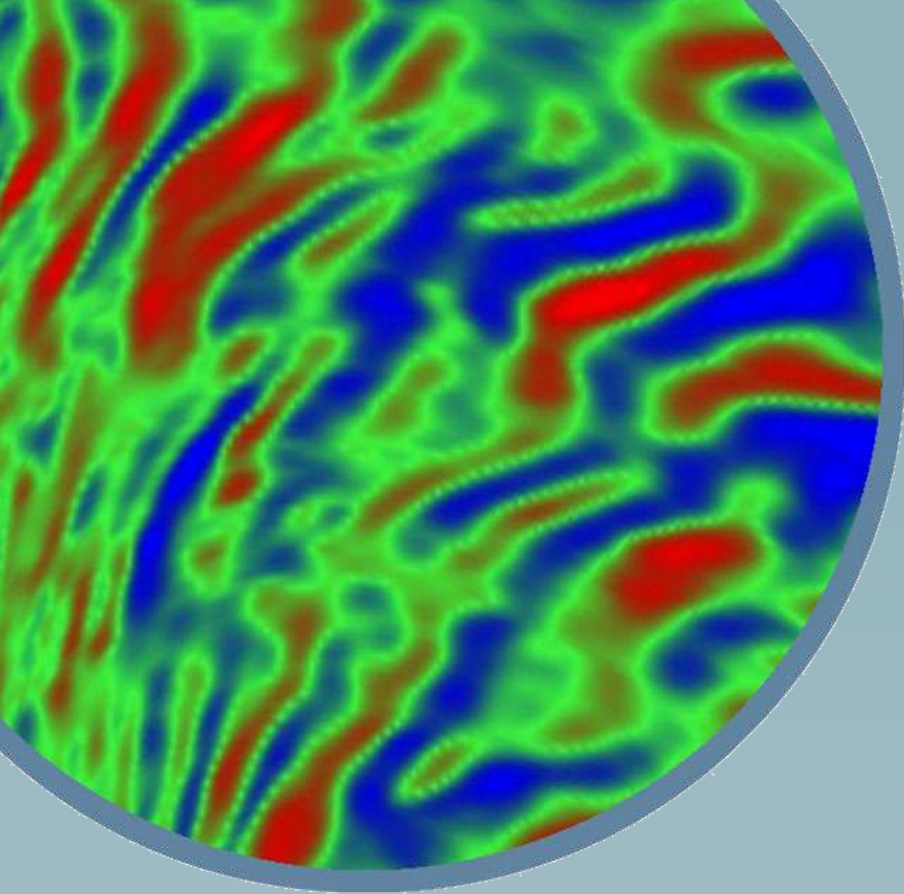
10× heter dan de zon



2

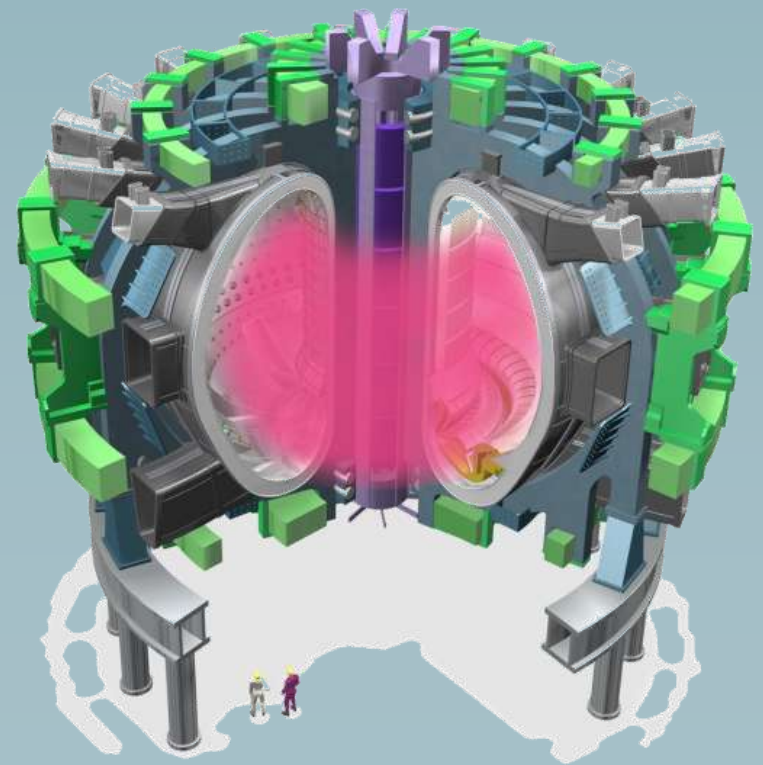
Zonnevlammen
beheersen

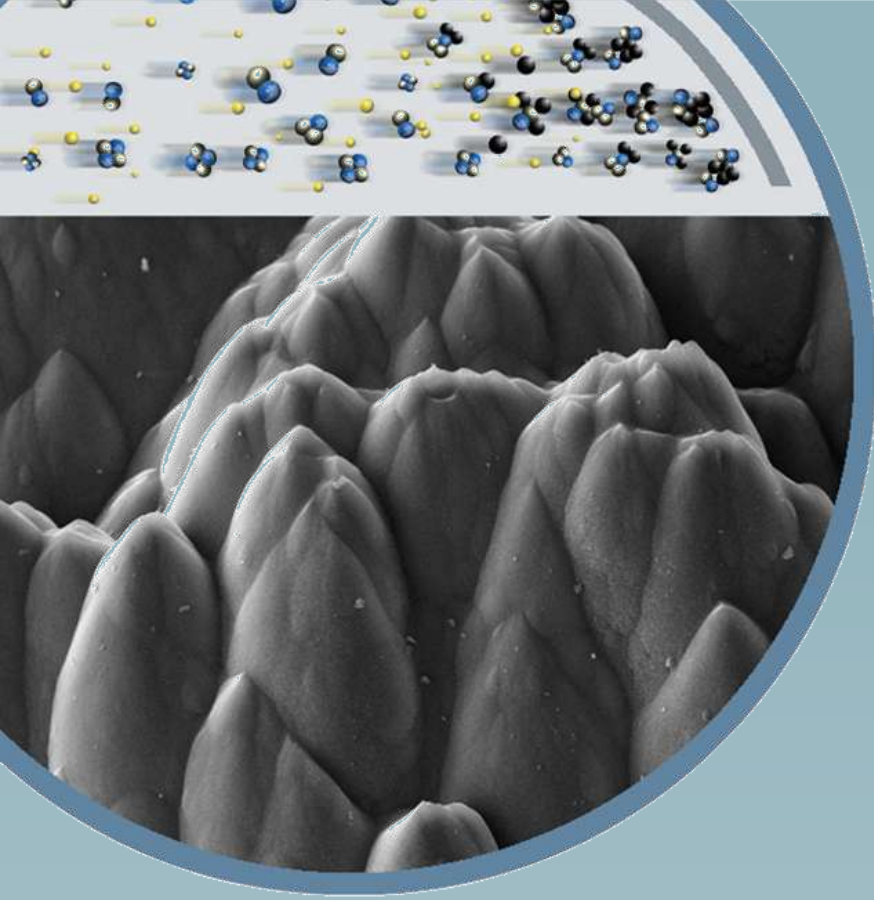




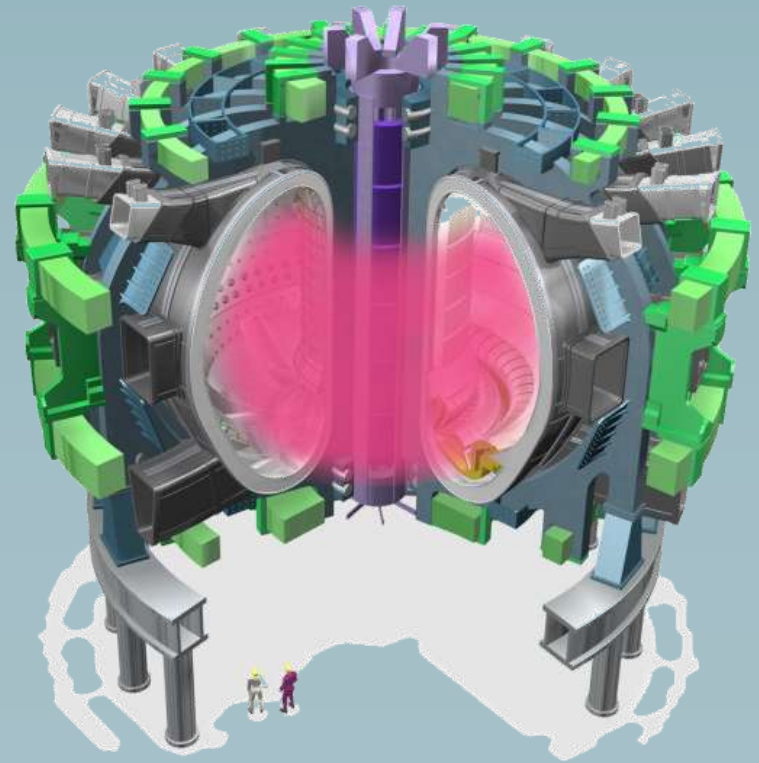
3

Thermische isolatie
nagenoeg perfect

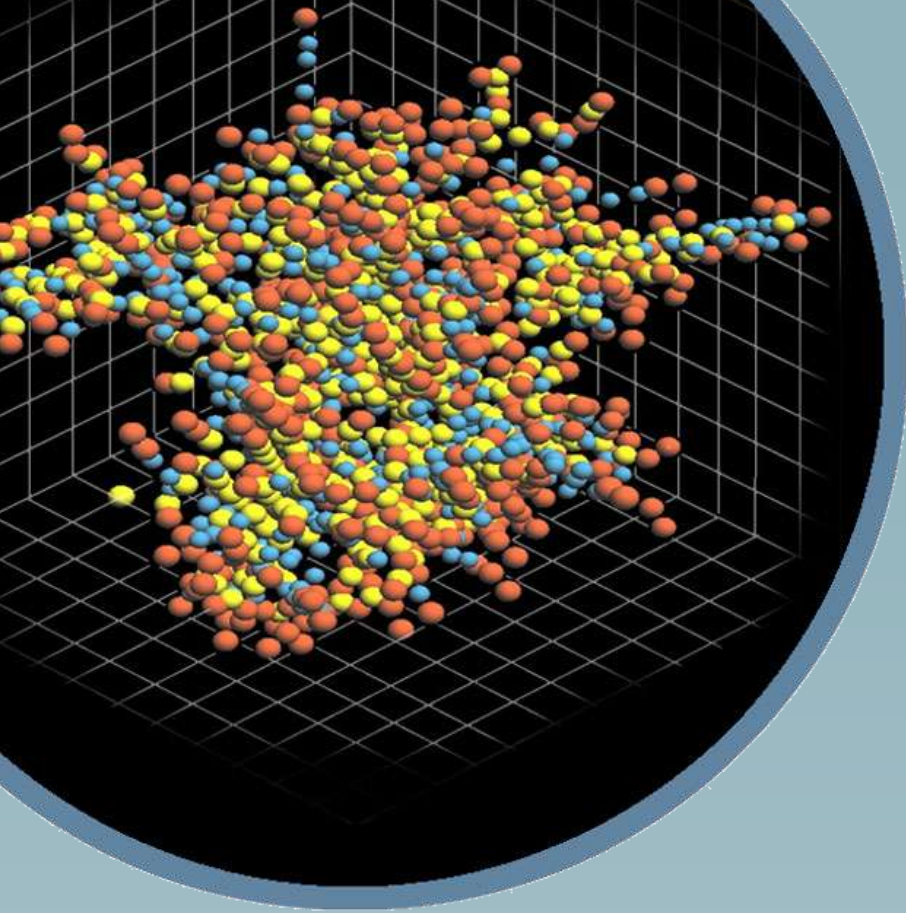




4

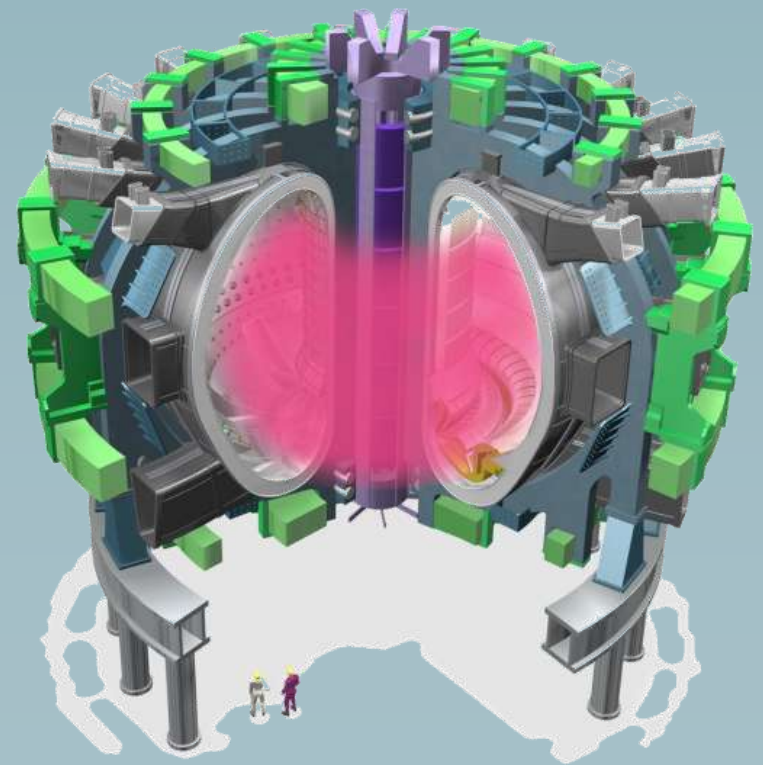


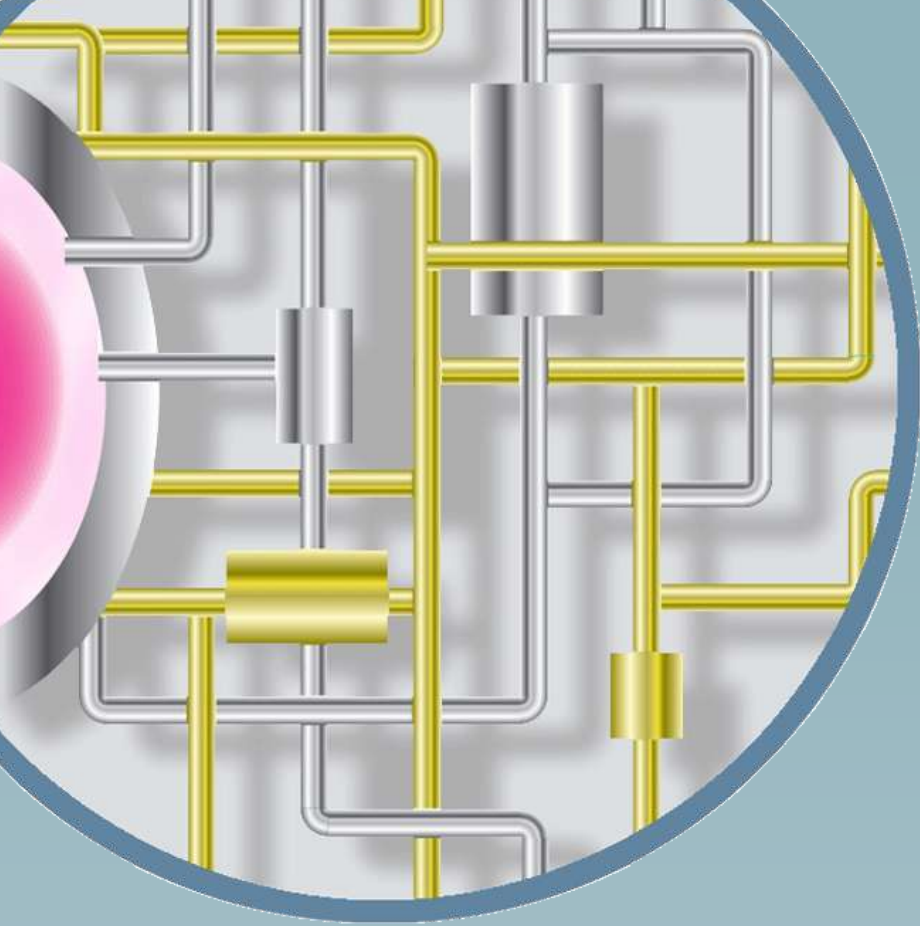
Materialen die je op de
zon kunt leggen



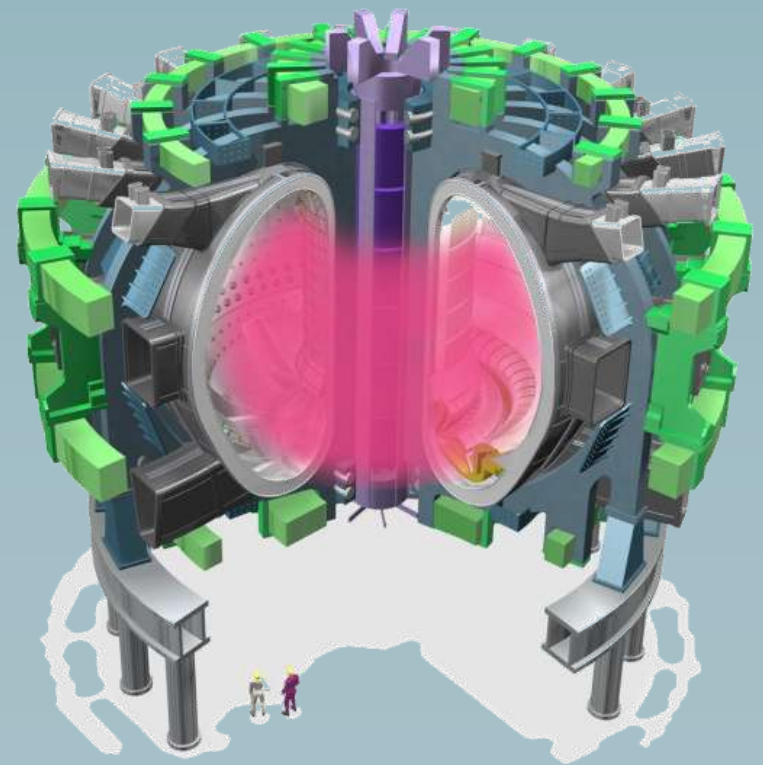
5

Bombardement van
neutronen

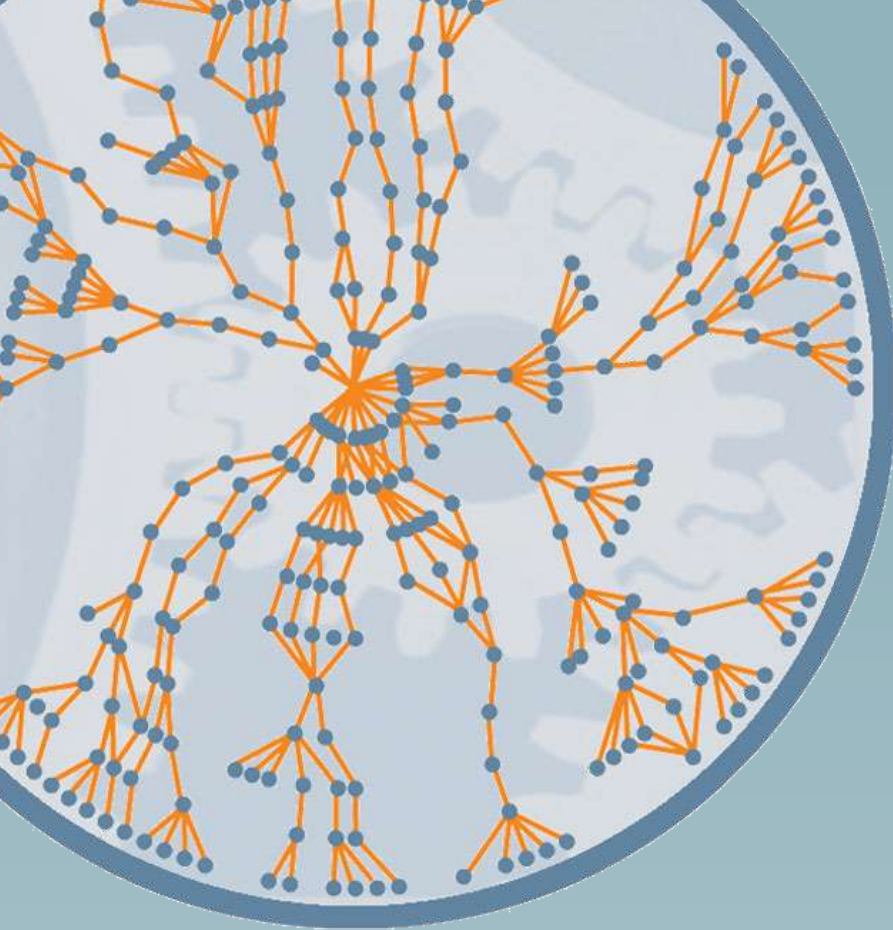




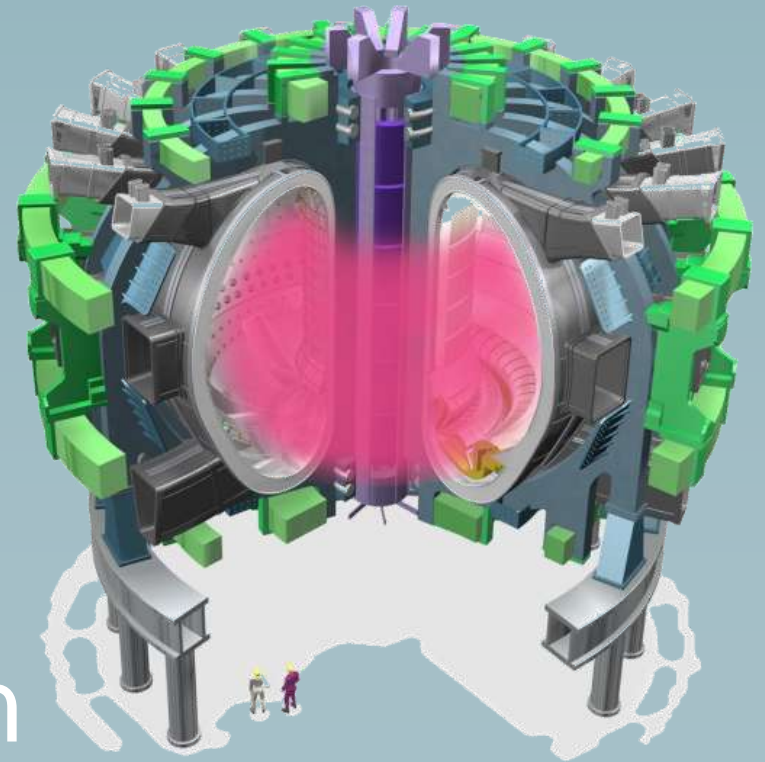
6



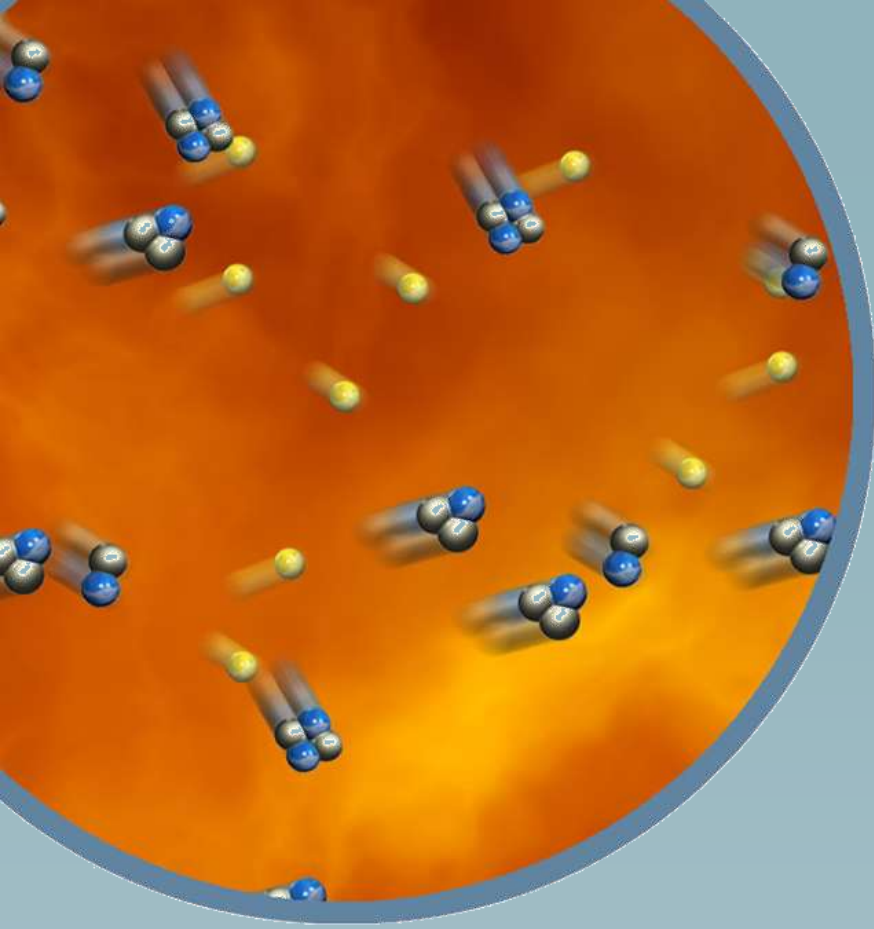
Brandstofcyclus
Tritiumproductie



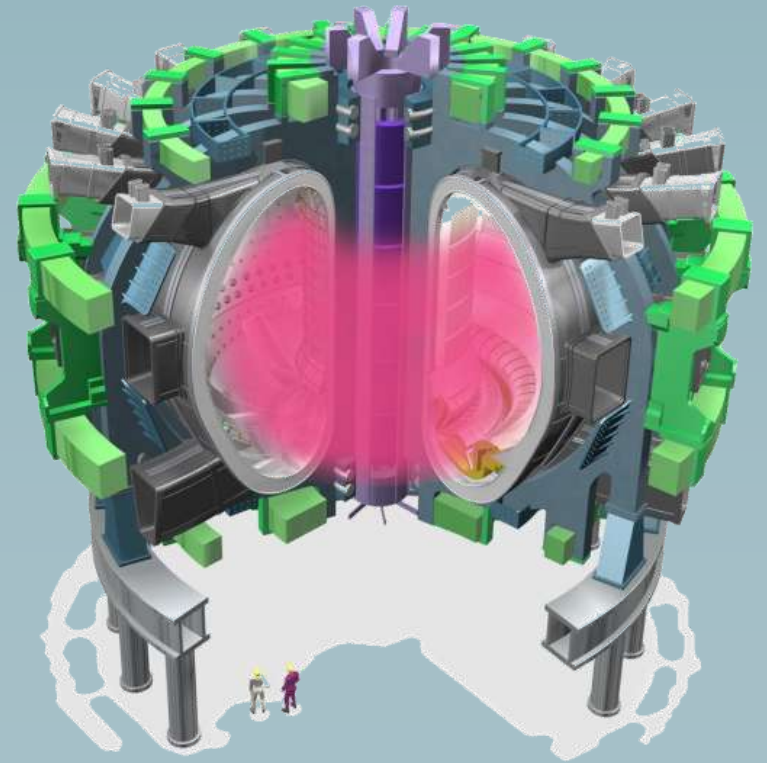
7



ITER: 34 landen
15.000.000 onderdelen

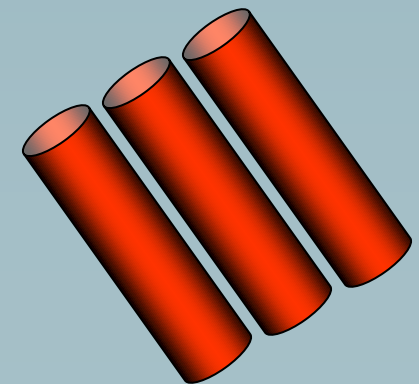
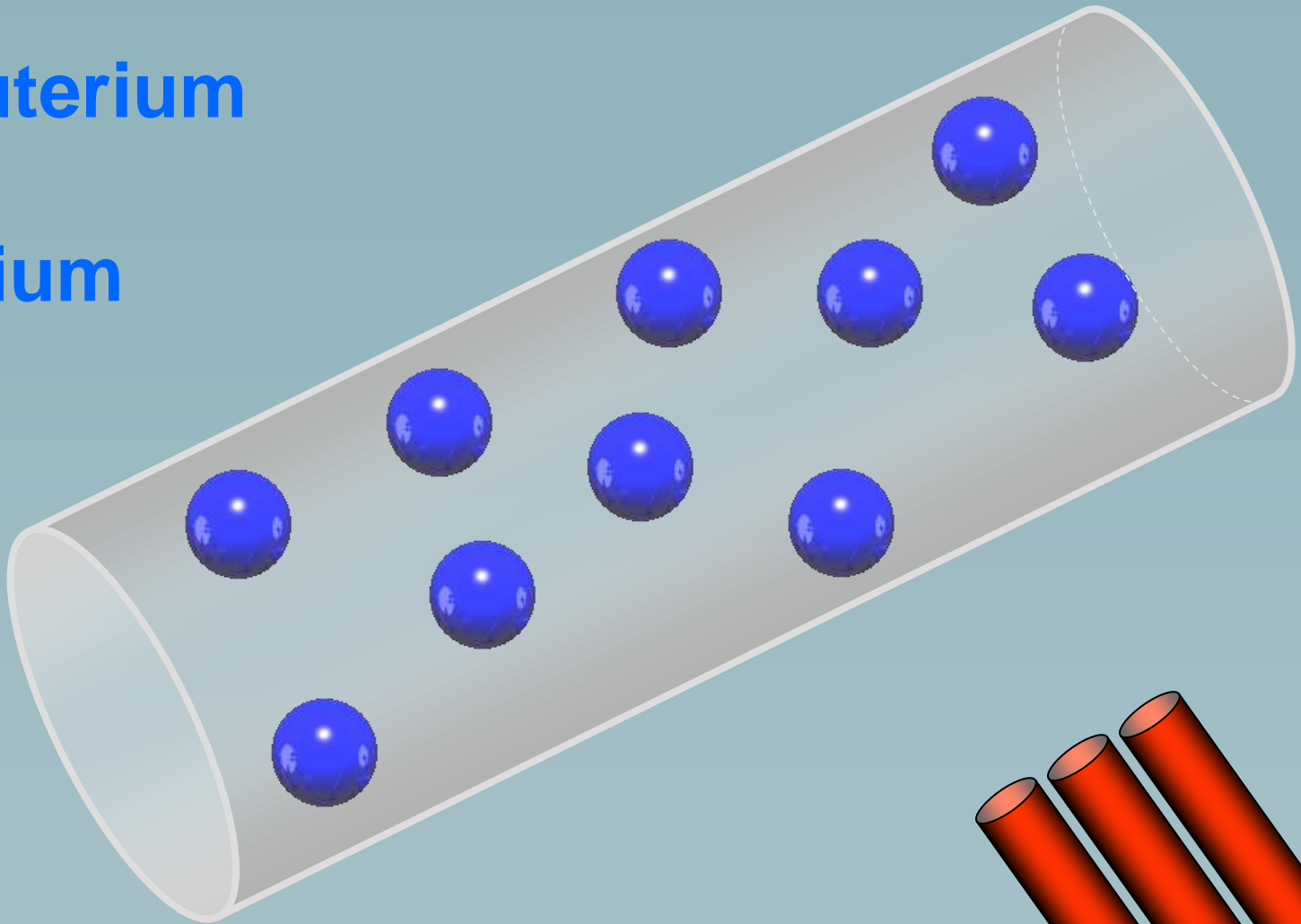


1



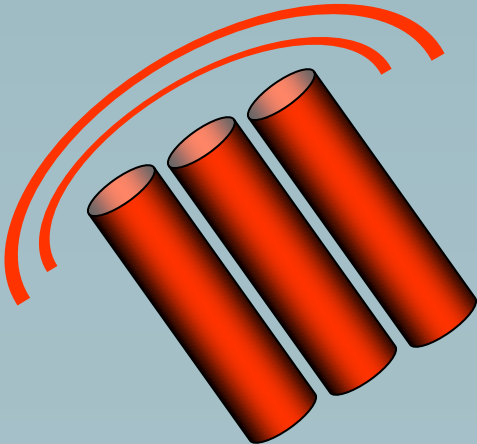
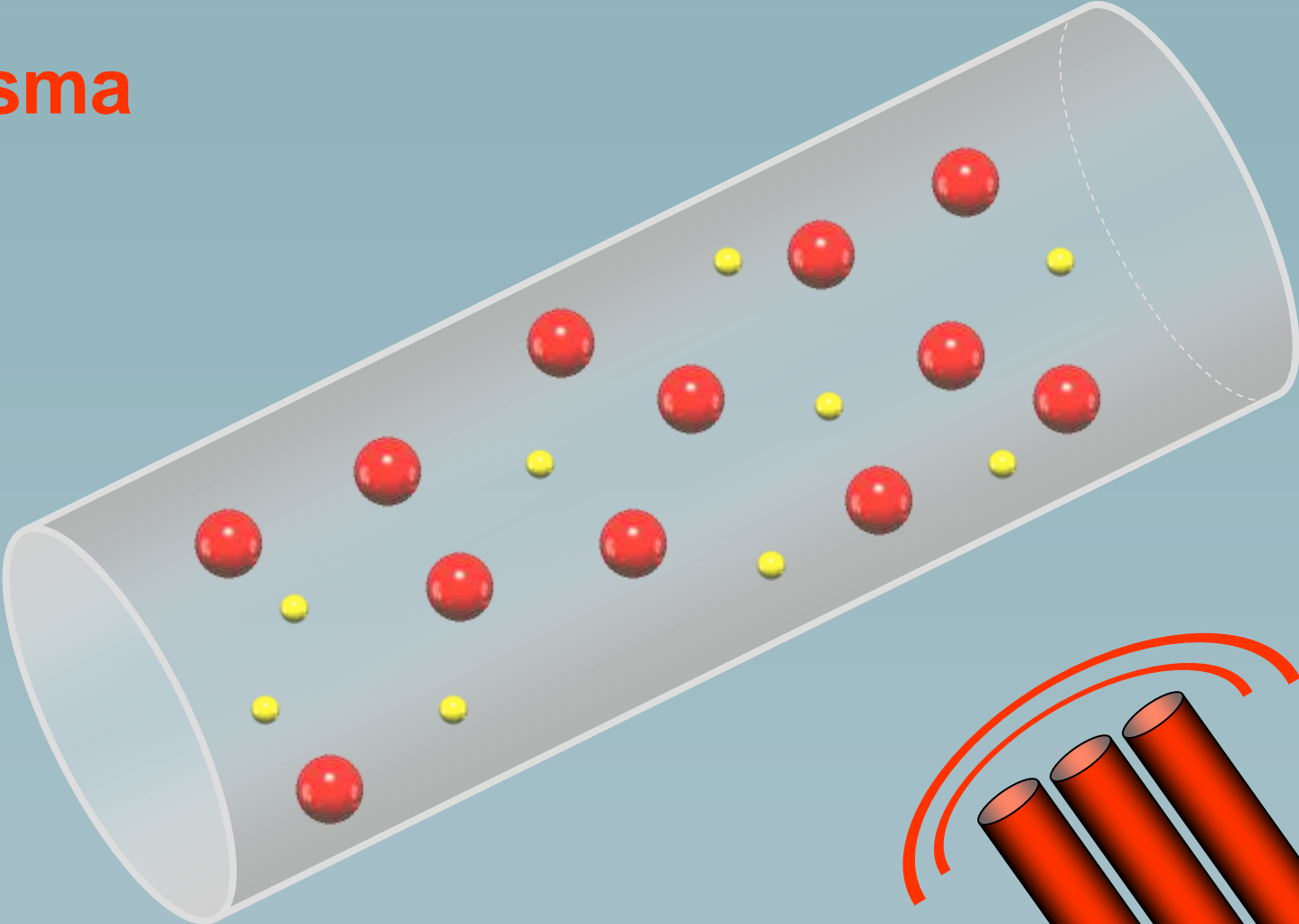
10× heter dan de zon

Deuterium
en
Tritium



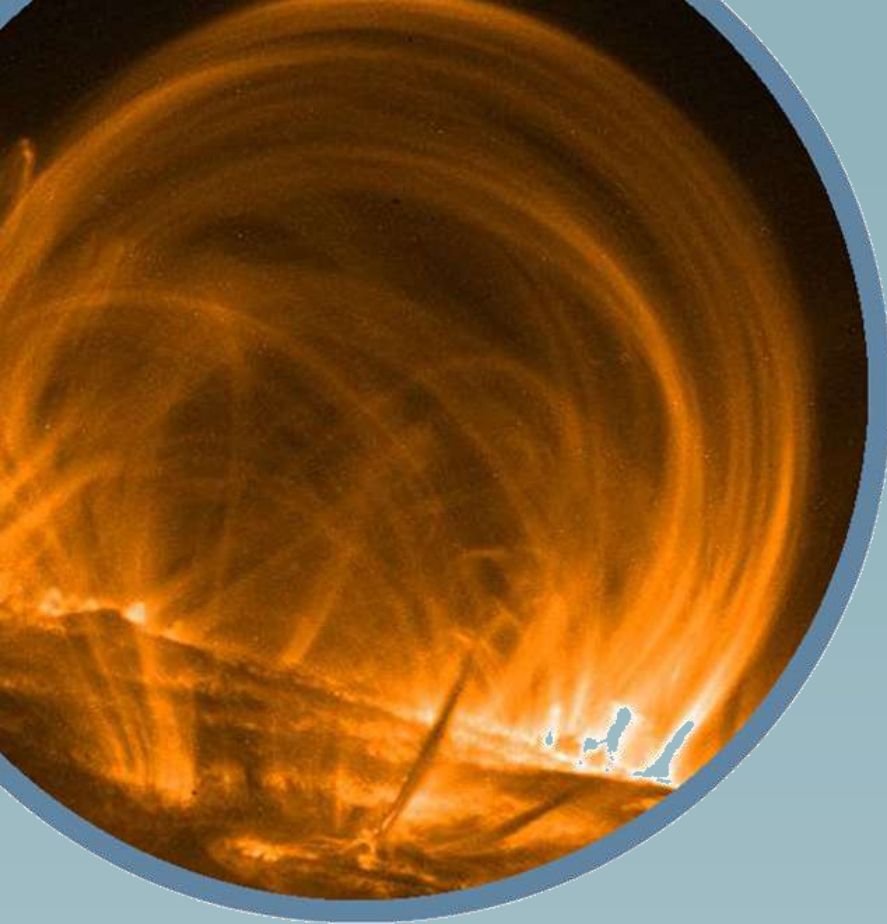
Verhitting

Plasma

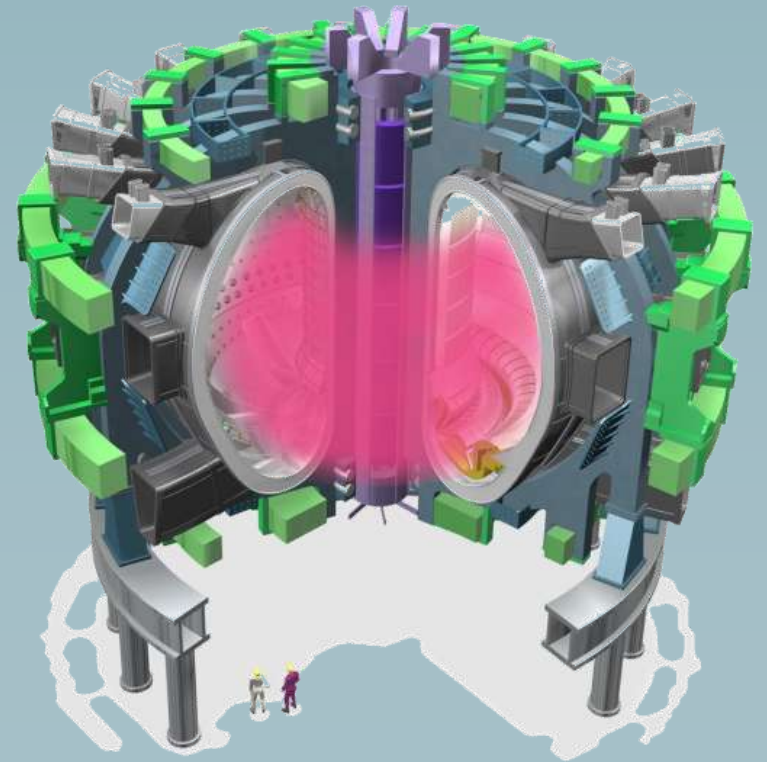


Verhitting aan





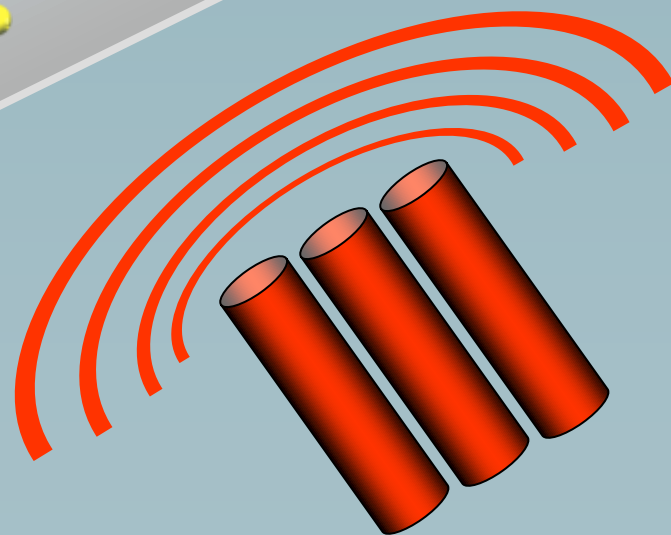
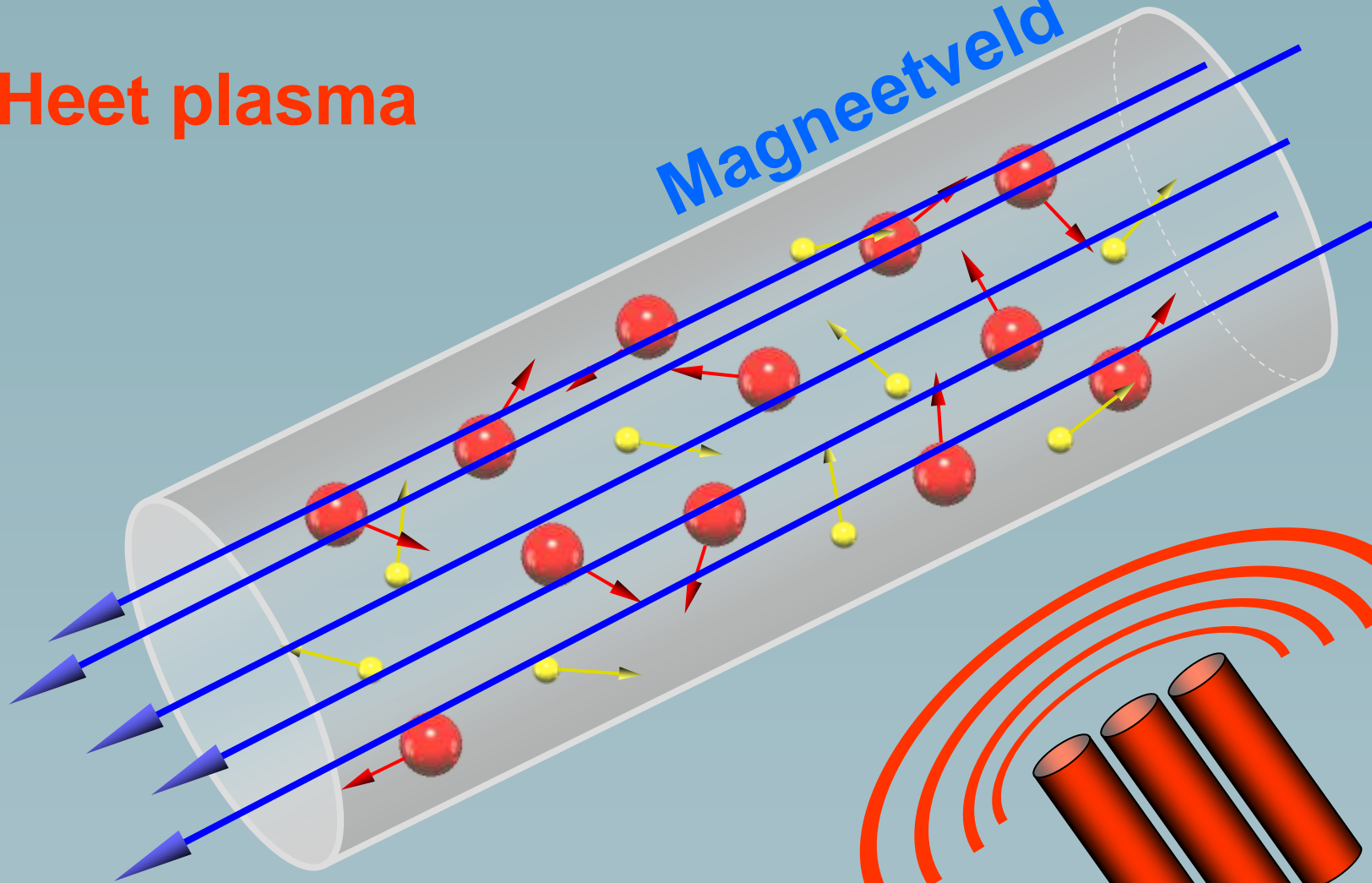
2



Zonnevlammen
beheersen

Heet plasma

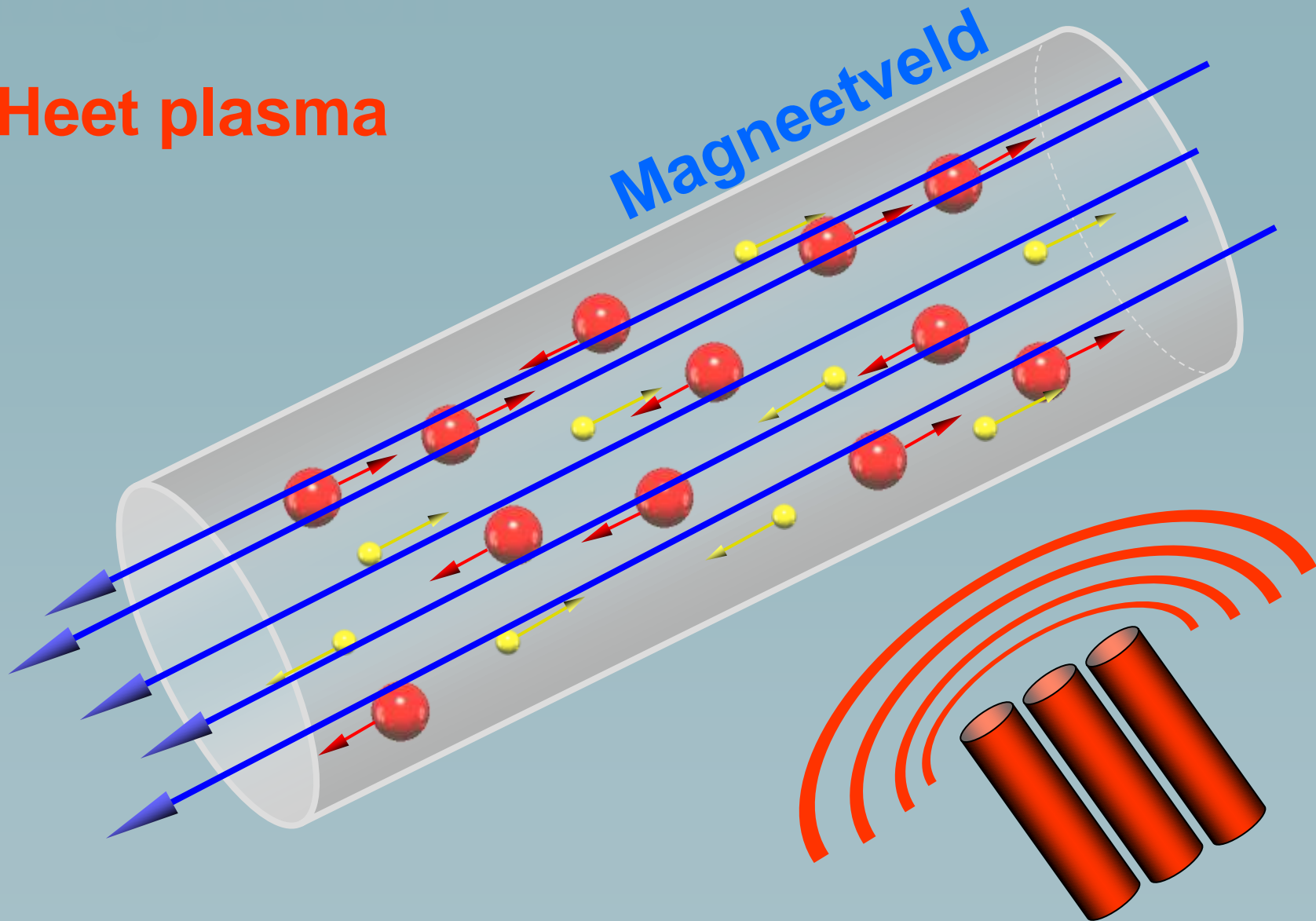
Magneetveld



Verhitting hoog

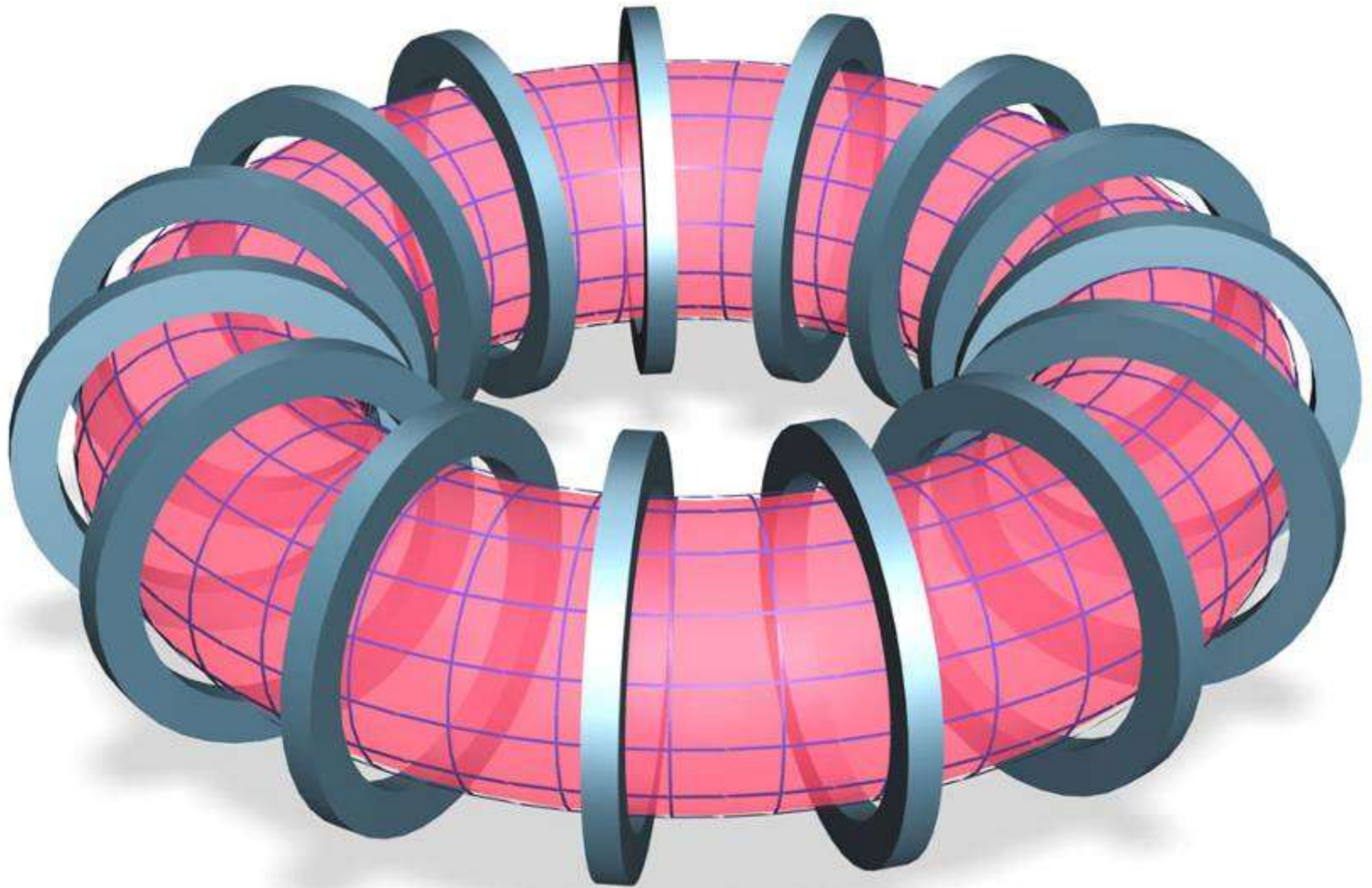
Heet plasma

Magneetveld

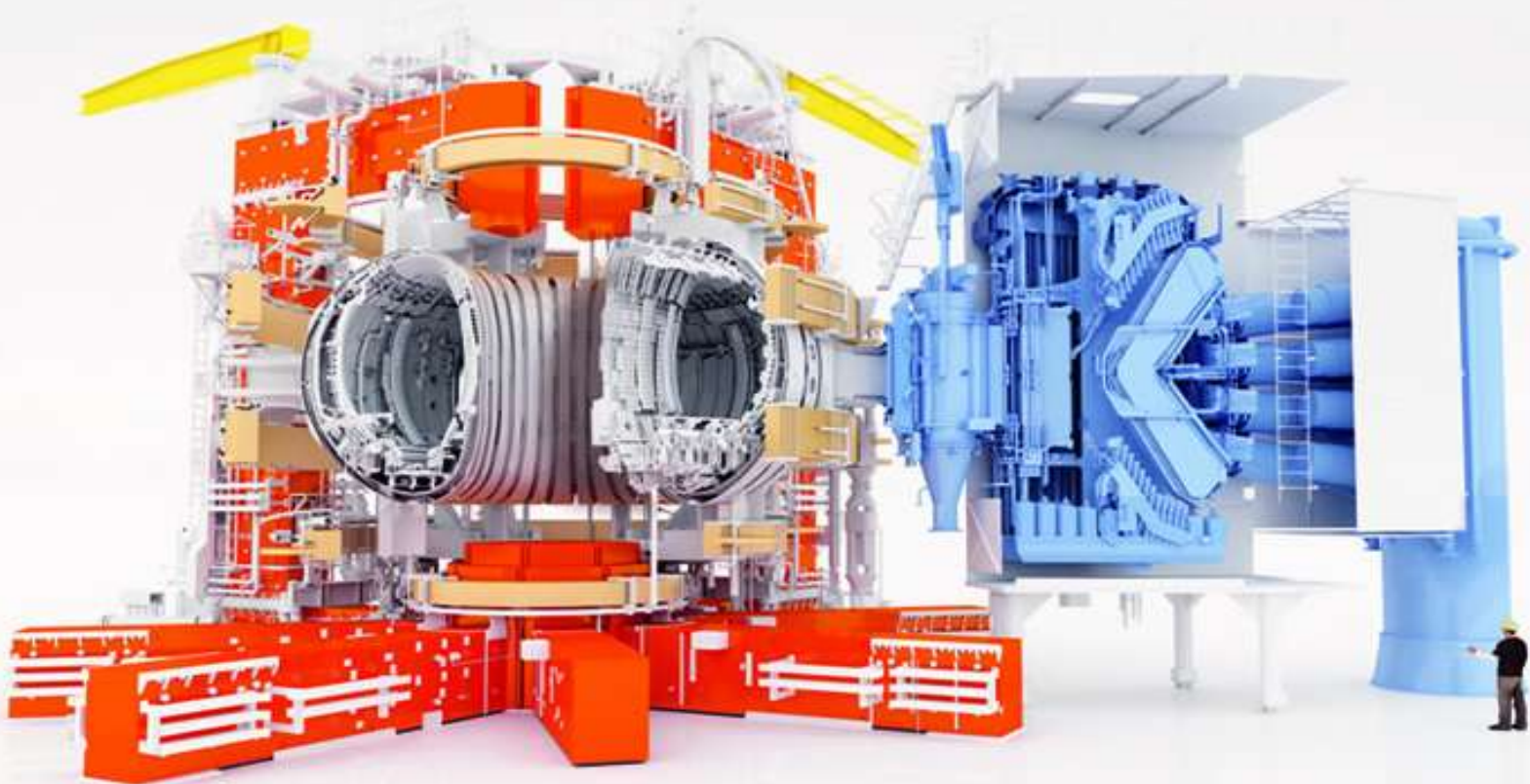


Verhitting hoog

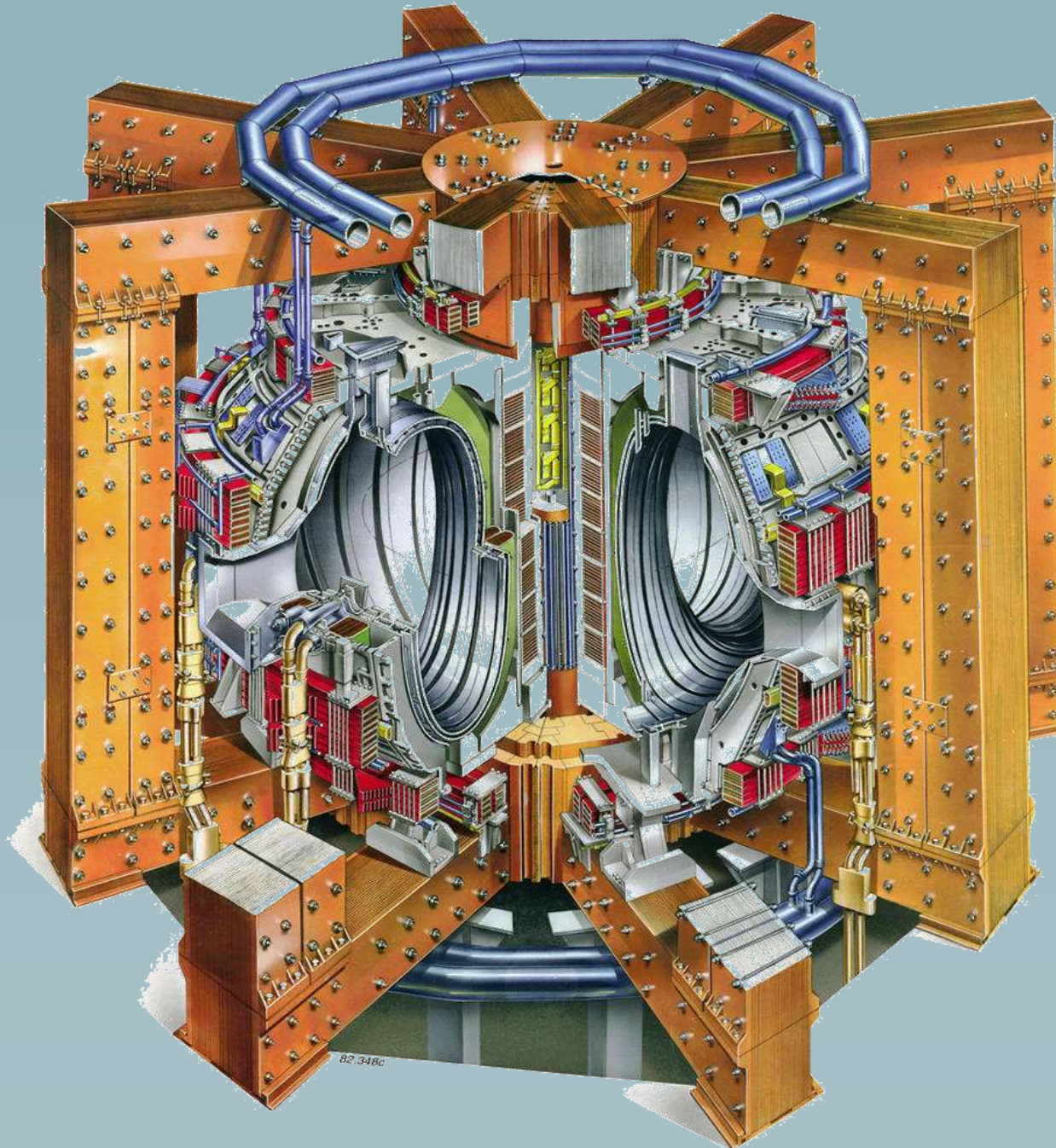
De Torus



Plasma verhitting

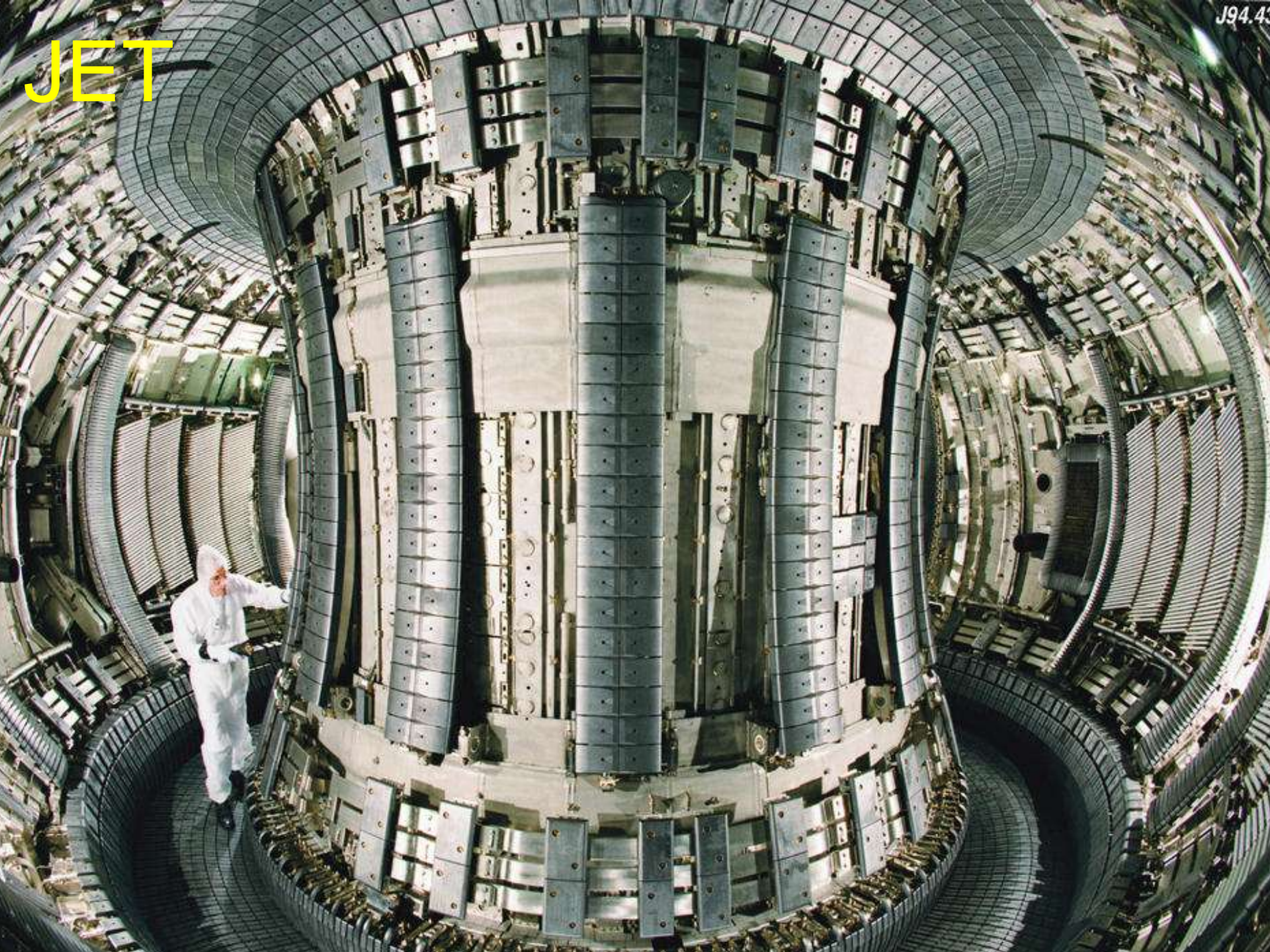


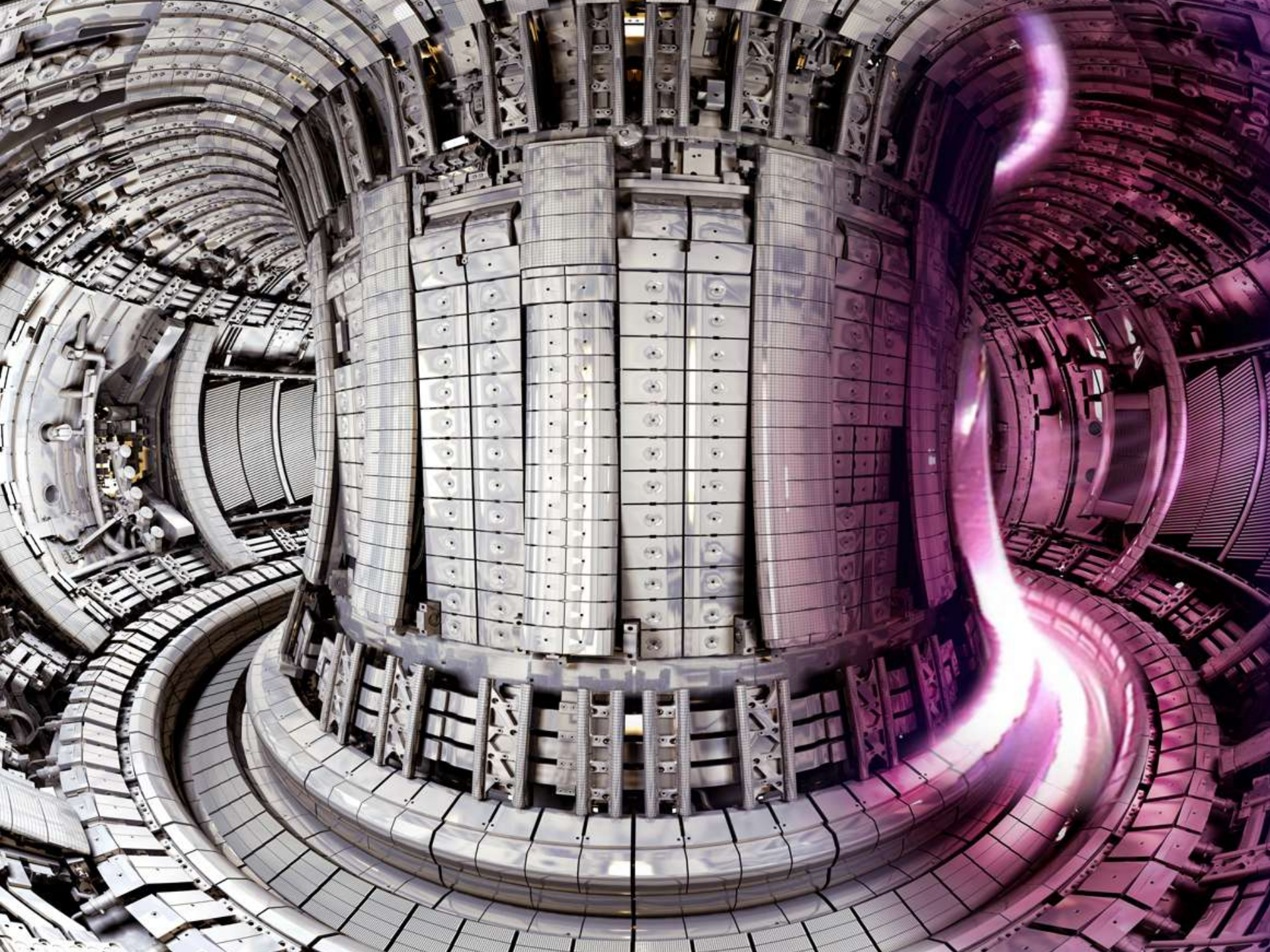
JET



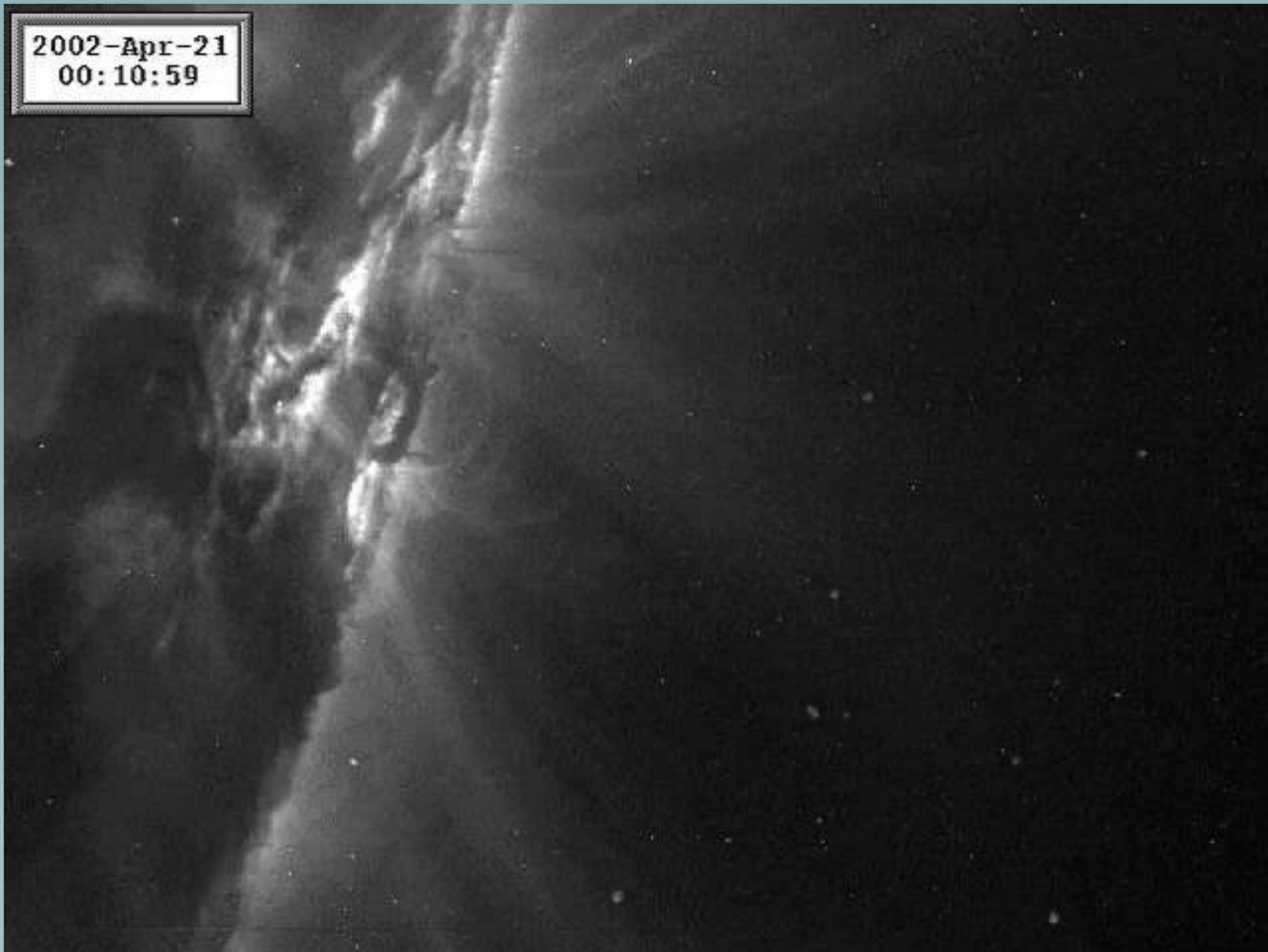
JET

J94.43

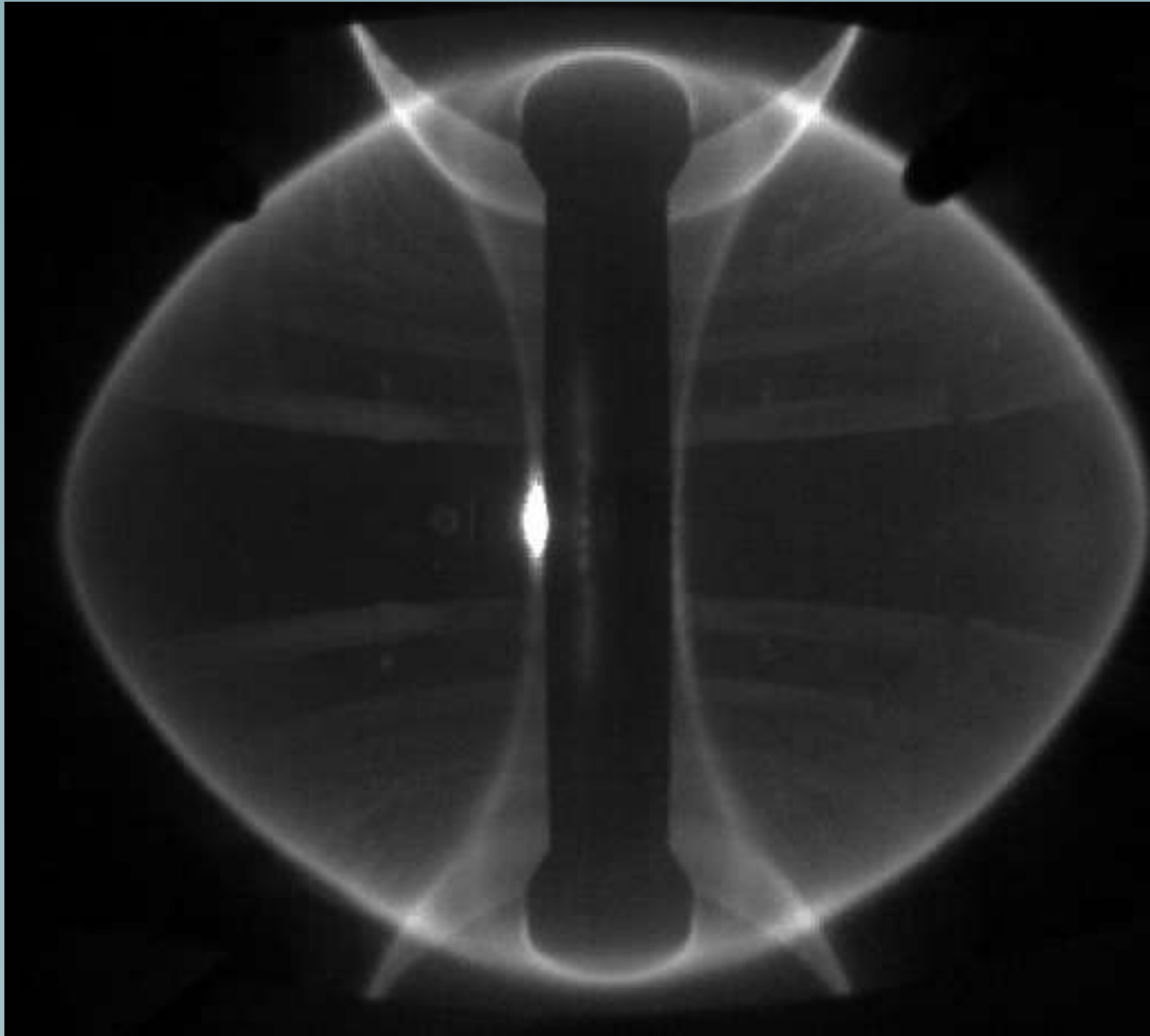




2002-Apr-21
00:10:59



MAST (Culham, UK)



1960

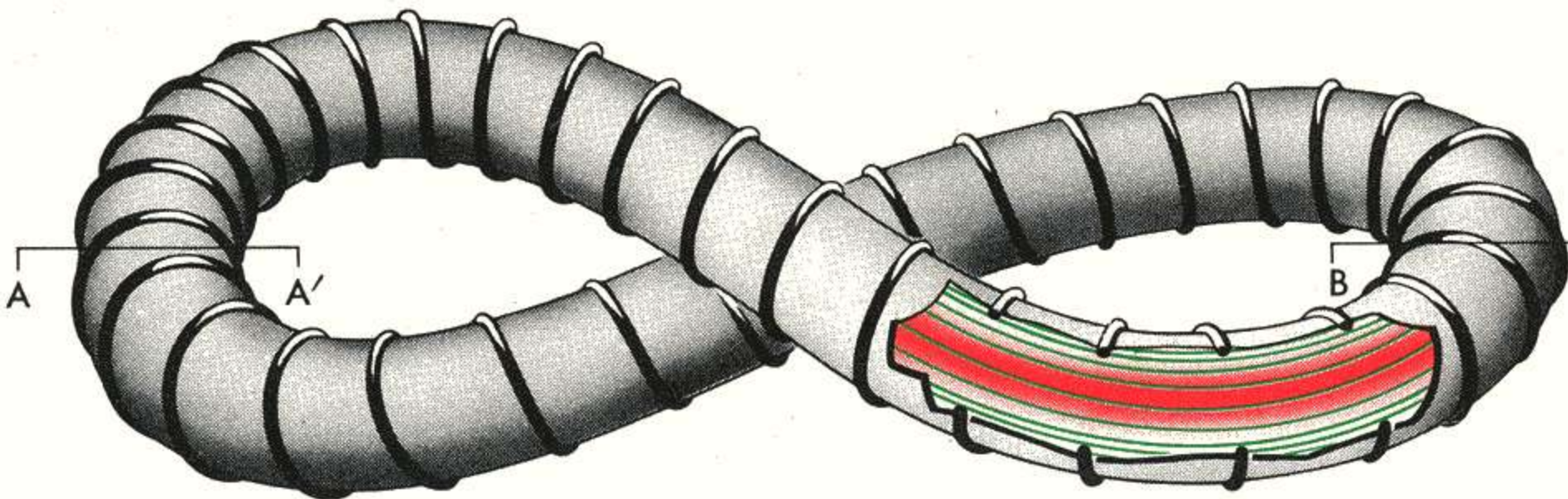
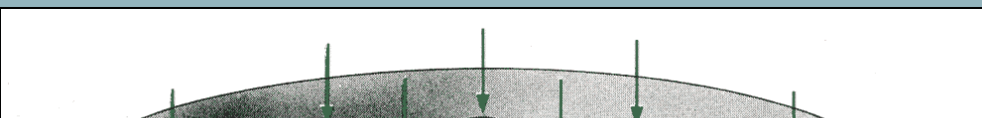
1970

1980

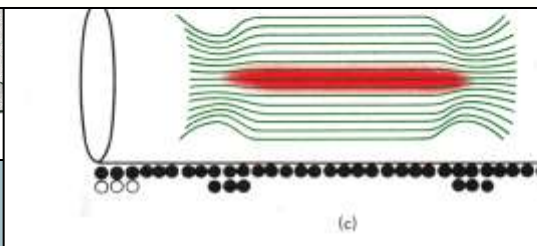
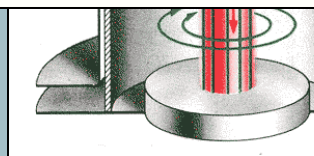
1990

2000

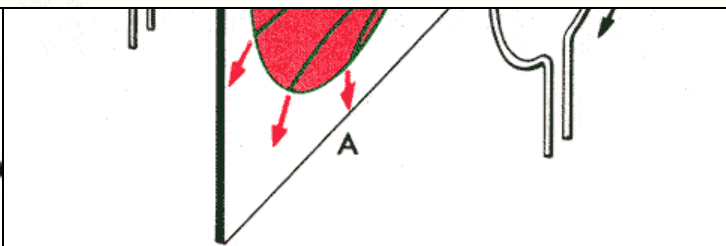
Onderzoek aan magnetische opsluitingsconcepten



(a)



(c)



1960

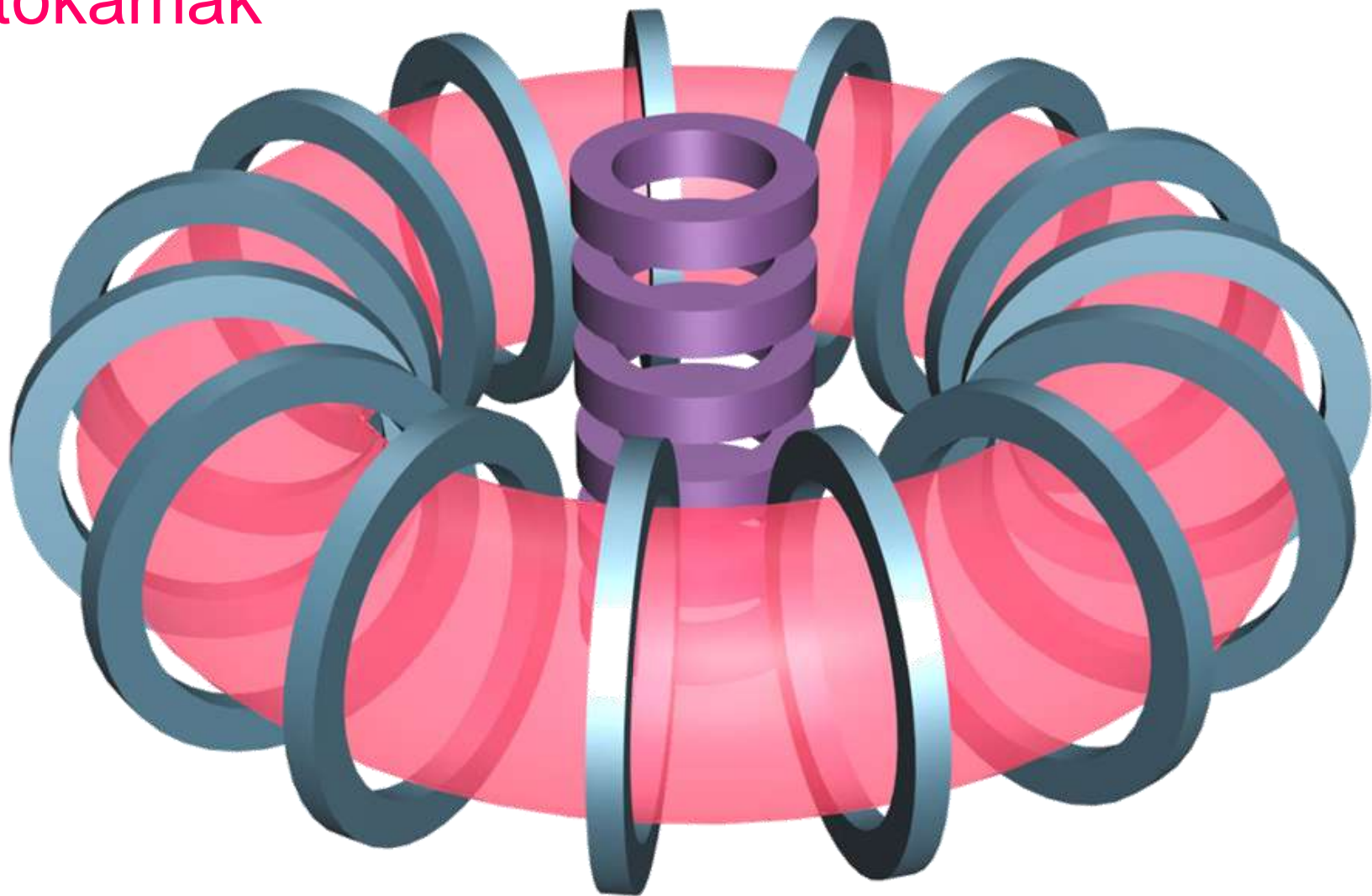
1970

1980

1990

2000

The winner:
the tokamak



Conceptverbetering gaat door

1960

1970

1980

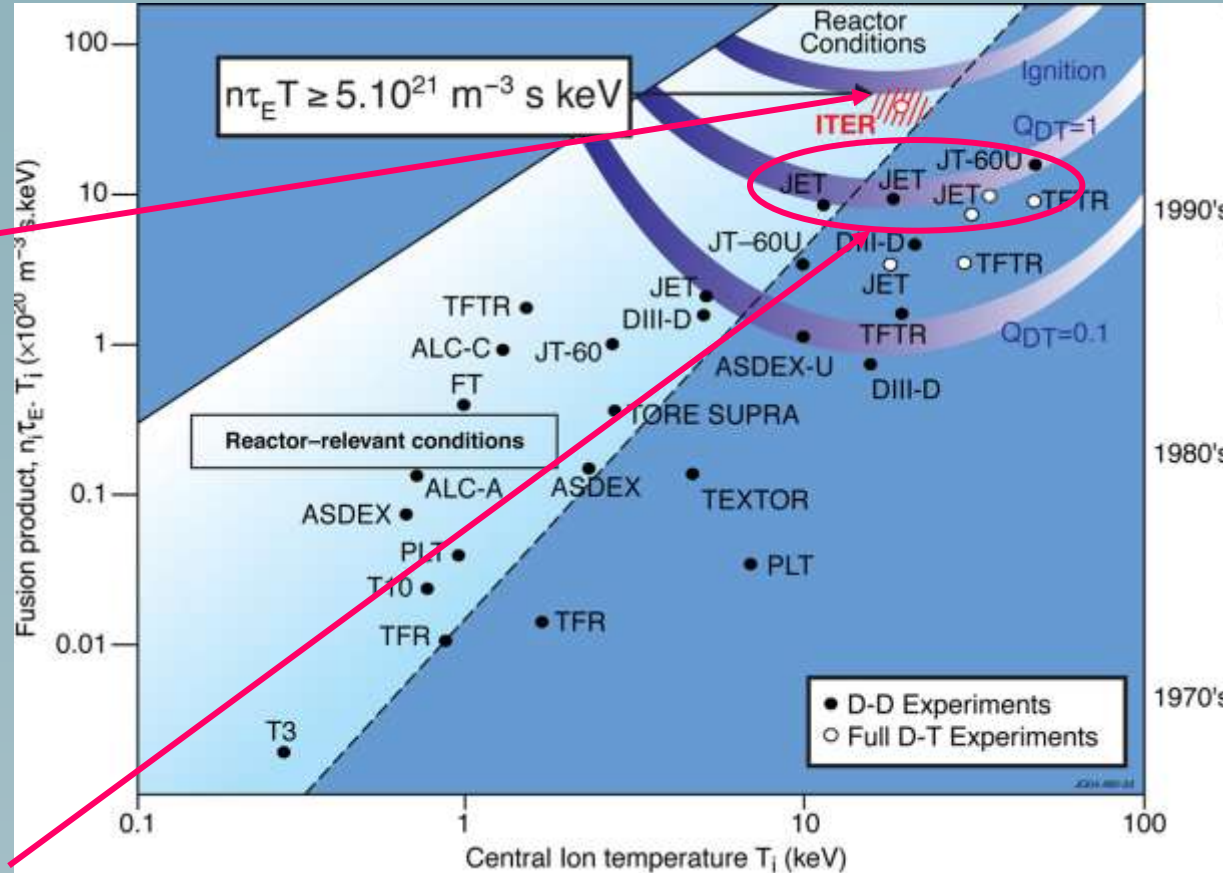
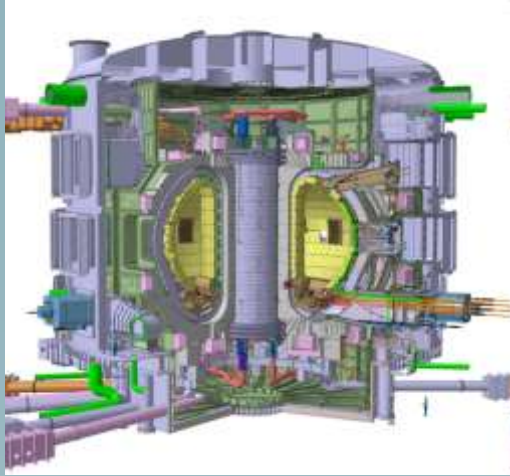
1990

2000

Spherical Tokamak
(MAST, UK)



Progress in fusion

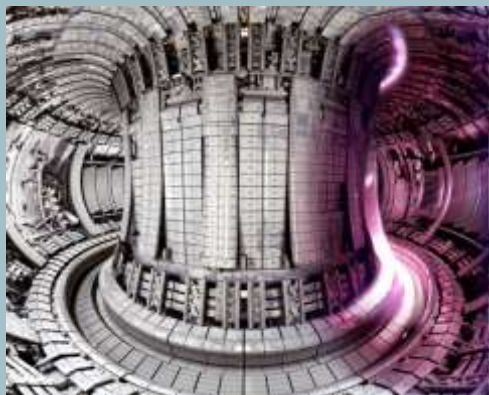


ITER

Nett energy gain:

$$P_{\text{fusion}} = 10 \times P_{\text{in}}$$

Demonstration of technical principles – new regime

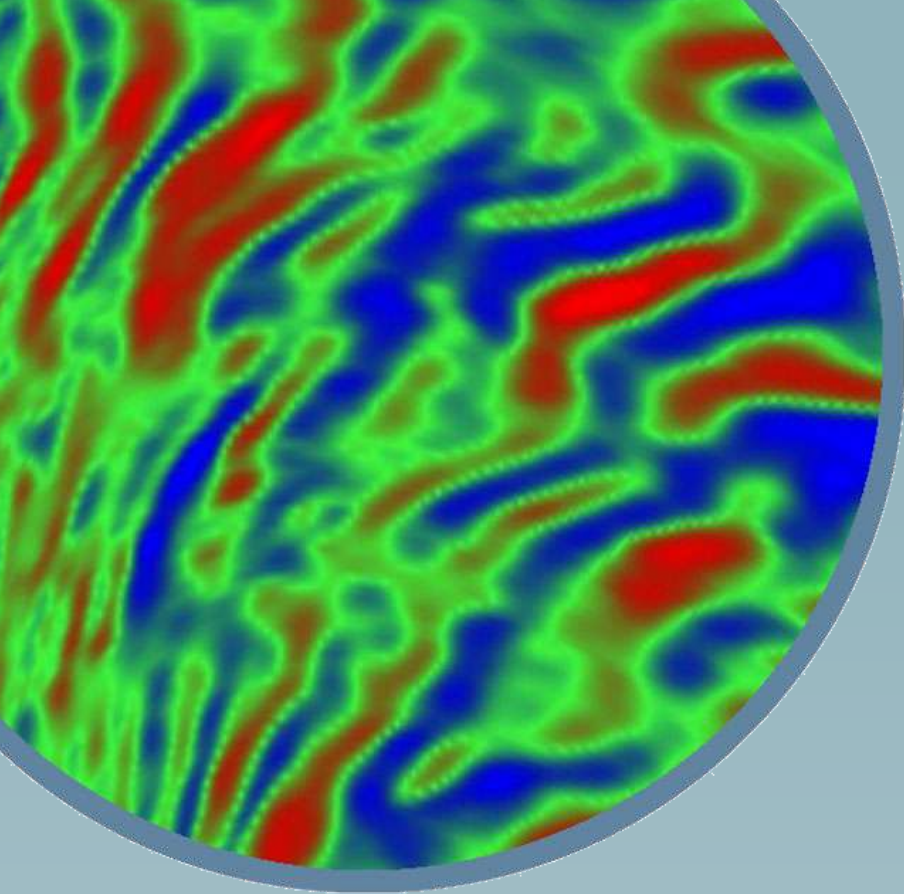


JET (and other machines)

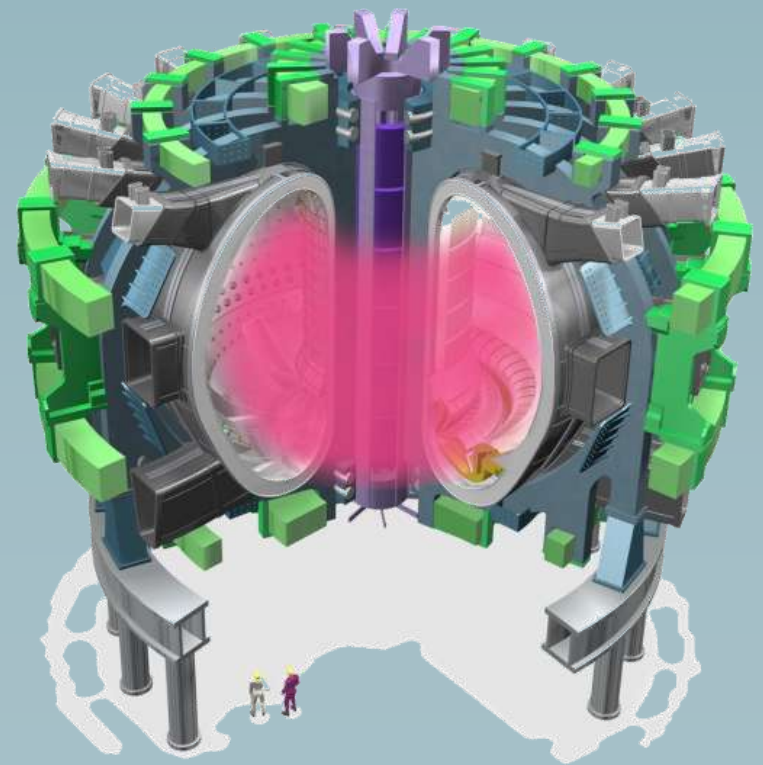
Break-even:

$$P_{\text{fusion}} = P_{\text{in}}$$

Emphasis on physics understanding



3



Thermische isolatie
nagenoeg perfect

1960

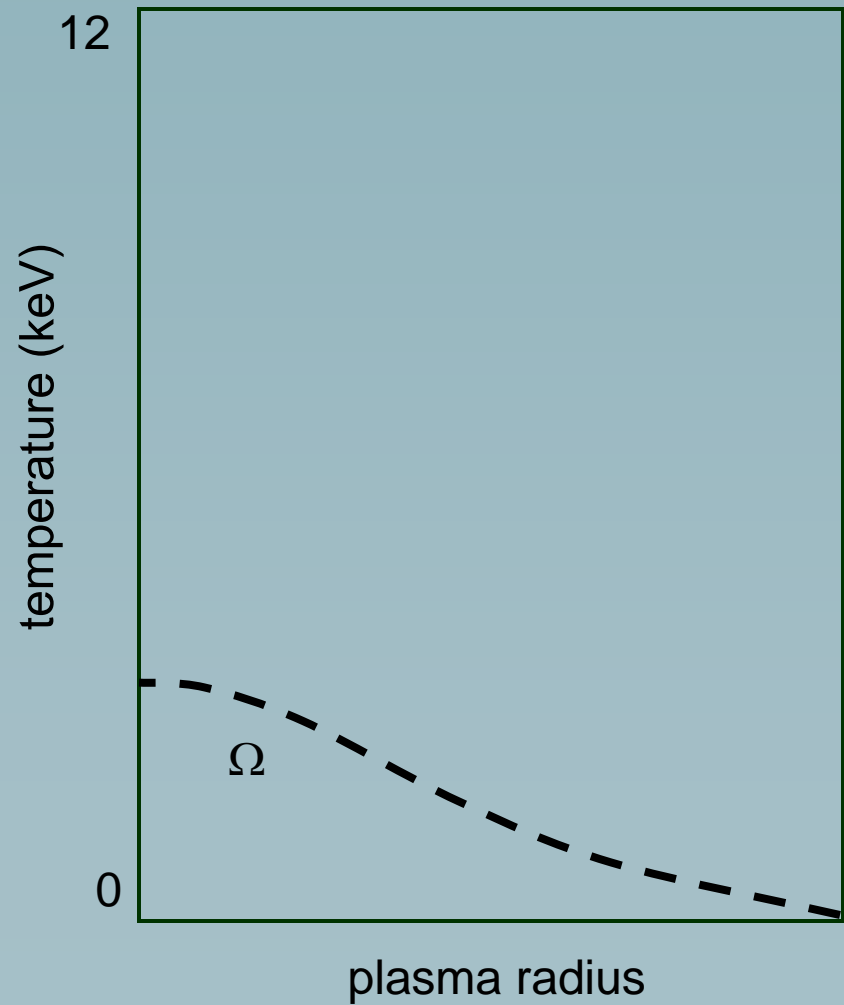
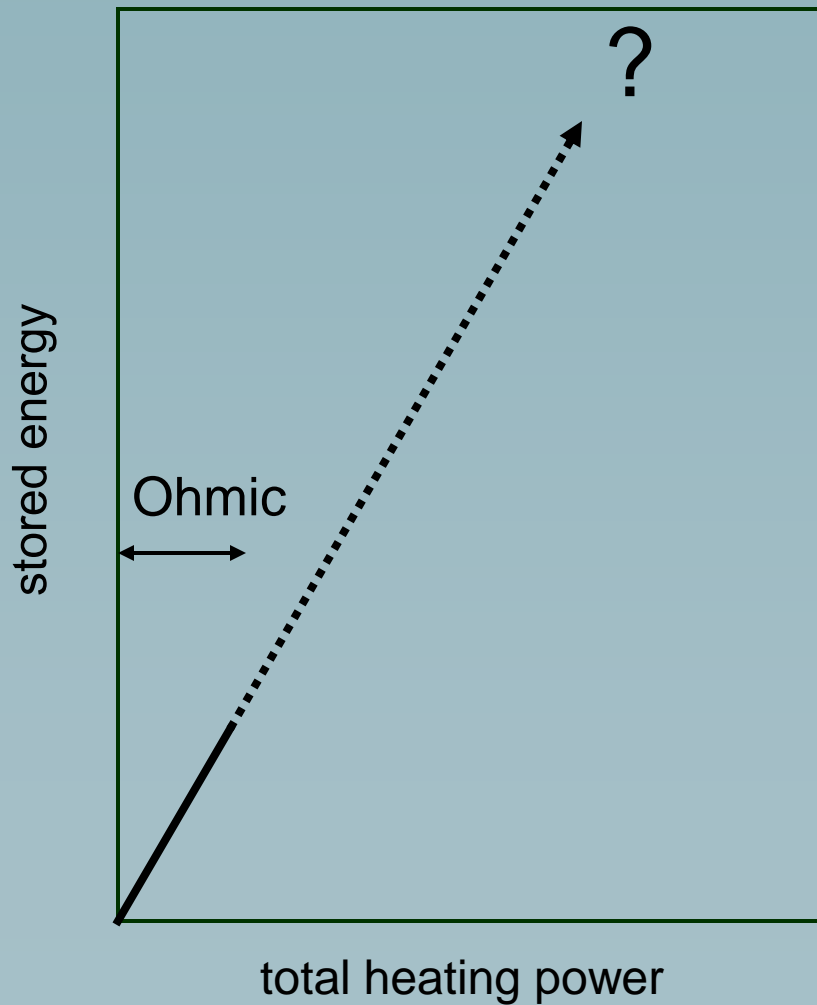
1970

1980

1990

2000

Ohmse verwarming: vermogen gekoppeld aan het opsluitende veld



1960

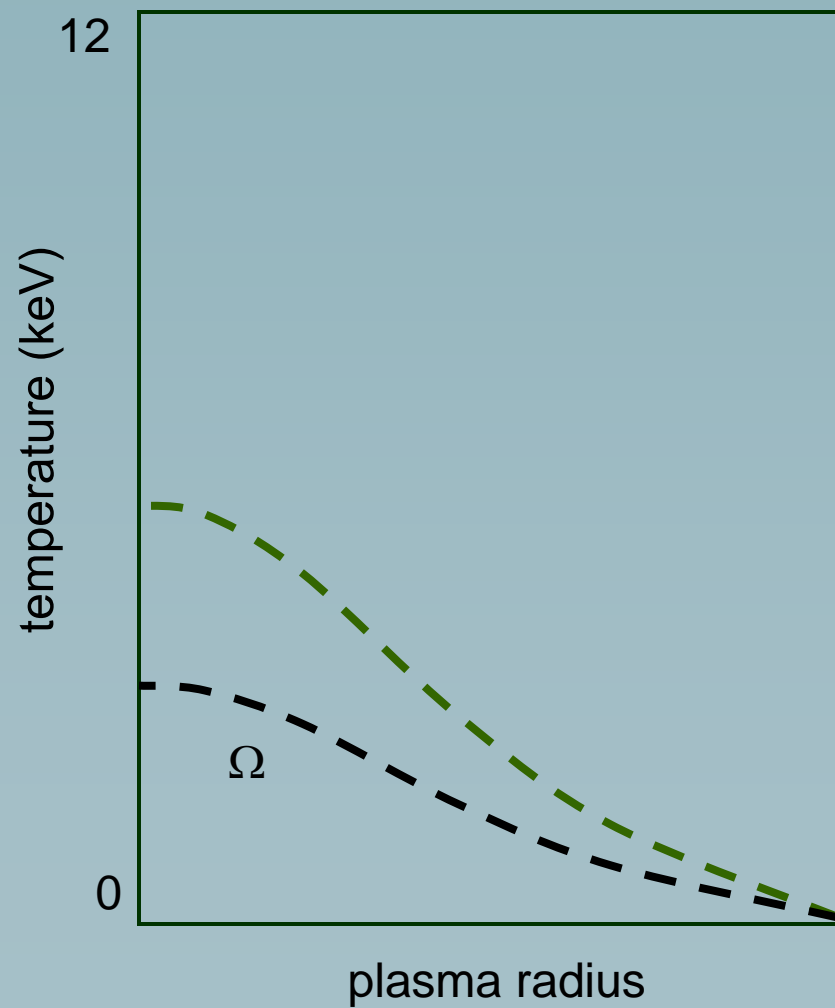
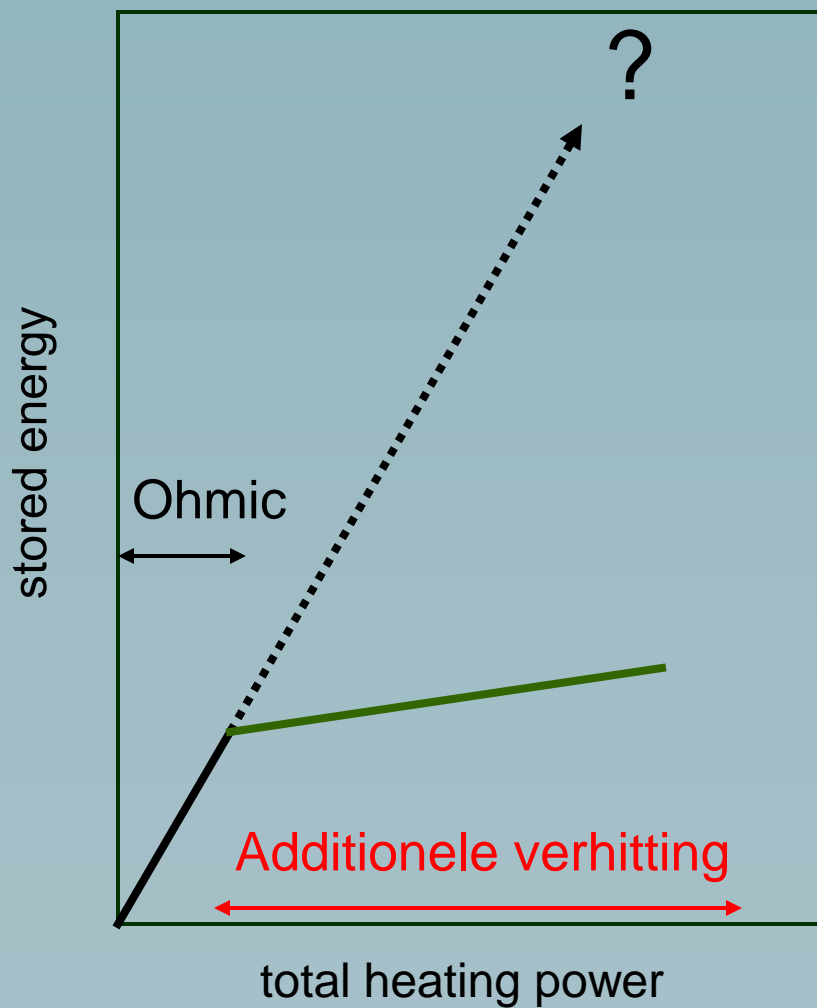
1970

1980

1990

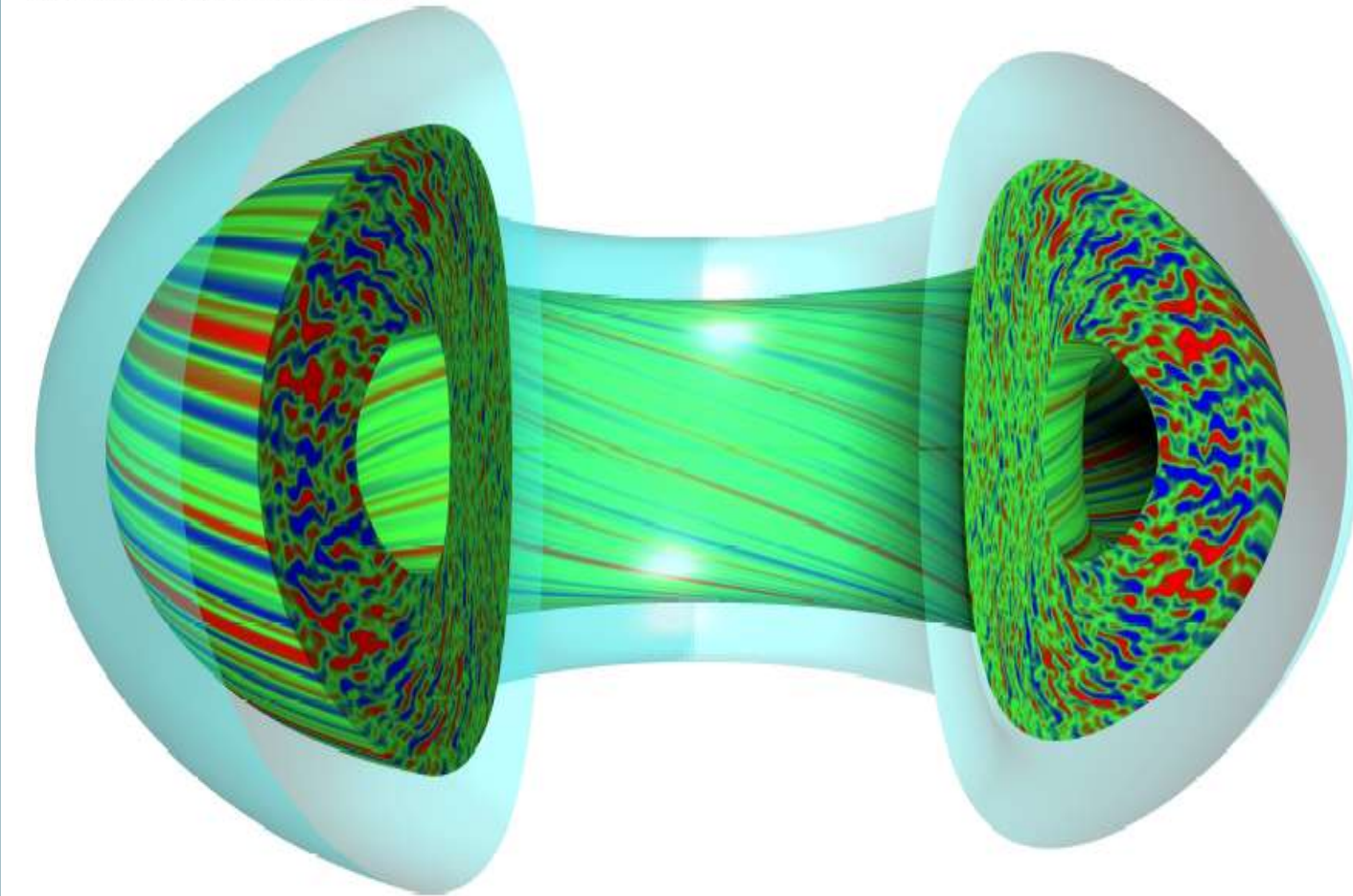
2000

Additionele verhitting: ontkoppel verhitting & opsluitend B-veld



Gyro code; Jeff Candy (GA)

<http://fusion.gat.com/comp/parallel/figures/supertorus-li-2.jpg>



Hete plasma's hebben een rijke structuur

**Gyrokinetic Simulations
of Plasma Microinstabilities**

simulation by

Zhihong Lin et al.

Science 281, 1835 (1998)

Transport
door
plasma
fluctuaties

Lagere
performance

1960

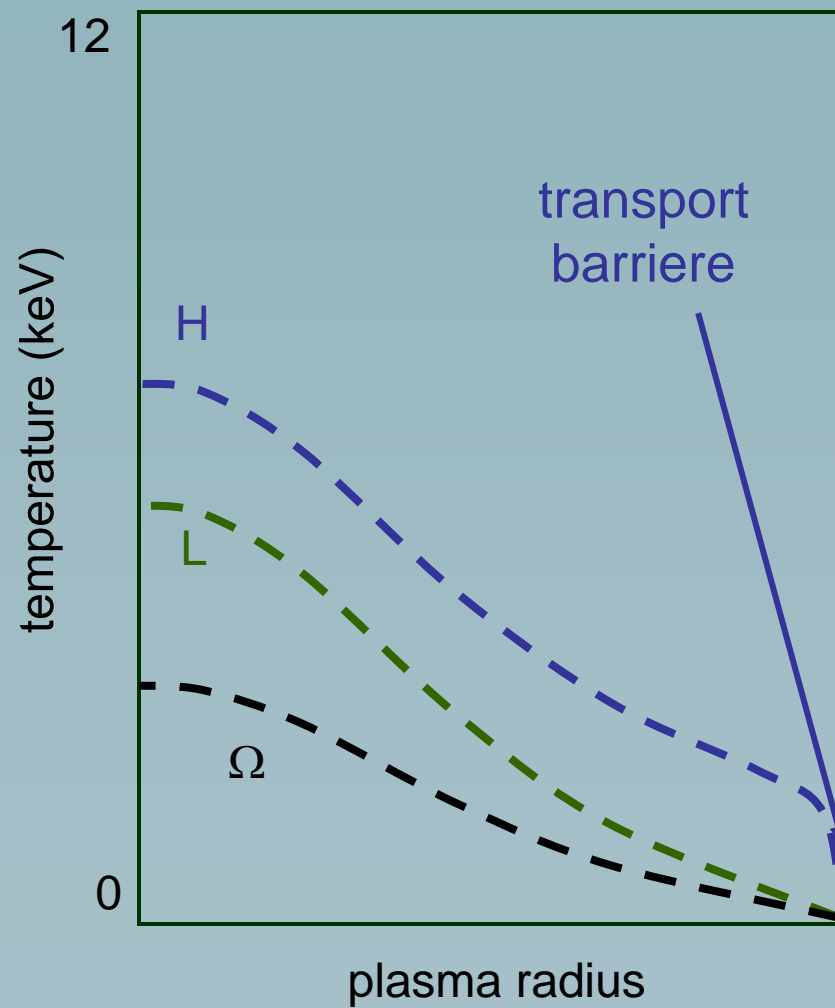
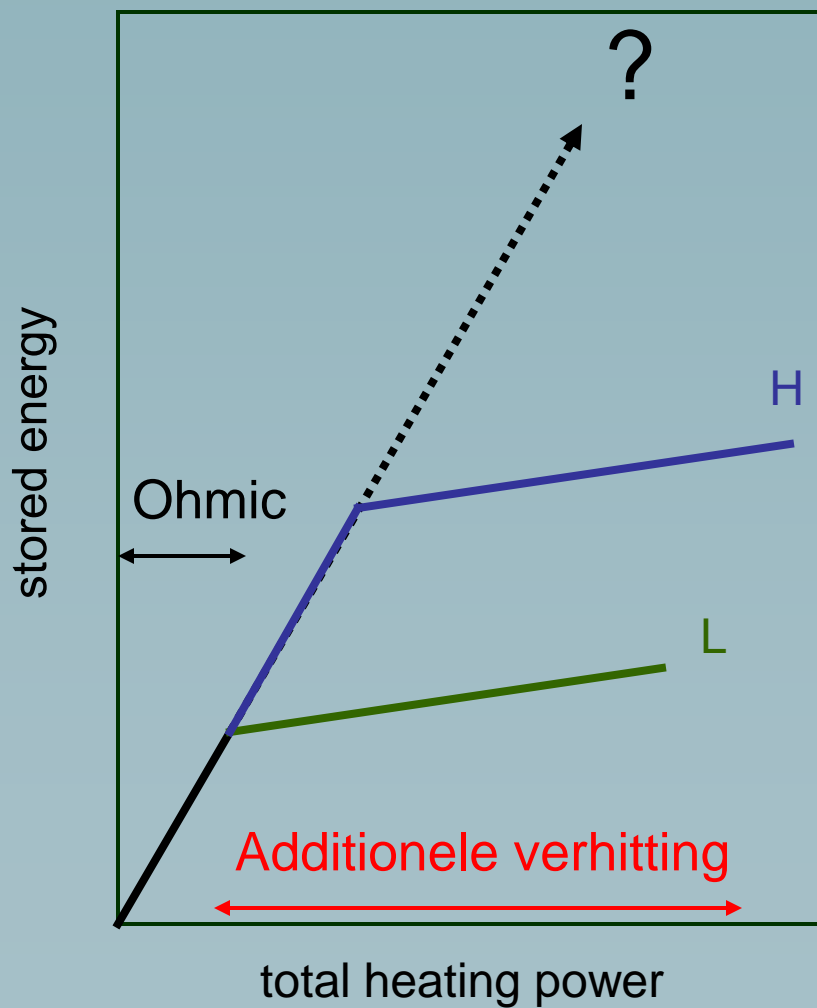
1970

1980

1990

2000

1982 ASDEX: ontdekking van high confinement mode.



1960

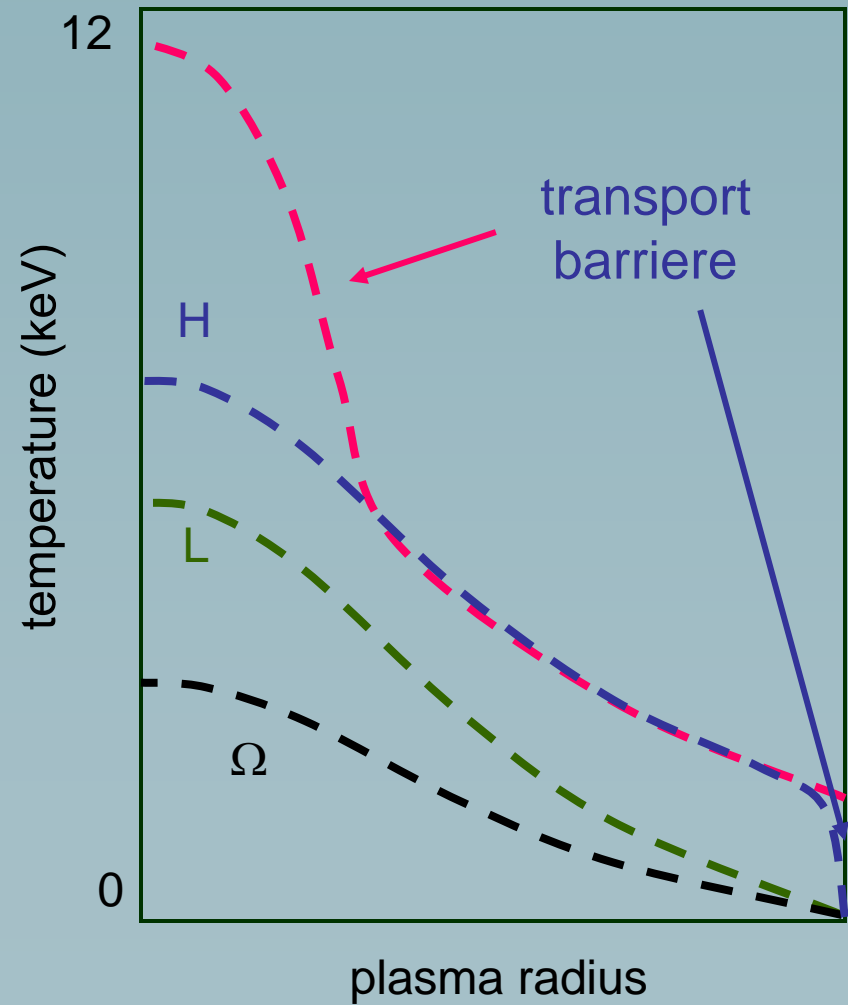
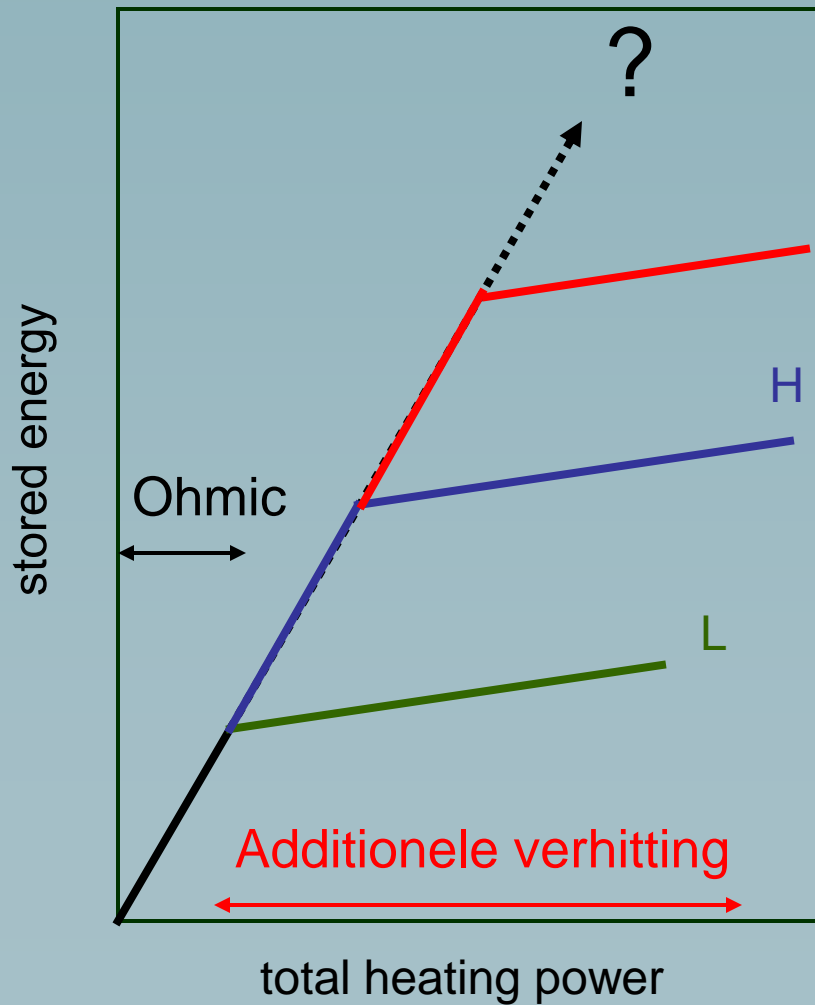
1970

1980

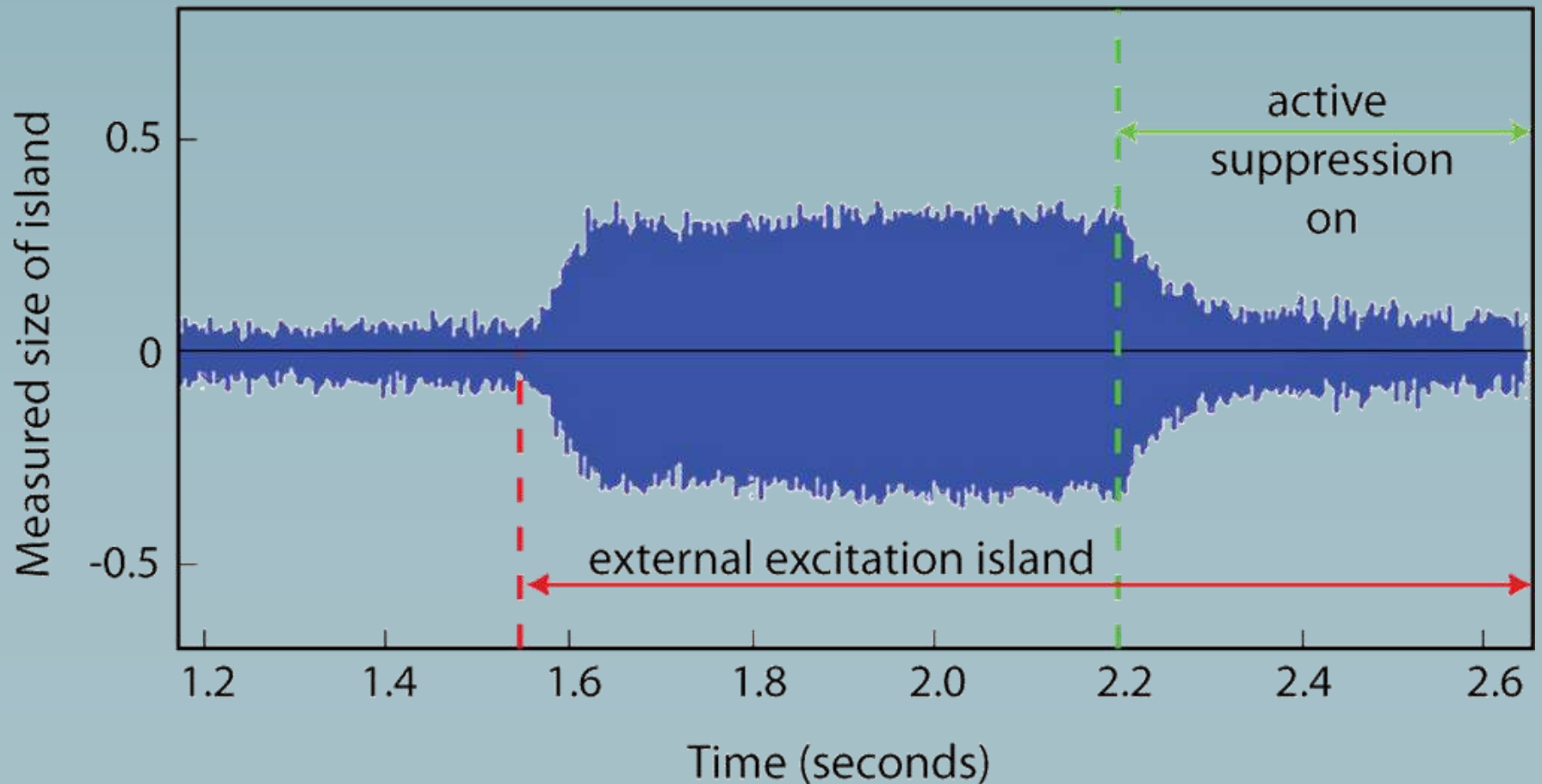
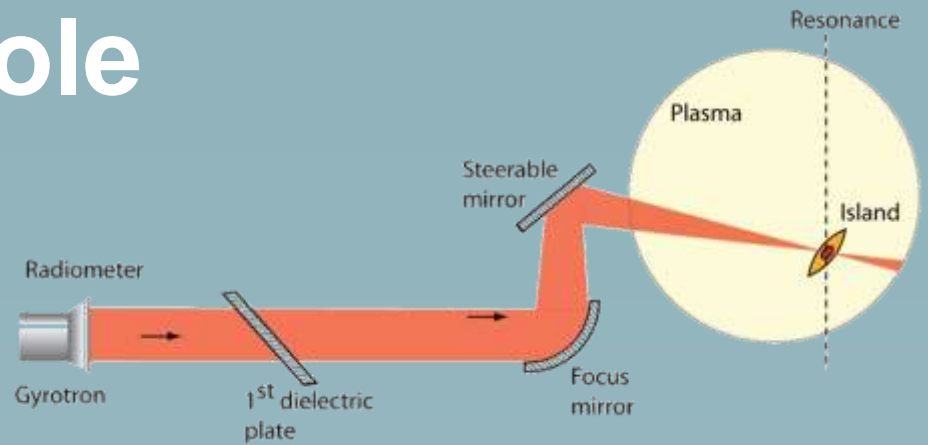
1990

2000

Ontdekking van interne transport barrieres

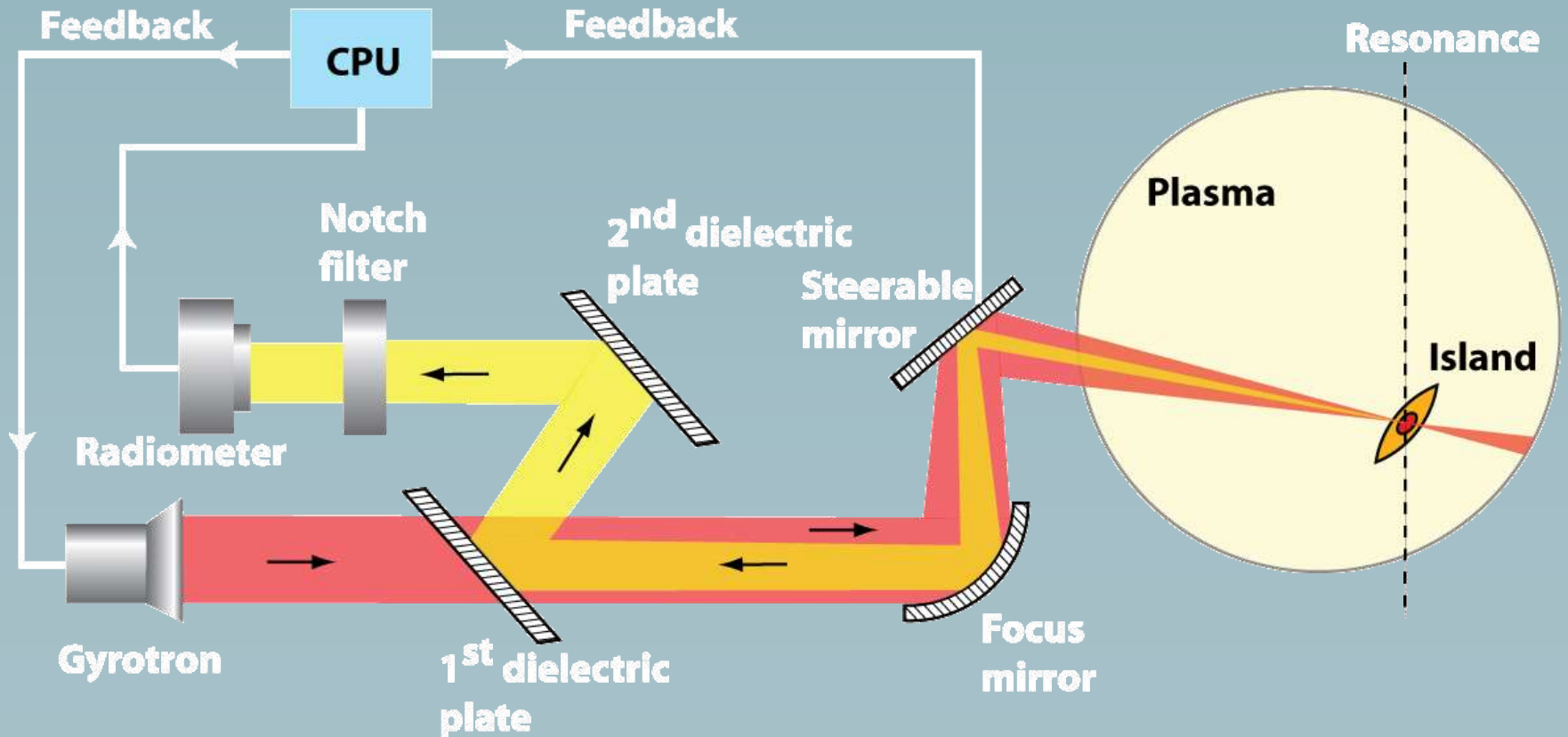


Turbulentie controle

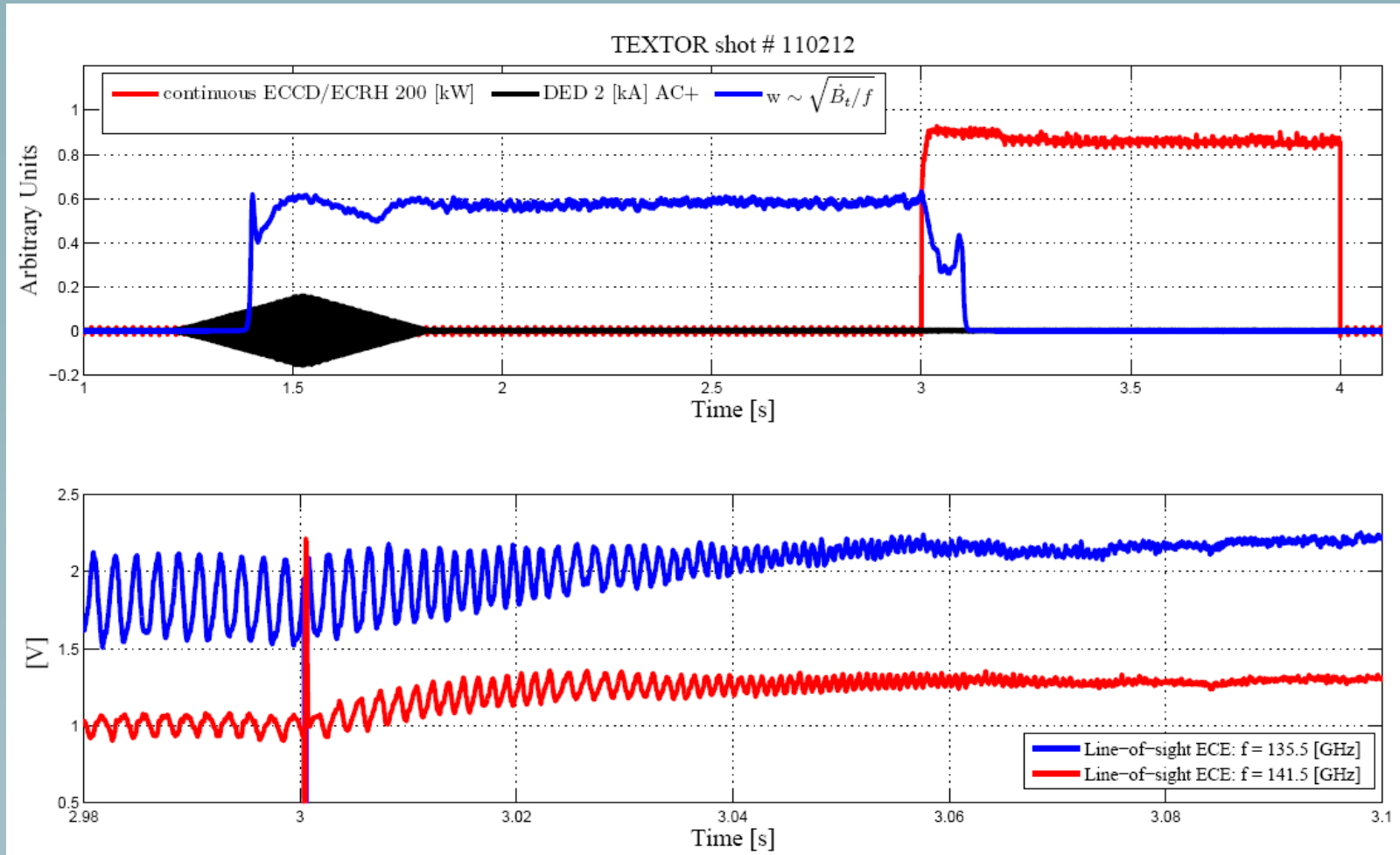


Turbulentie controle

Bart Hennen



Turbulentie controle

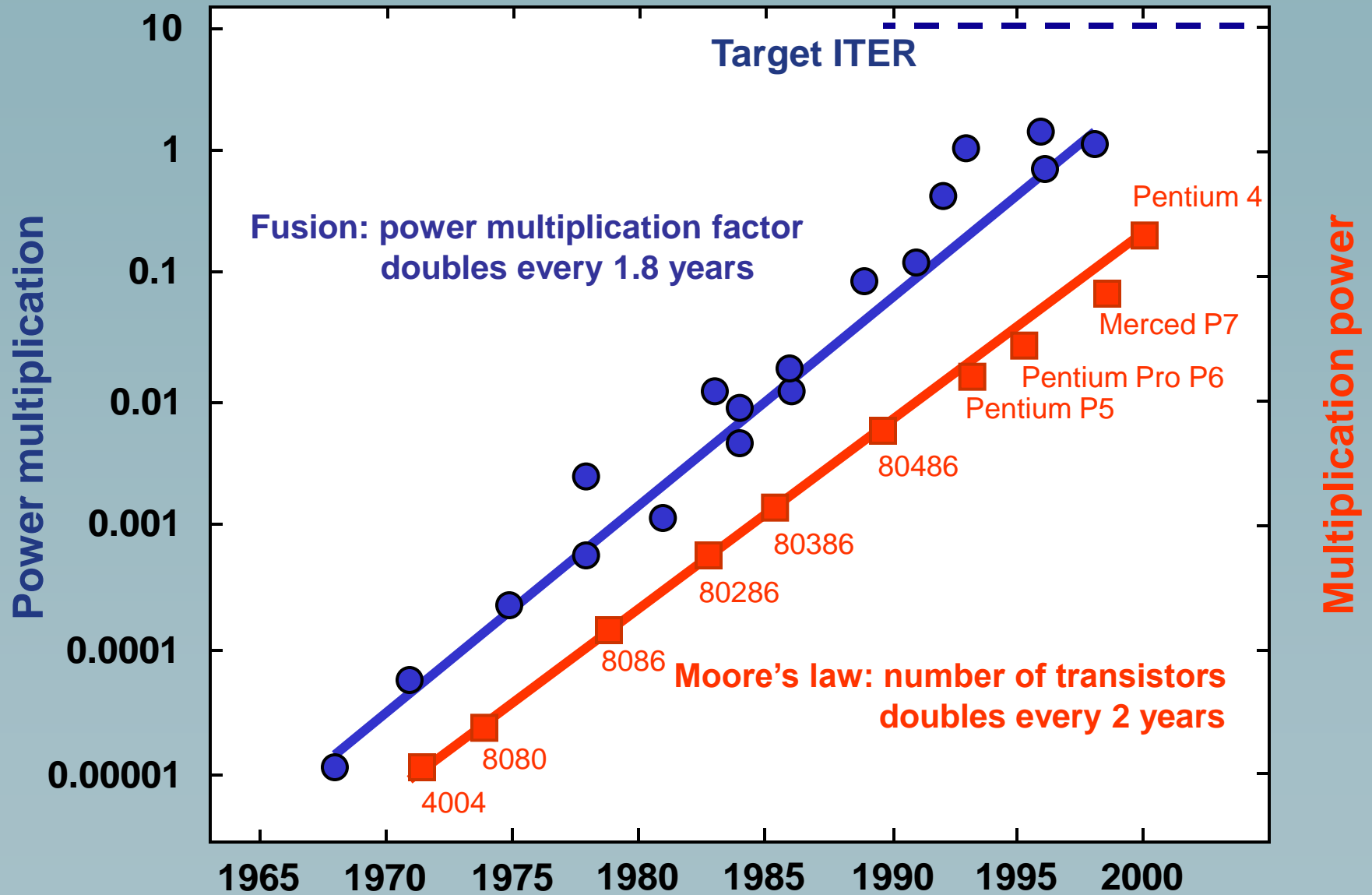


Excitatie en onderdrukking van een
instabiliteit

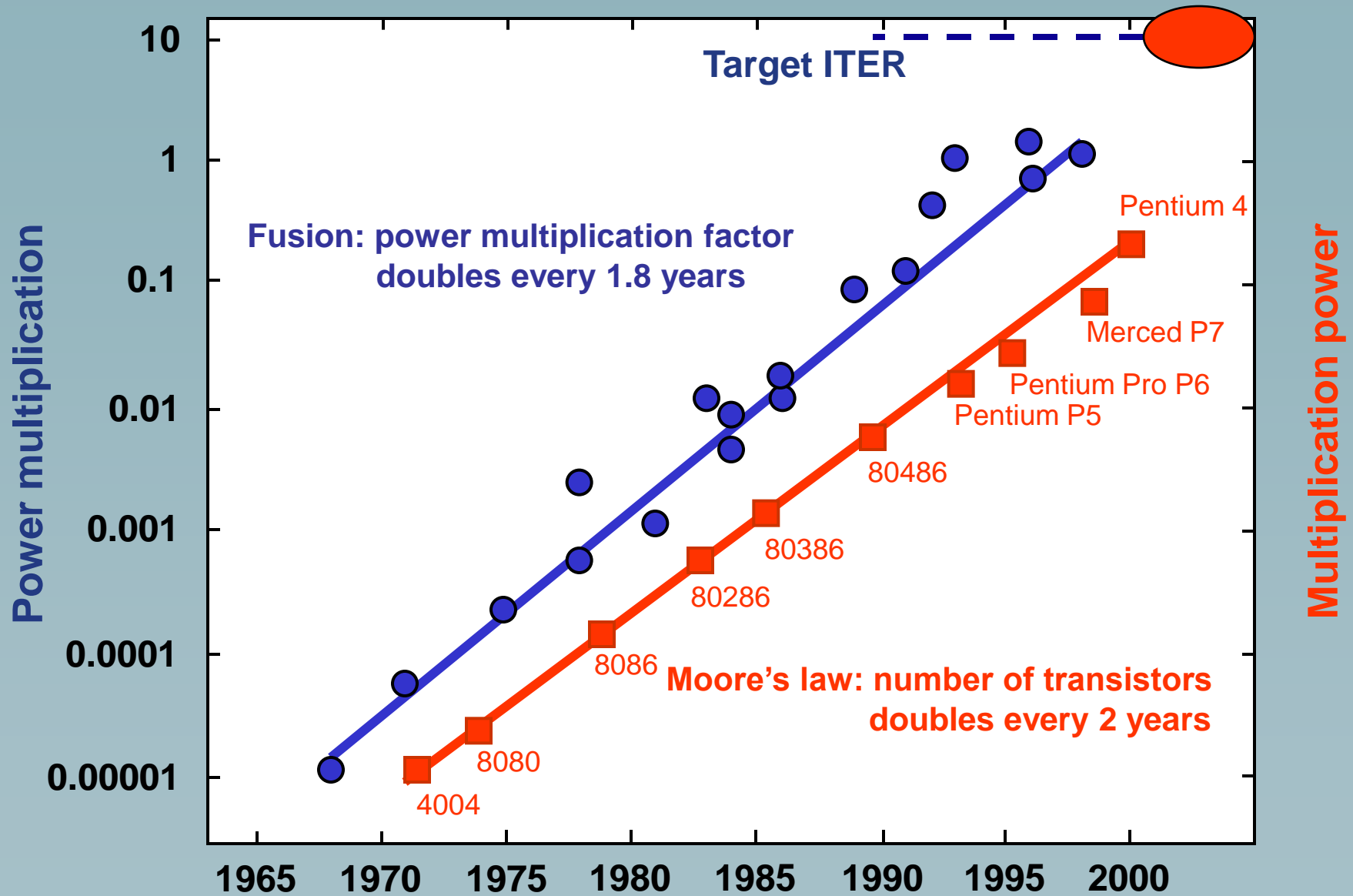
De 7 uitdagingen

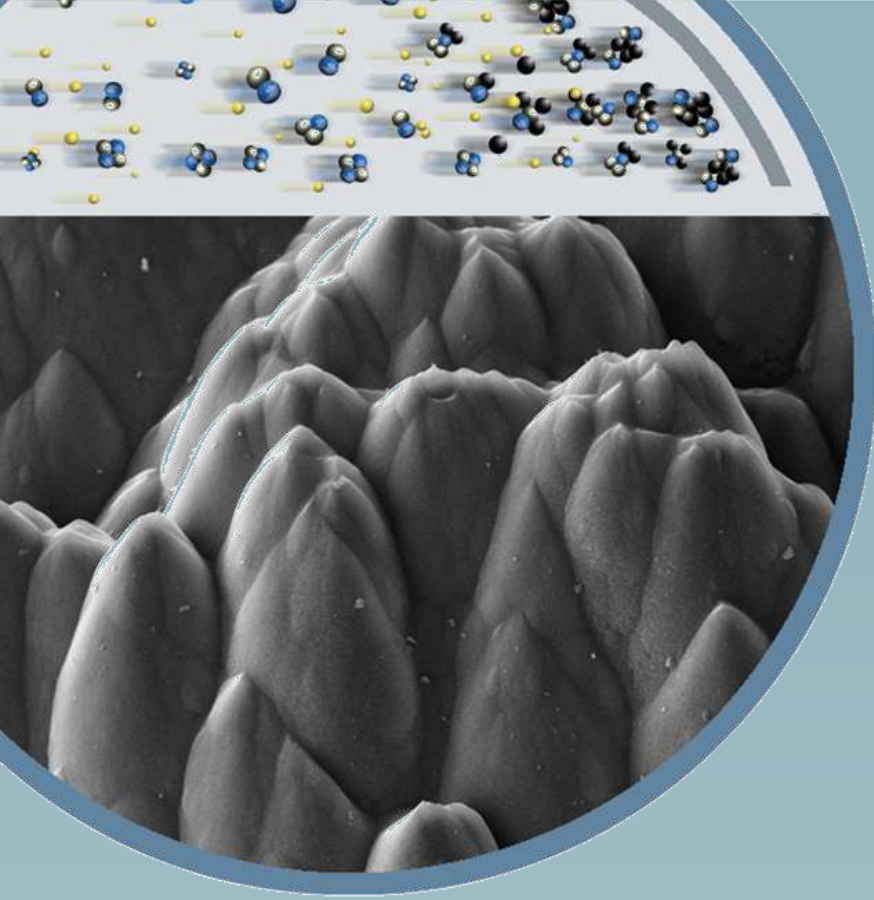


Hoge T, stabiele opsluiting, goede thermische isolatie

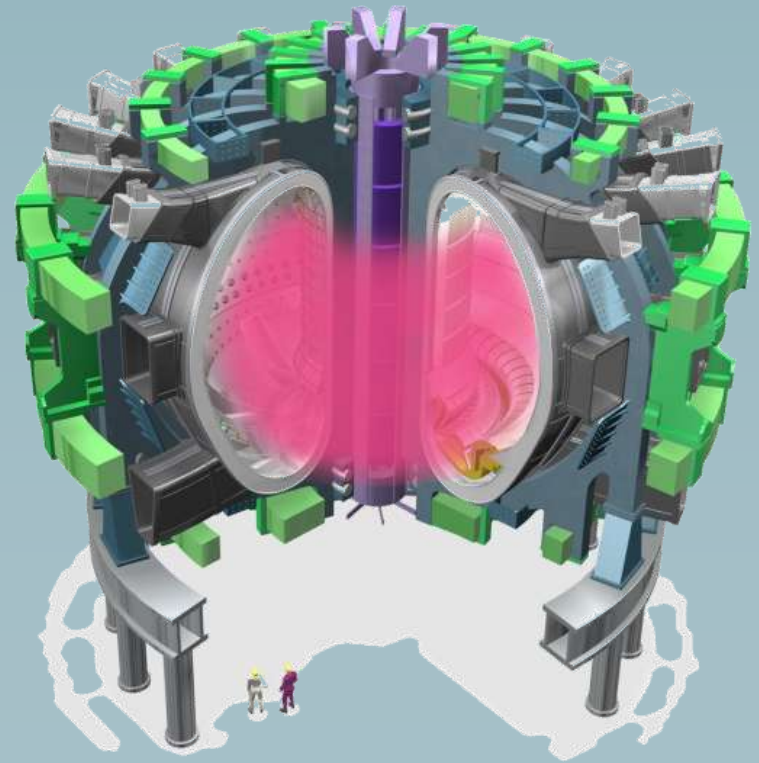


Hoge T, stabiele opsluiting, goede thermische isolatie





4



Materialen die je op de
zon kunt leggen

Thermische belasting

Rolls Royce Trent 900



~1

ITER steady-state



<10

85

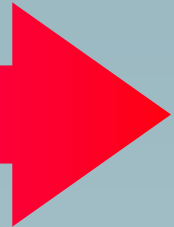
ITER transients



2000



Power load [MW/m^2]



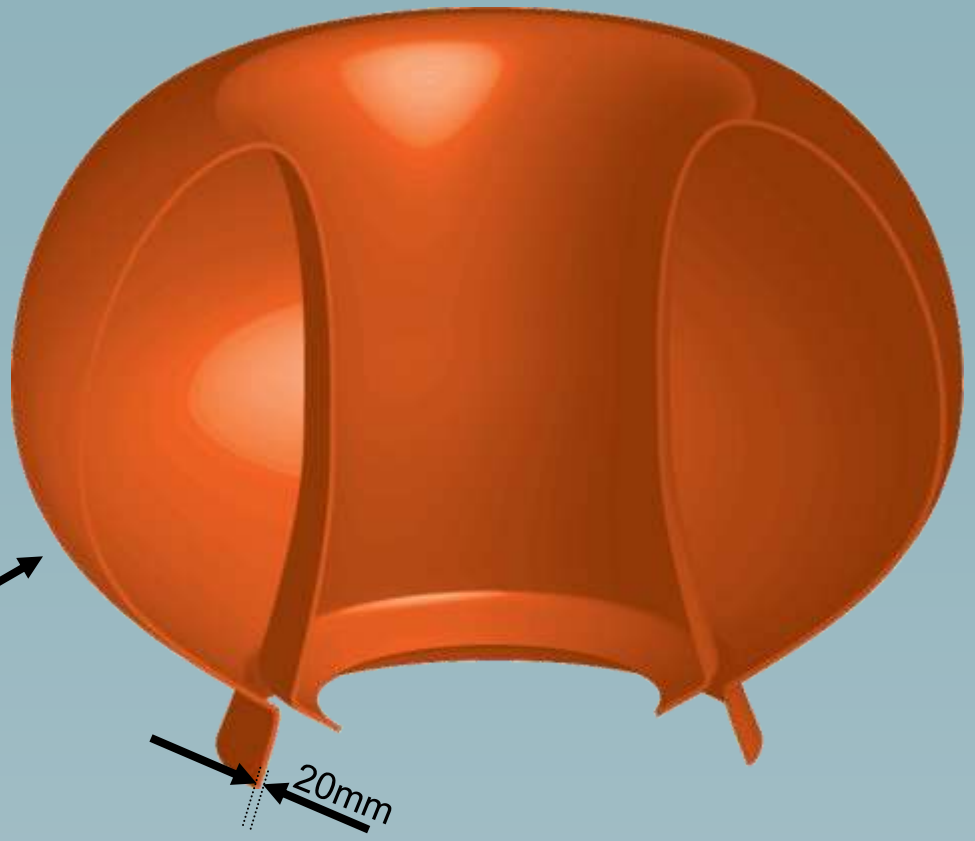
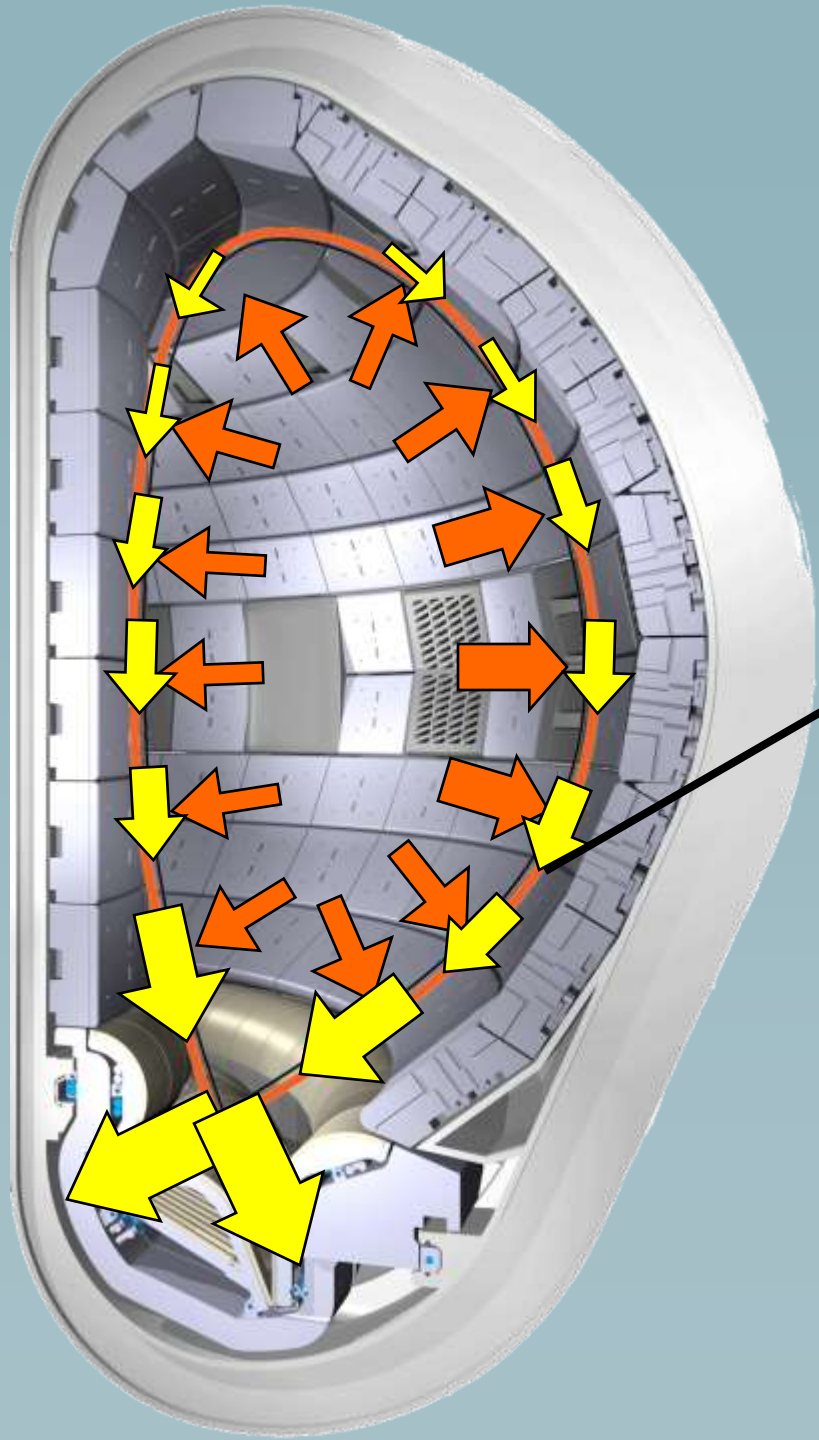
HWR



Re-entry vehicle



Ariane 5/Vulcain 2



Scrape-off laag ~ 2 cm dik

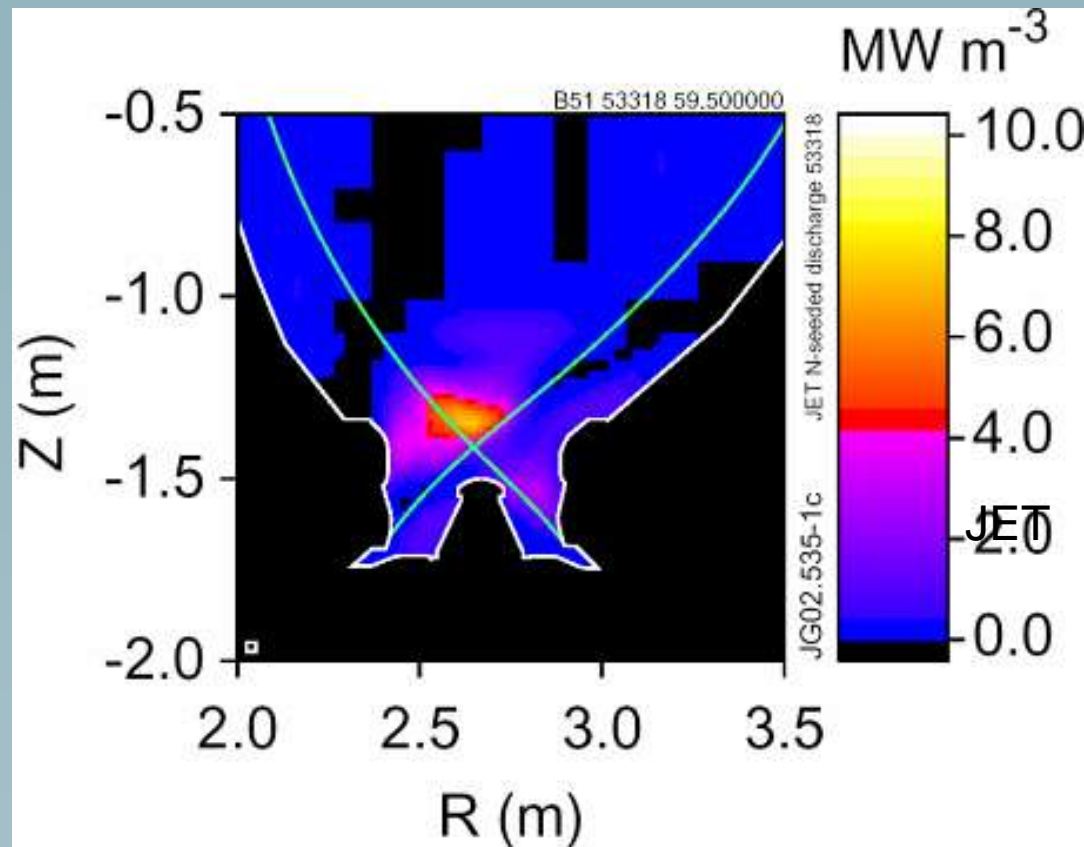
Vermogensdichtheid 1 GW/m²

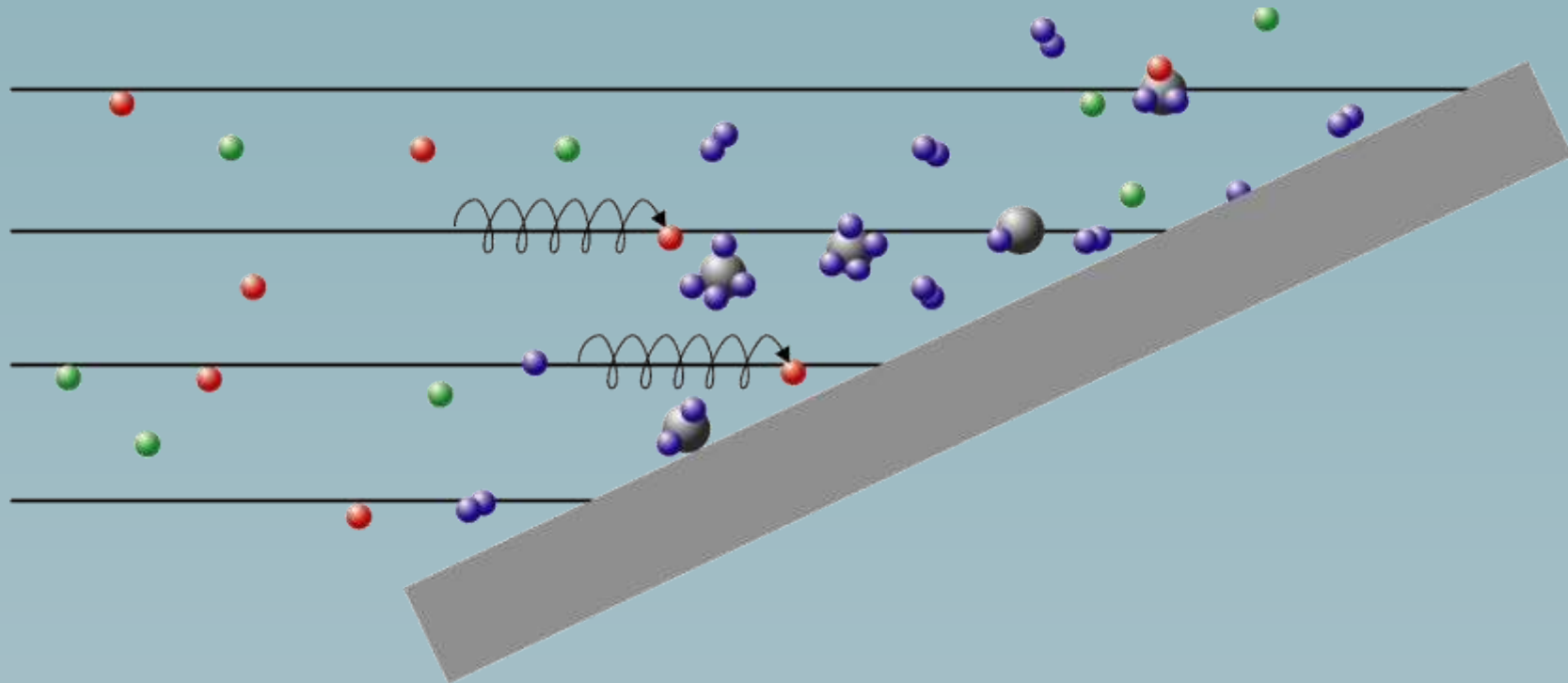
Hoe kan 1 GW/m² worden gereduceerd tot hanteerbare waarde?

Keuze van de geometrie van de divertor

Straal 90% van het vermogen weg

‘Ontkoppel’ het plasma in de divertor ($T < 10$ eV)





Plasma wand materialen: vele uitdagingen

Erosie

Redepositie

Tritium retentie

Smelten

Plasmavervuiling

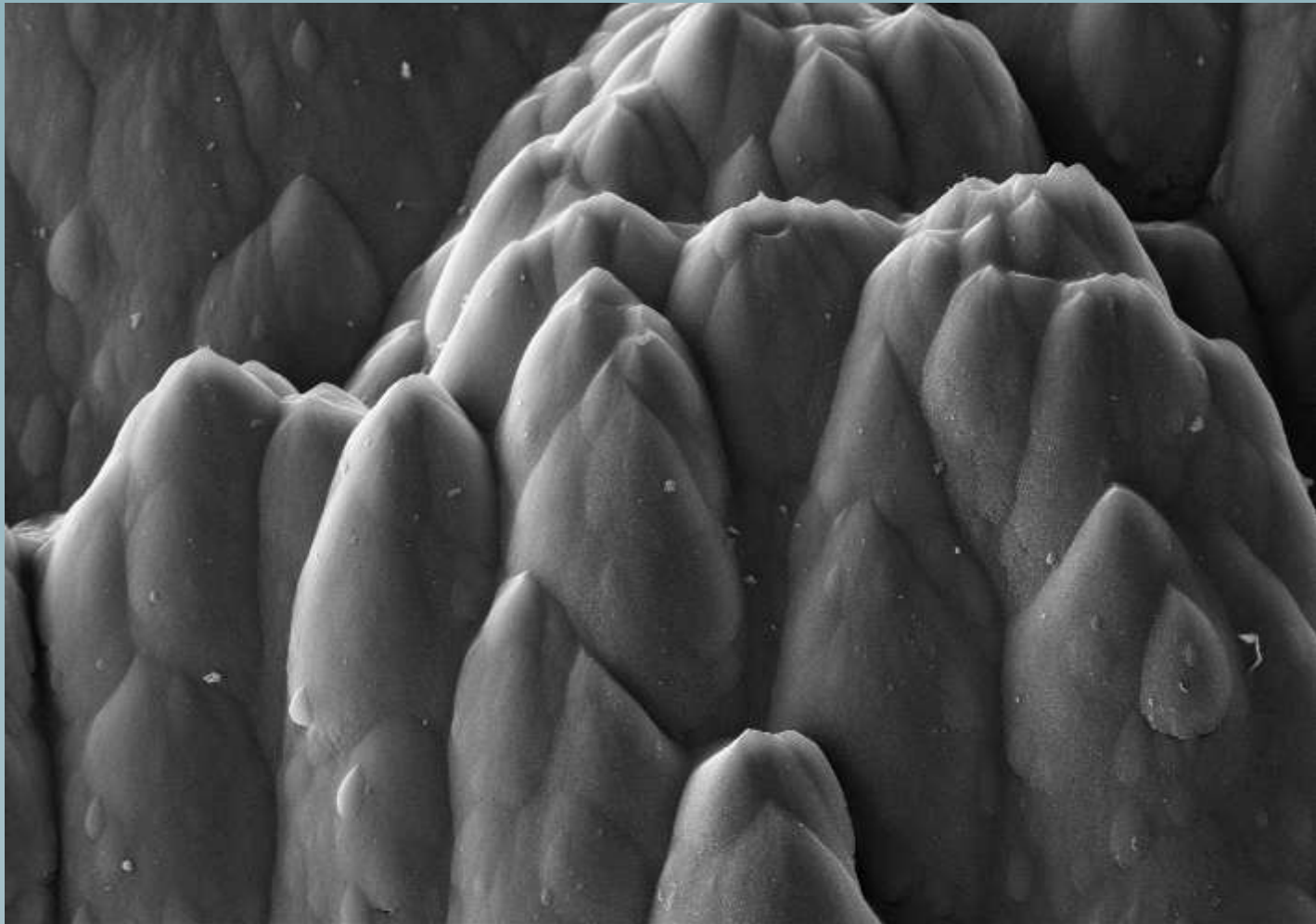
Materiaalkeuze: Koolstof, Wolfraam, Beryllium.

**Belangrijke randvoorwaarden: neutron fluentie
activatie**

Alcator C-Mod (MIT)



Depositie van koolstof in TEXTOR (FZ-Julich)

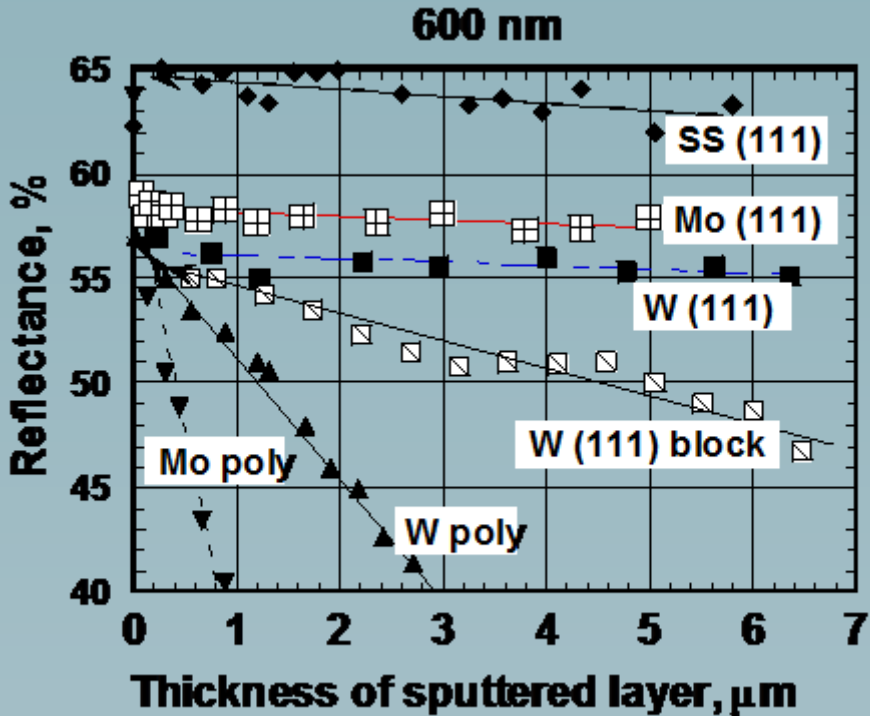


50 micron

Erosie/redepositie

Reflectivity for eroded mirrors

V. Voitsenya, Rev. Sci. Instrum. 76 (2005) 083502.

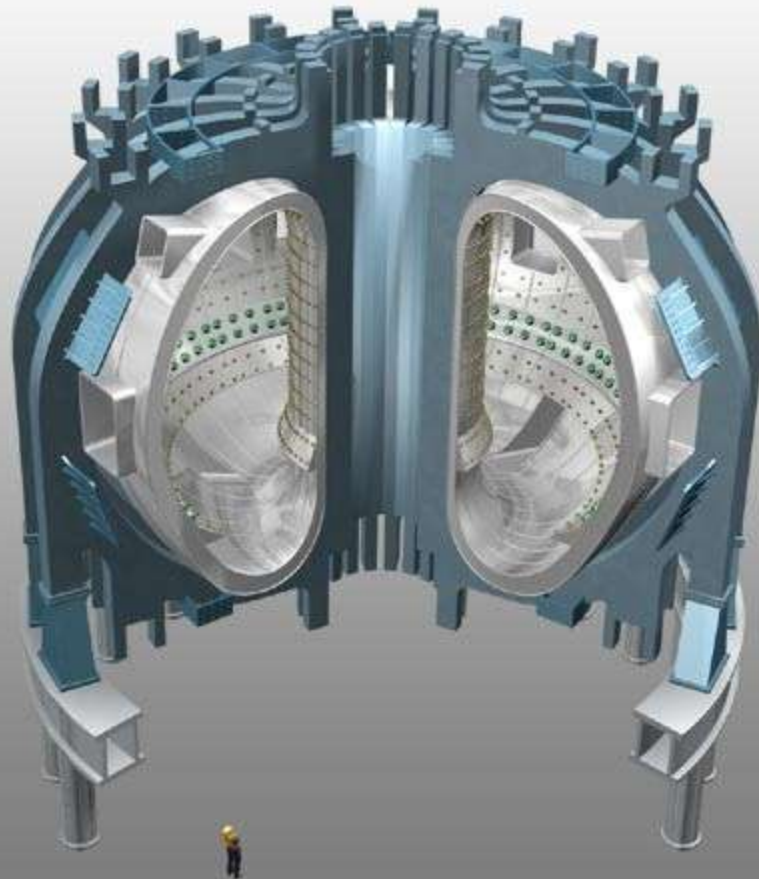


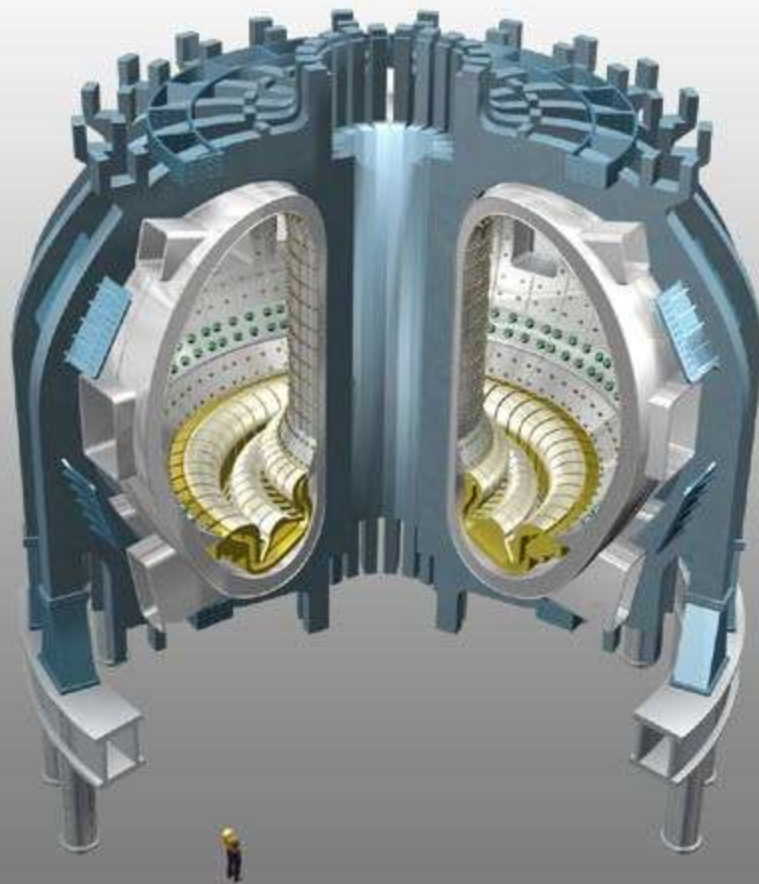
Material eroded away elsewhere can be redeposited on mirrors

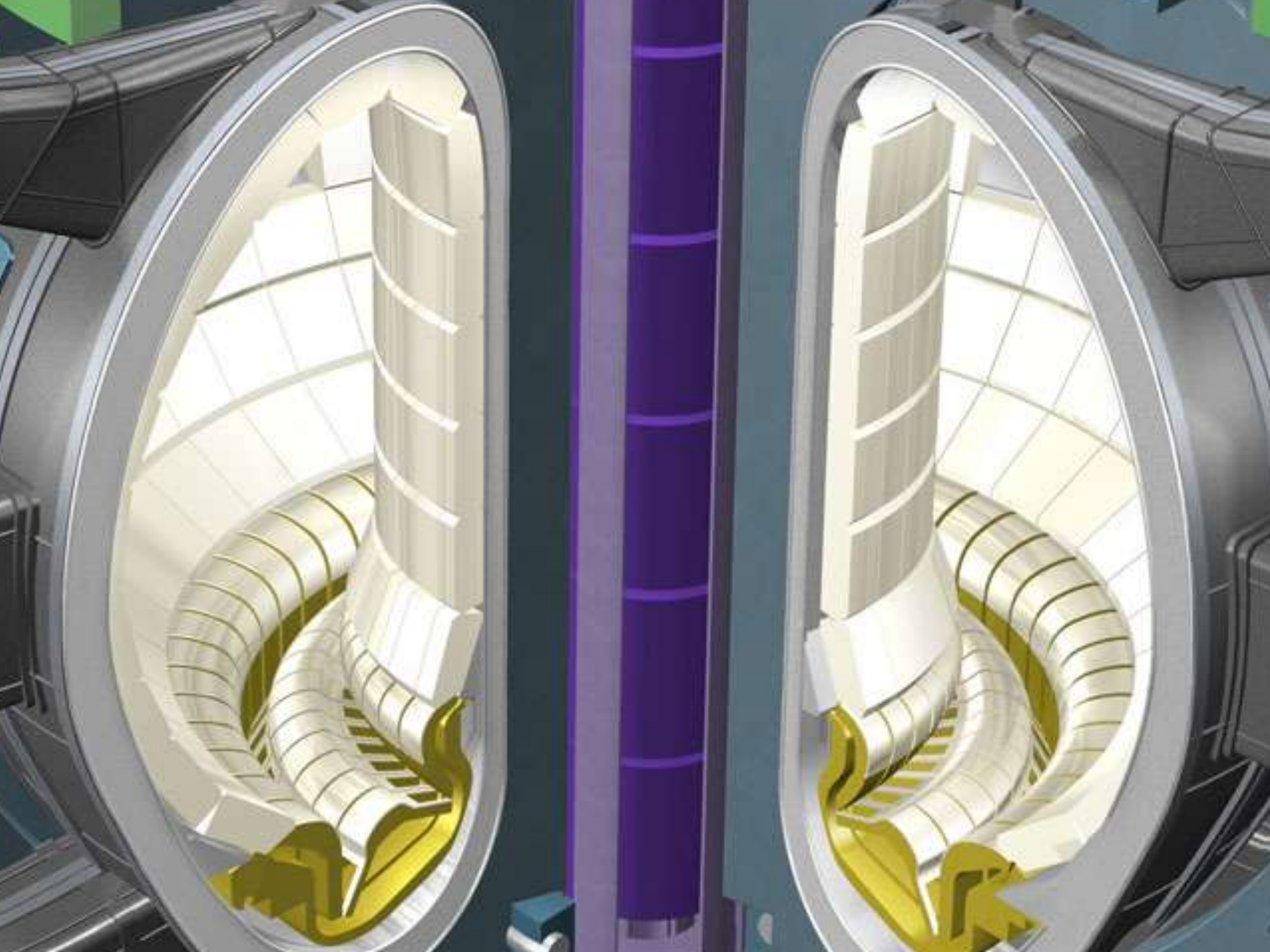
M. Rubel, 18th ITPA Diagnostics meeting

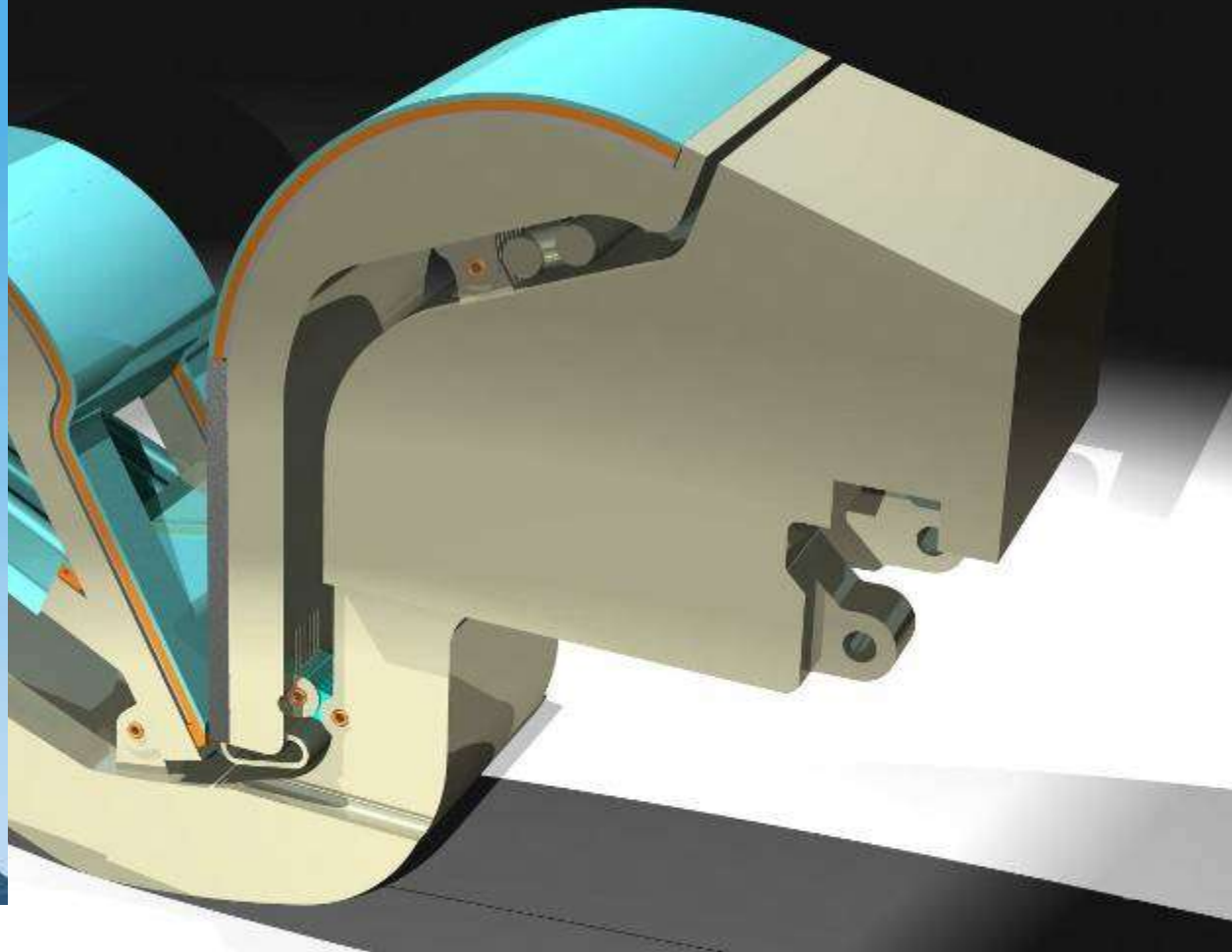
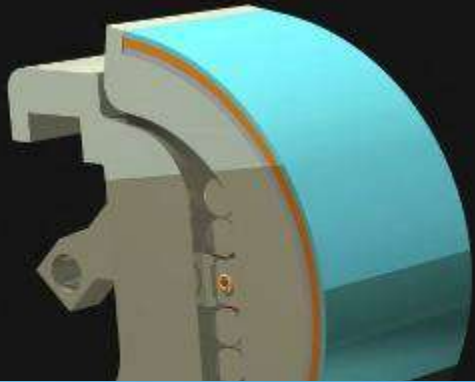


Courtesy: A. Litnovsky









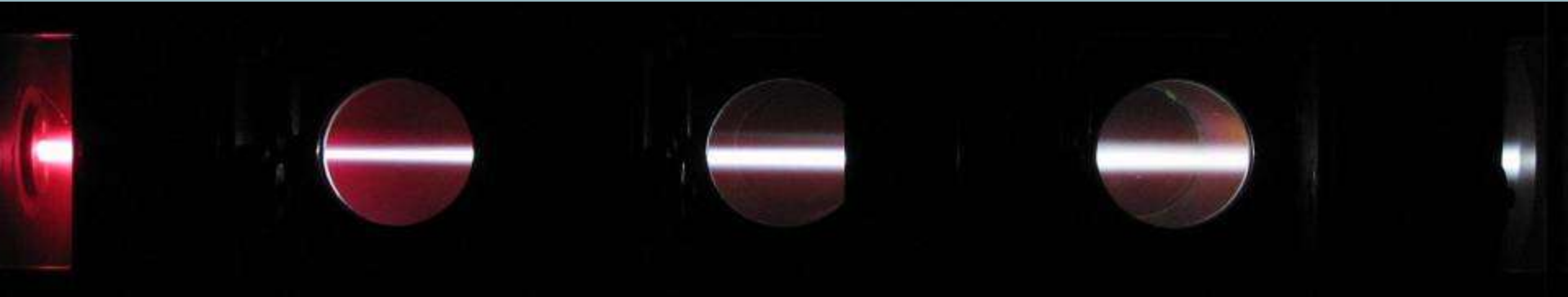
High-power linear plasma generators at FOM (NL):

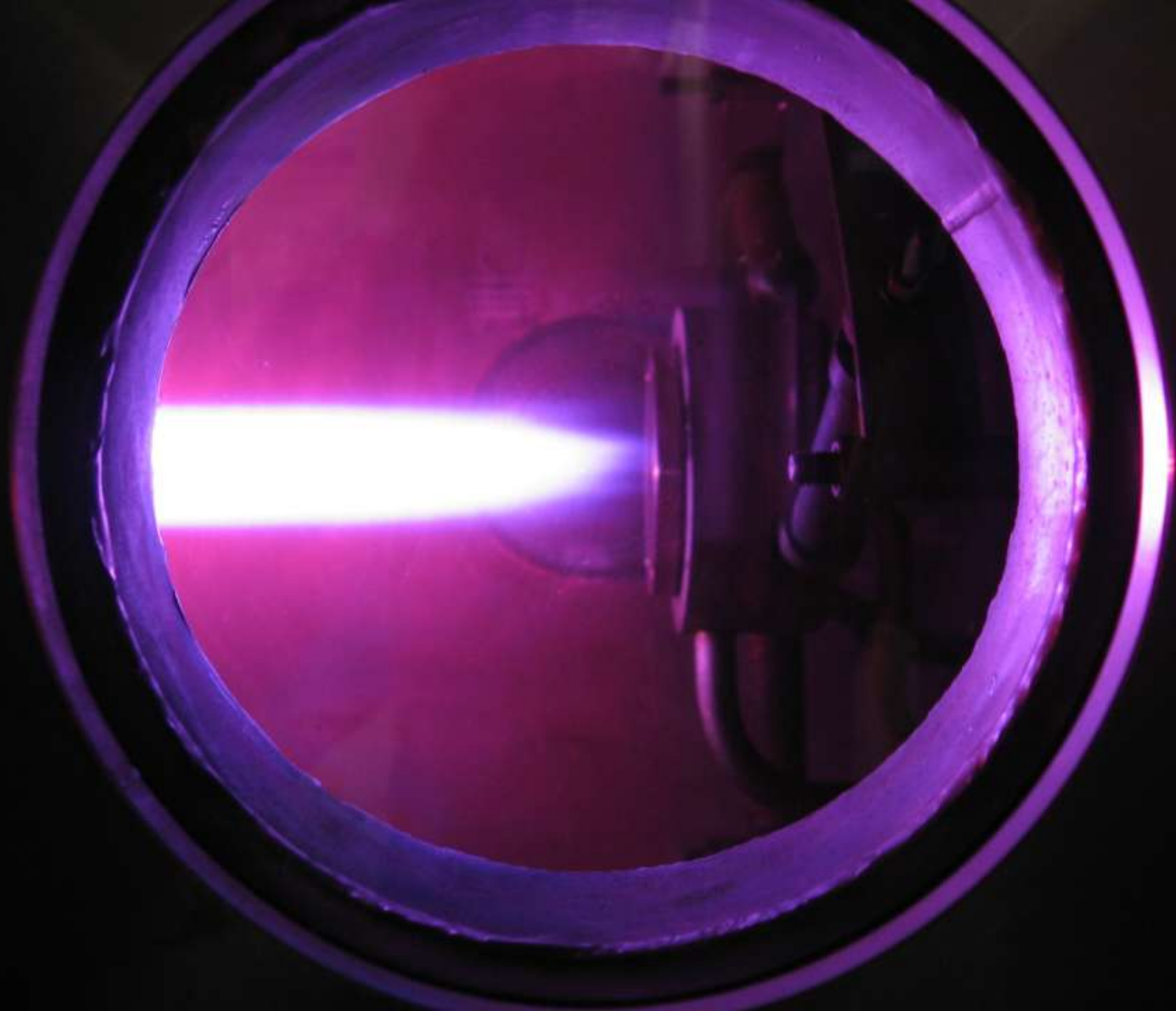
operationeel:

Pilot-PSI

In aanbouw:

Magnum-PSI





MAGNUM-PSI

First super-conducting linear plasma simulator: steady state 3T

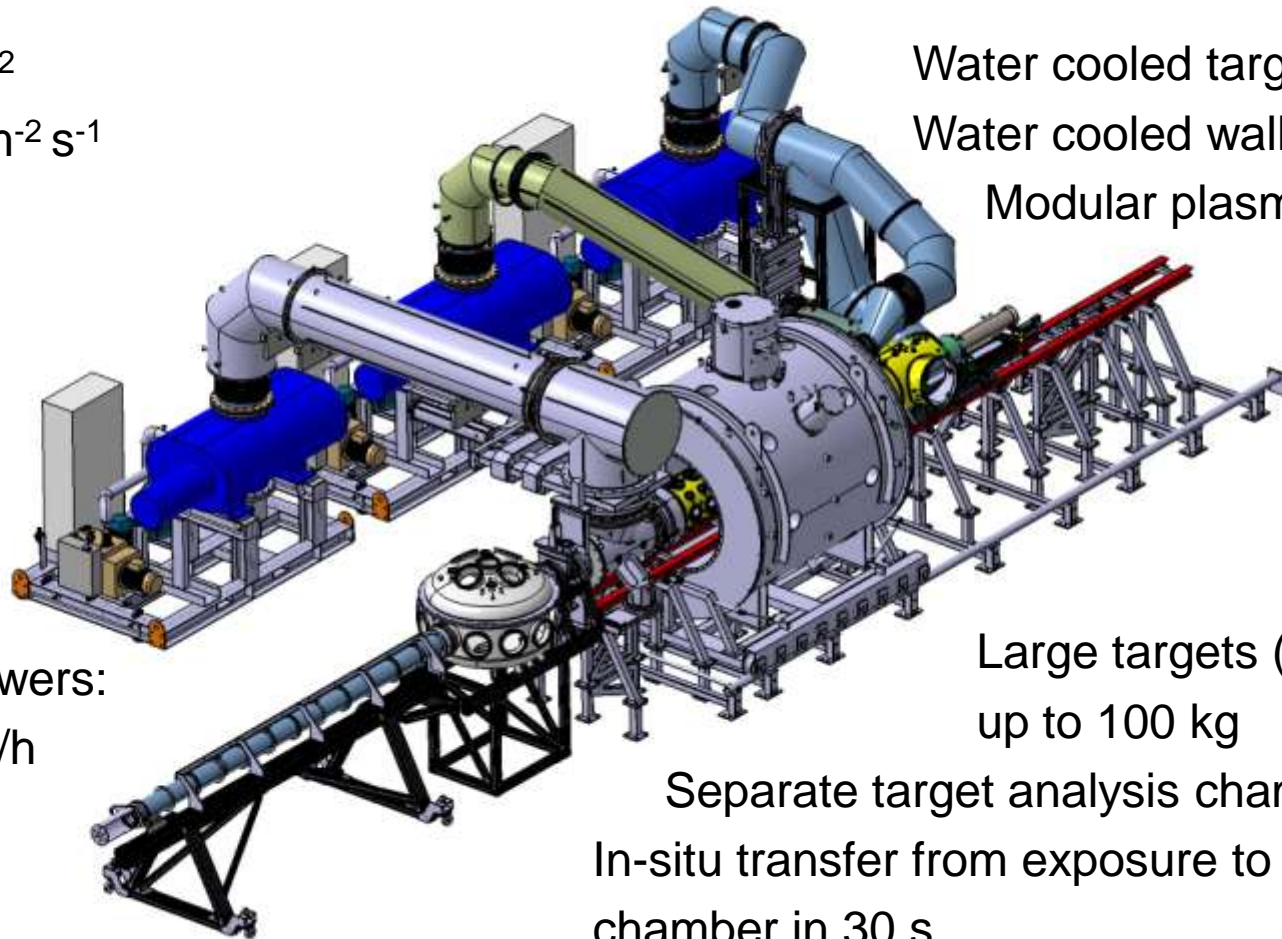
10 MW/m²

$\Gamma_D = 10^{24} \text{ m}^{-2} \text{ s}^{-1}$

Water cooled target (100 kW)

Water cooled wall (50 kW/m²)

Modular plasma source



Roots blowers:

60000 m³/h

Turbo:

4400 l/s

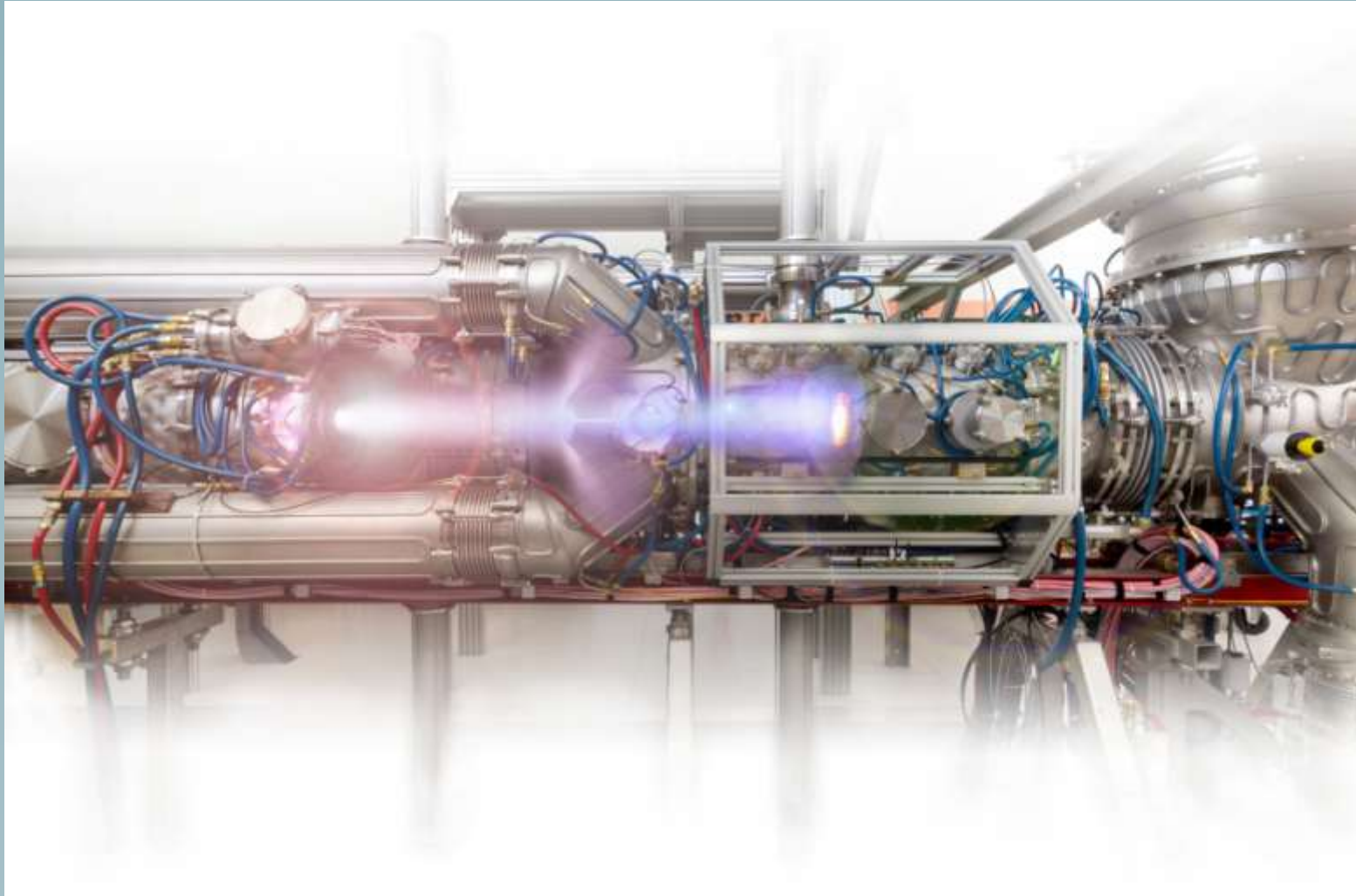
Large targets (60 x 12 cm)

up to 100 kg

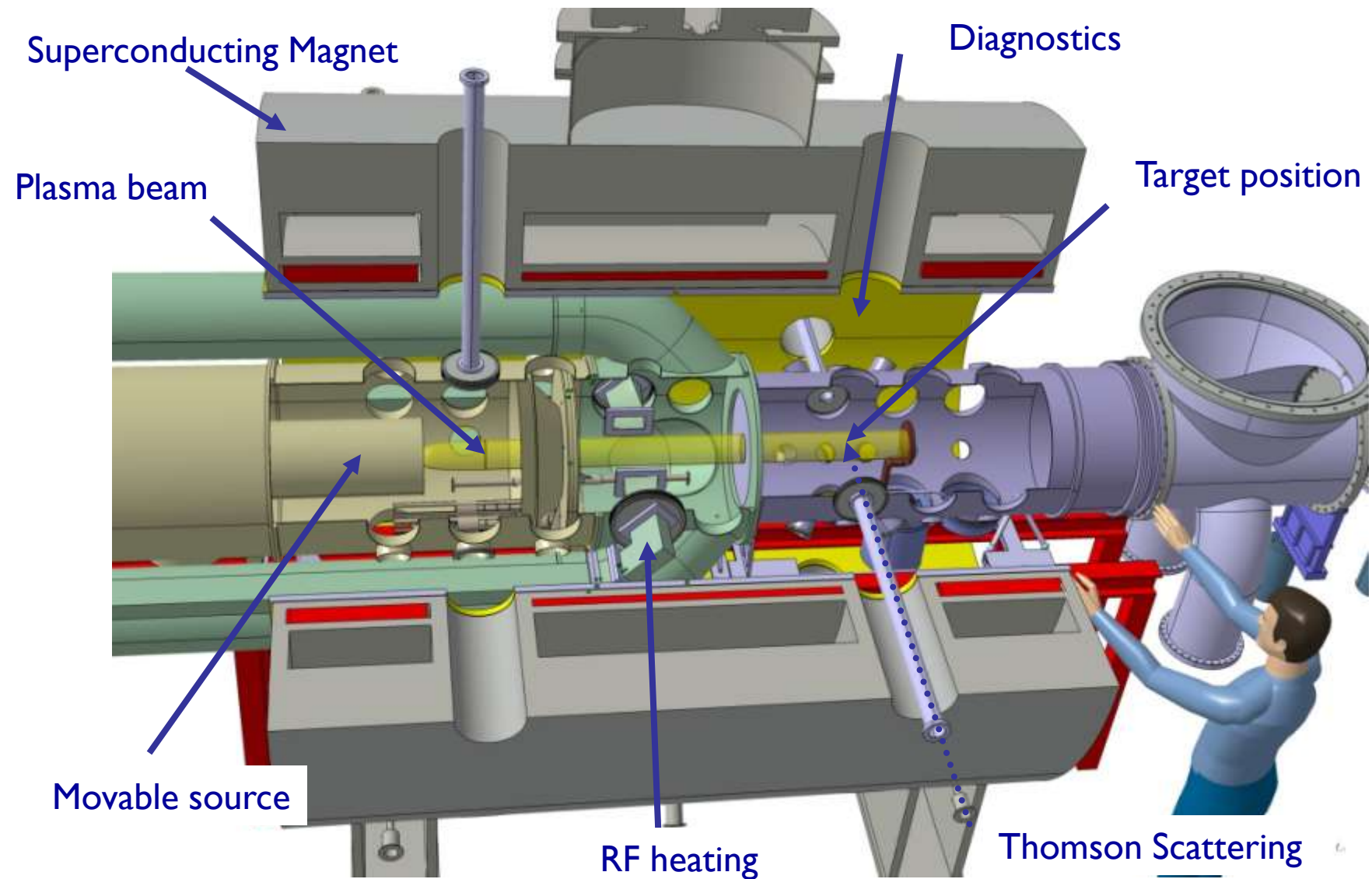
Separate target analysis chamber

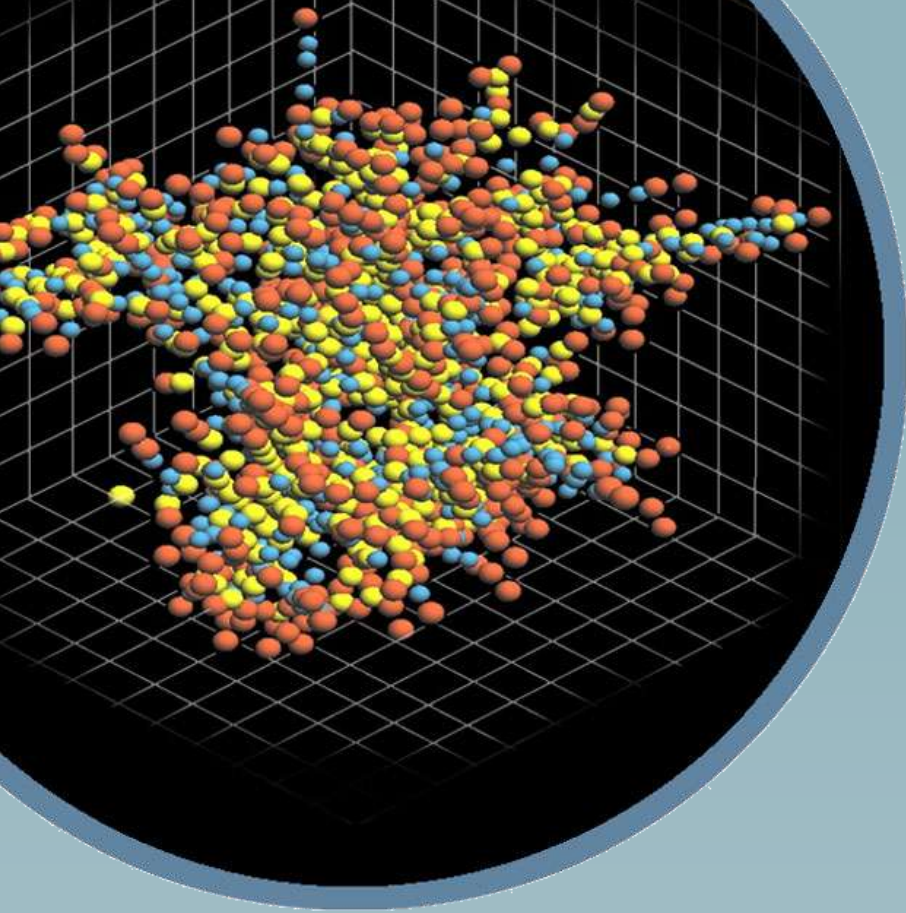
In-situ transfer from exposure to analysis chamber in 30 s

MAGNUM-PSI



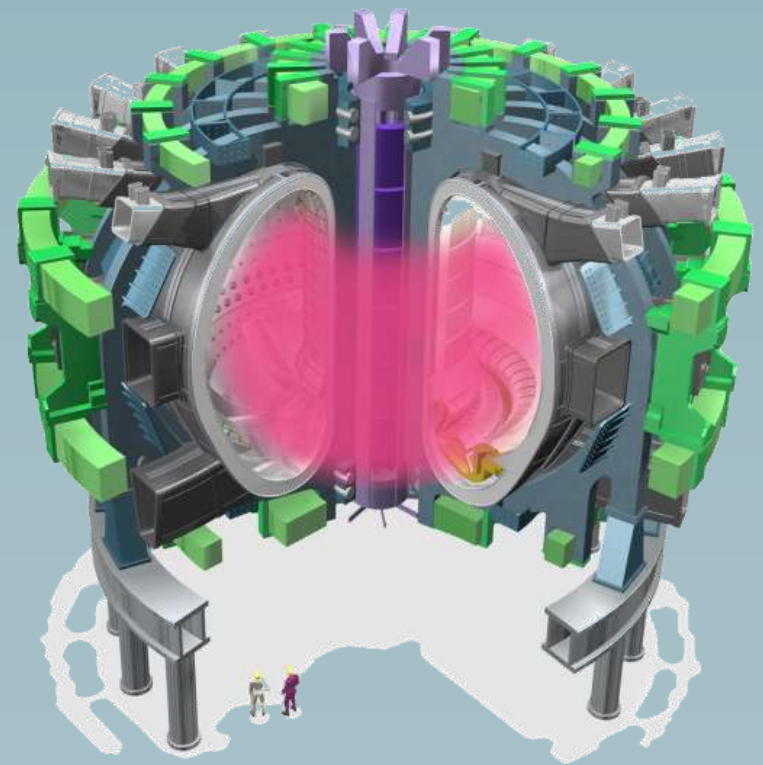
MAGNUM-PSI





5

Bombardement van
neutronen

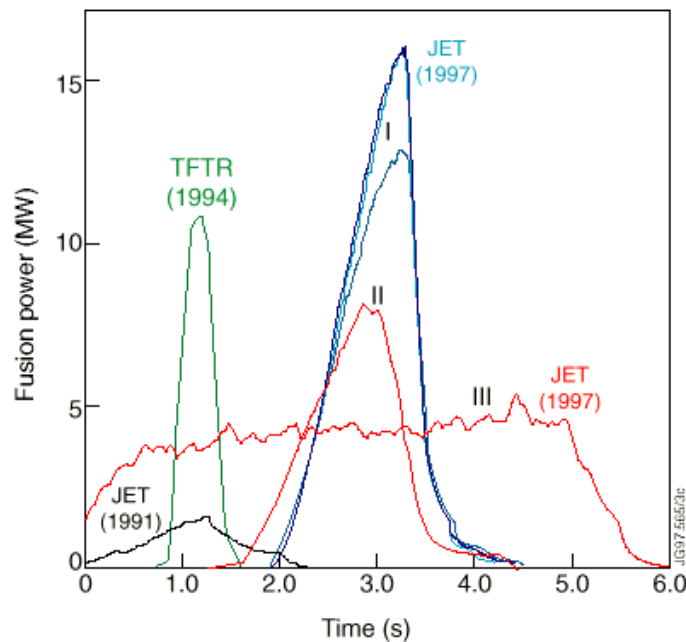
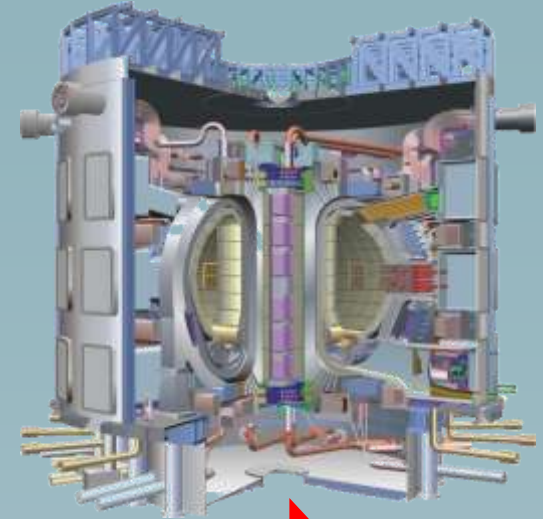


Hoge deeltjesfluxen

JET



ITER



50 × hogere ionenflux

5000 × hogere ionenfluentie

> 10^5 × hogere neutronenfluentie

Nieuwe fenomenen voor diagnostieken

Magnetic coils

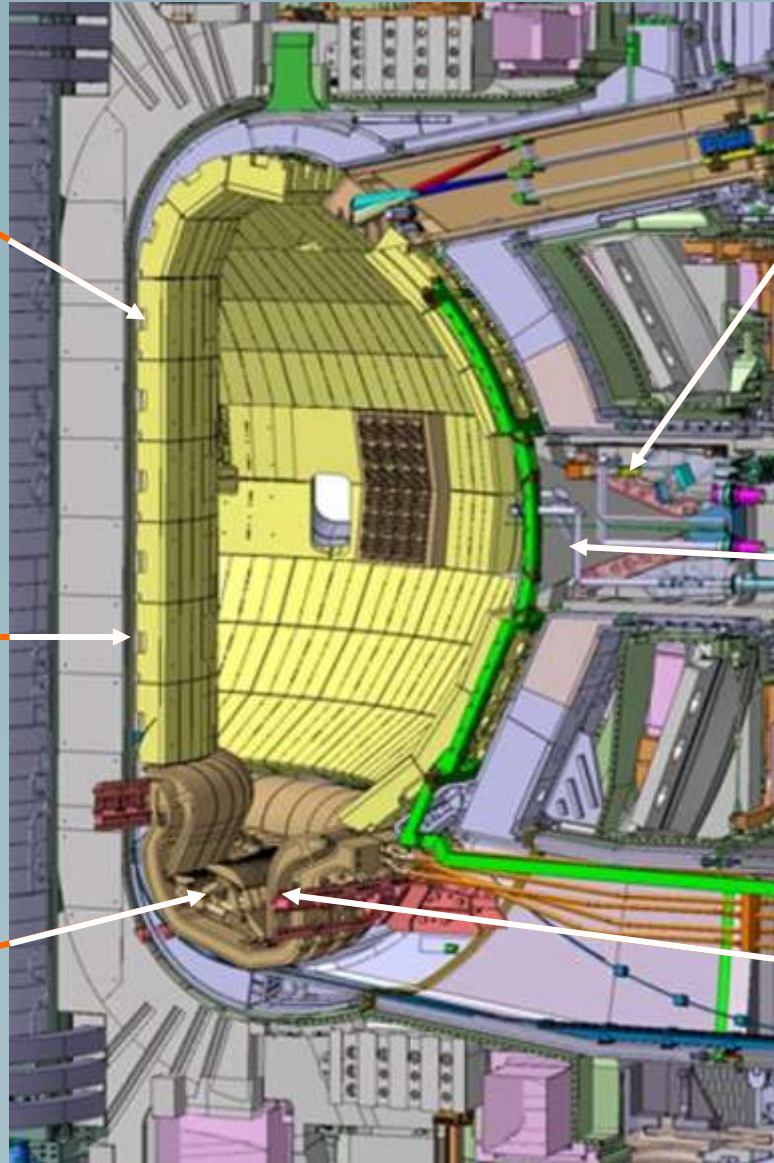
- Radiation Induced Conductivity (RIC)
- Radiation Induced Electric Degradation (RIED)
- Radiation Induced Electromotive Force (RIEMF)

Bolometers

- RIC
- Nuclear Heating
- Sputtering
- Contact degradation
- Differential swelling and distortion

Pressure gauges

- RIC
- RIED
- Filament aging



Neutron cameras

- Noise due to γ -ray, proton, α
- Radiation damage on solid state detectors

Optical diagnostics

Mirror

- Deposition, erosion
- Swelling, distortion

Window

- Permanent transient absorption
- Radioluminescence
- Swelling, distortion

Impurity monitoring

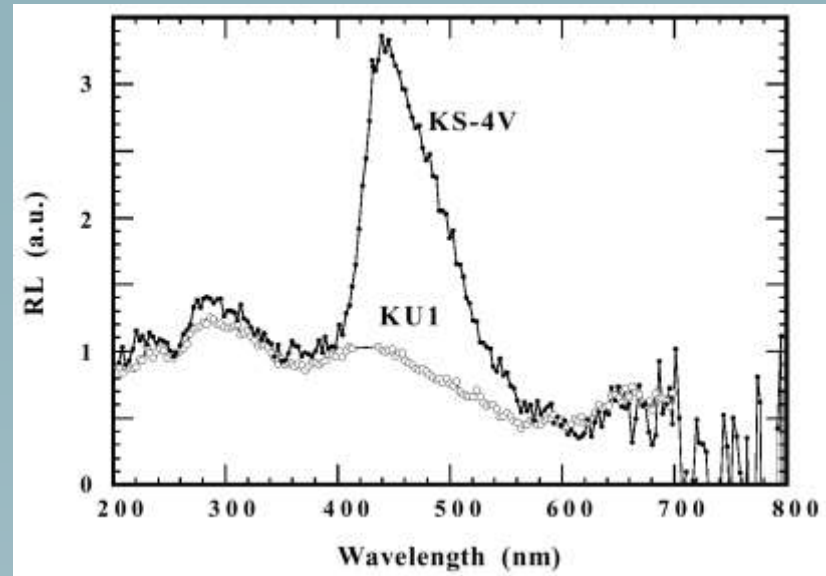
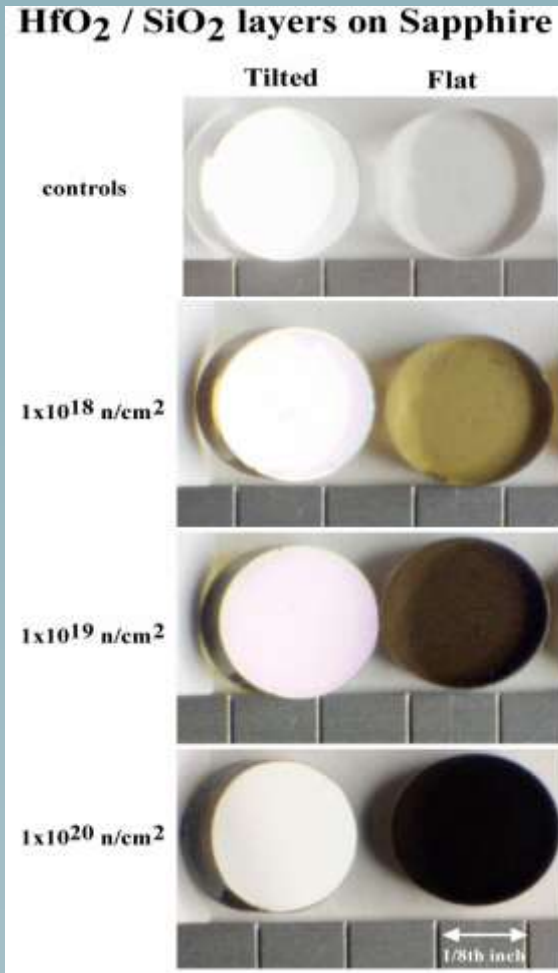
Mirror and windows

- same as above

Fibers

- Permanent transient absorption
- Radioluminescence

Stralingsgeïnduceerde absorptie en emissie



Stralingsgeïnduceerde Emissie (RL or RIE) van twee typen quartz fibers in gammastralingsveld van 700 Gy/s

Refractieve componenten kunnen niet dicht bij plasma worden gebruikt

Stralingsgeïnduceerde Absorptie (RIA) door neutronenstraling

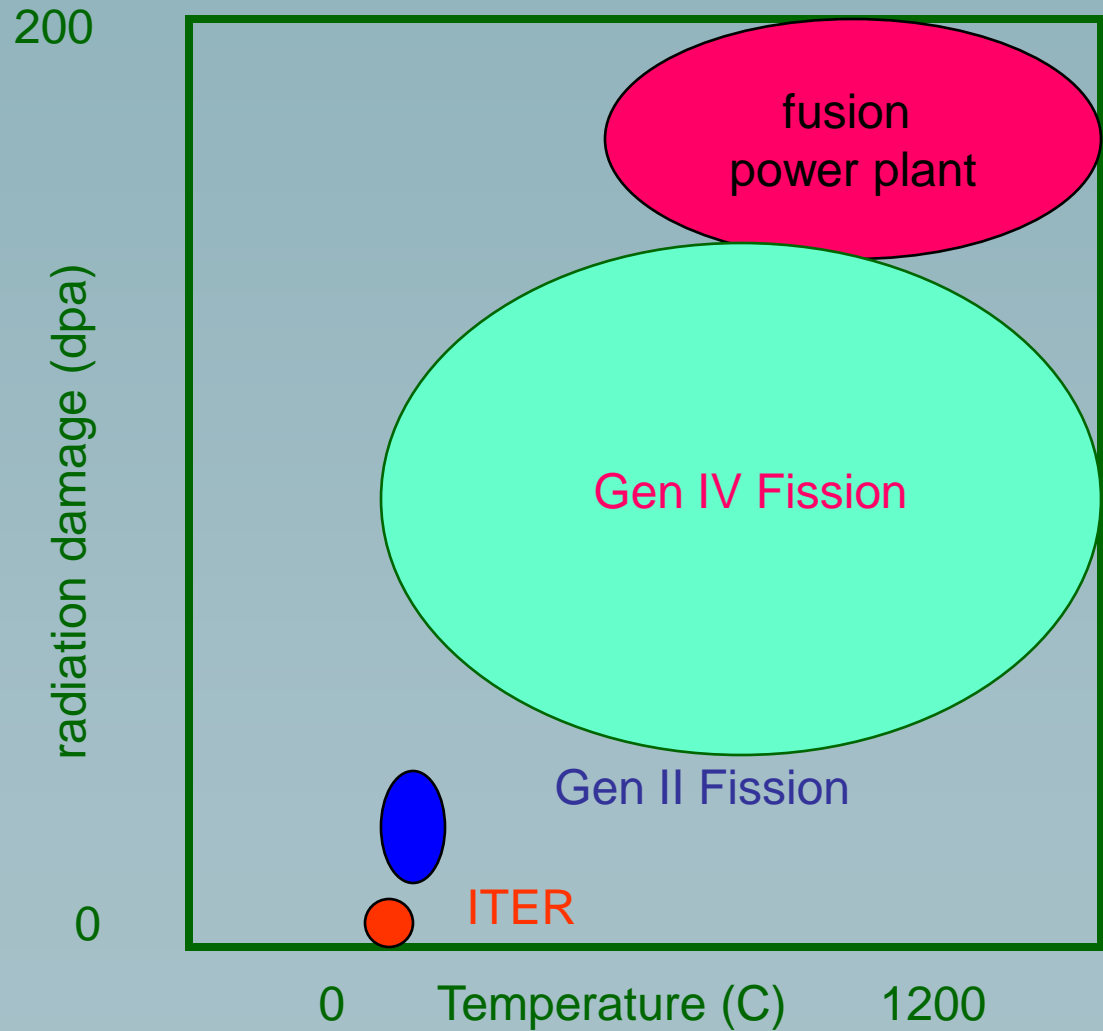
Transmutatie

Transmutatie was een issue voor weerstands-bolometers met Au meanders (transmutatie naar Hg)

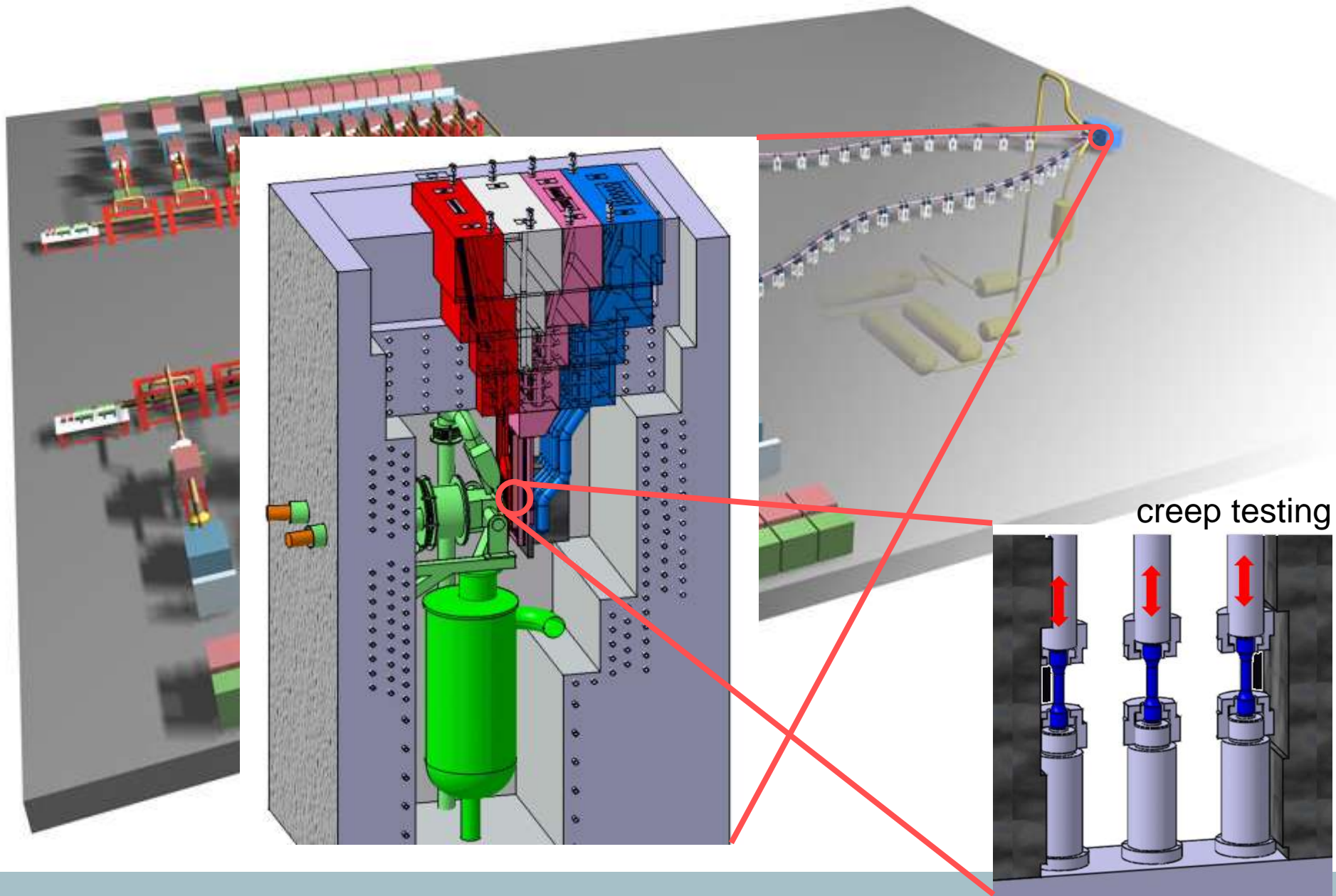
Goede resultaten met Pt meanders



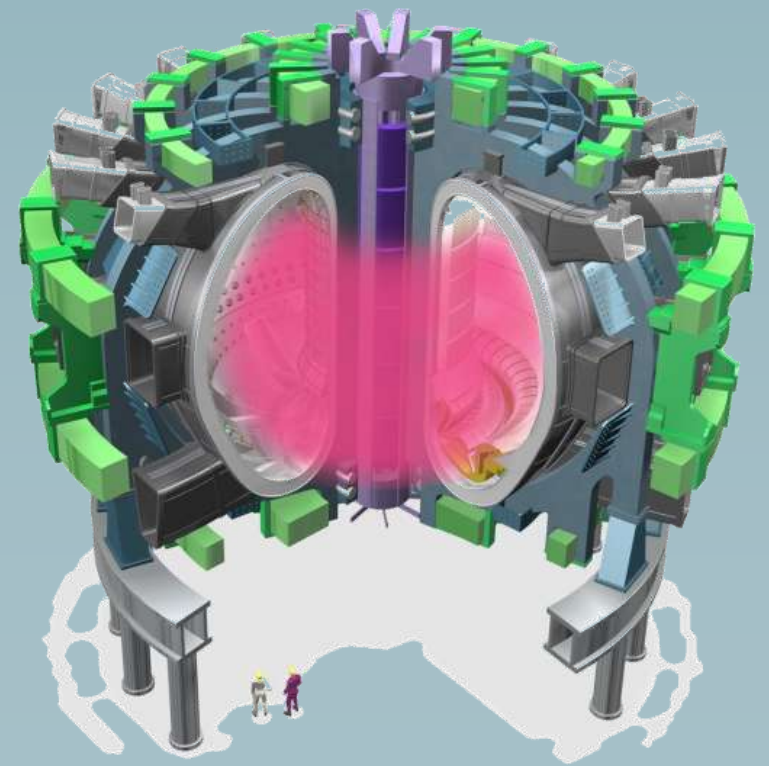
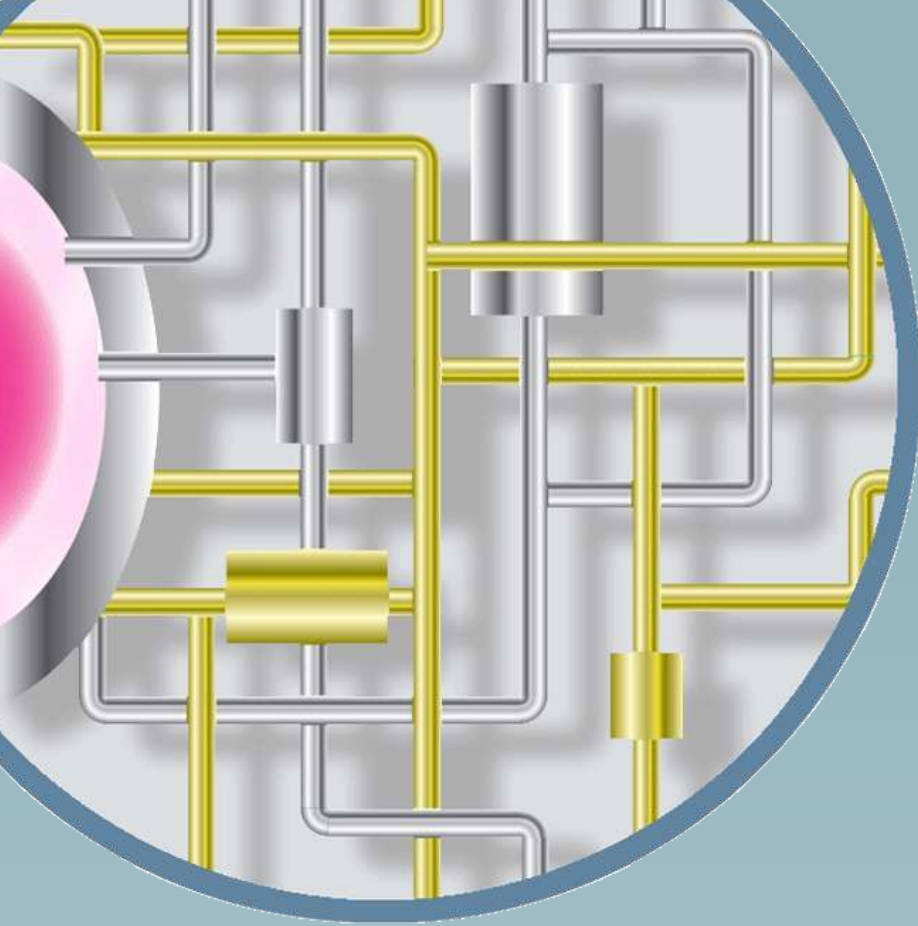
Materiaalontwikkeling



IFMIF - International Fusion Materials Irradiation Facility

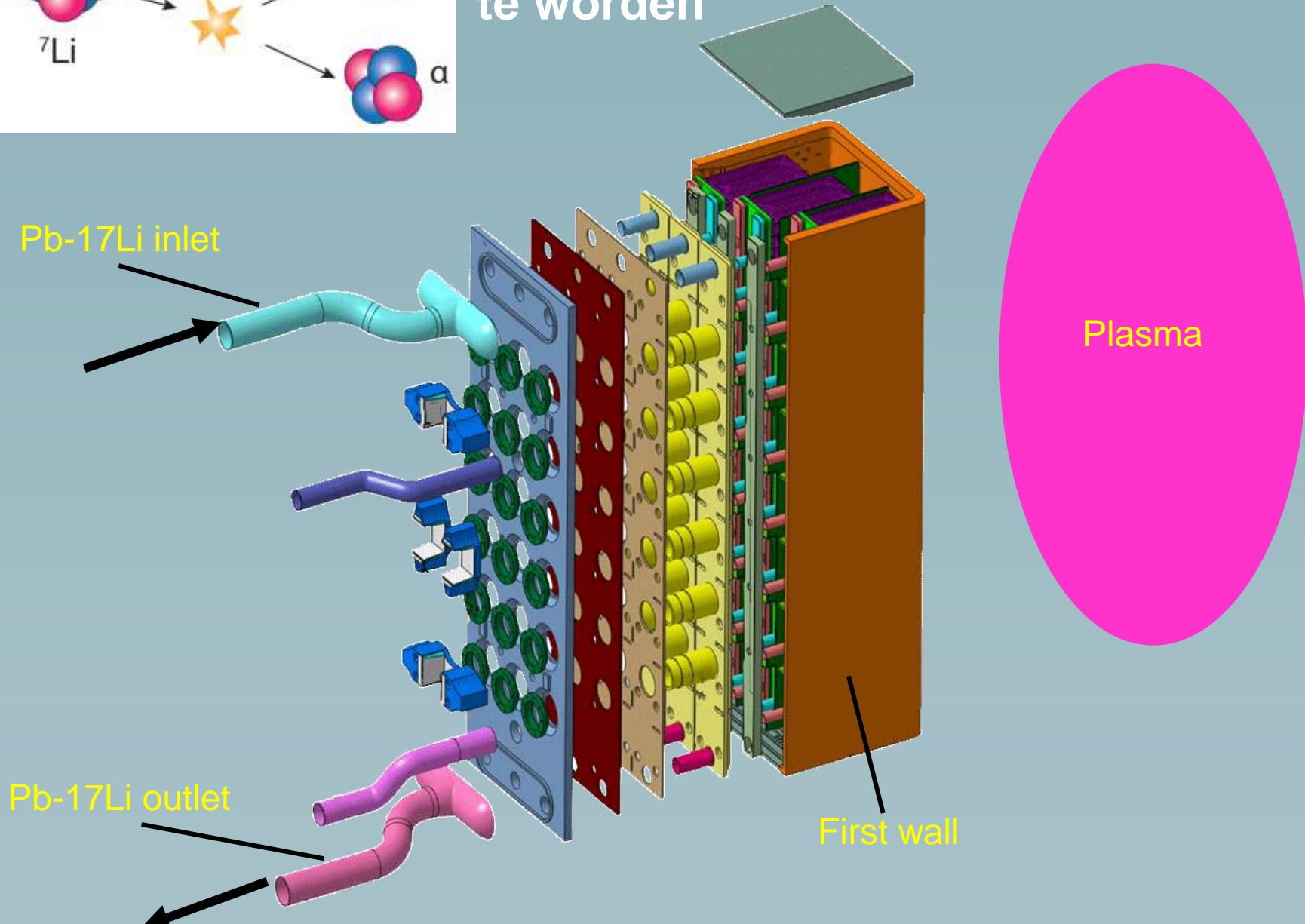
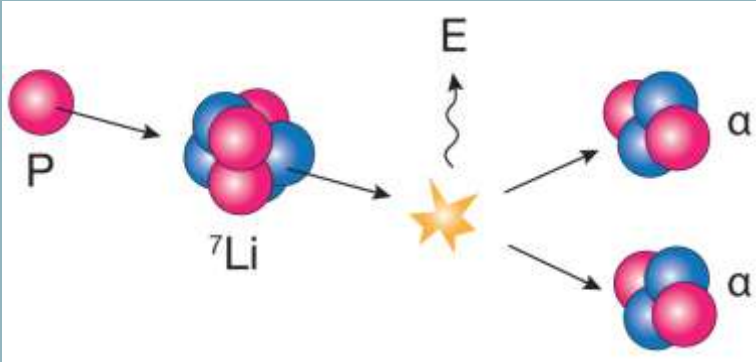


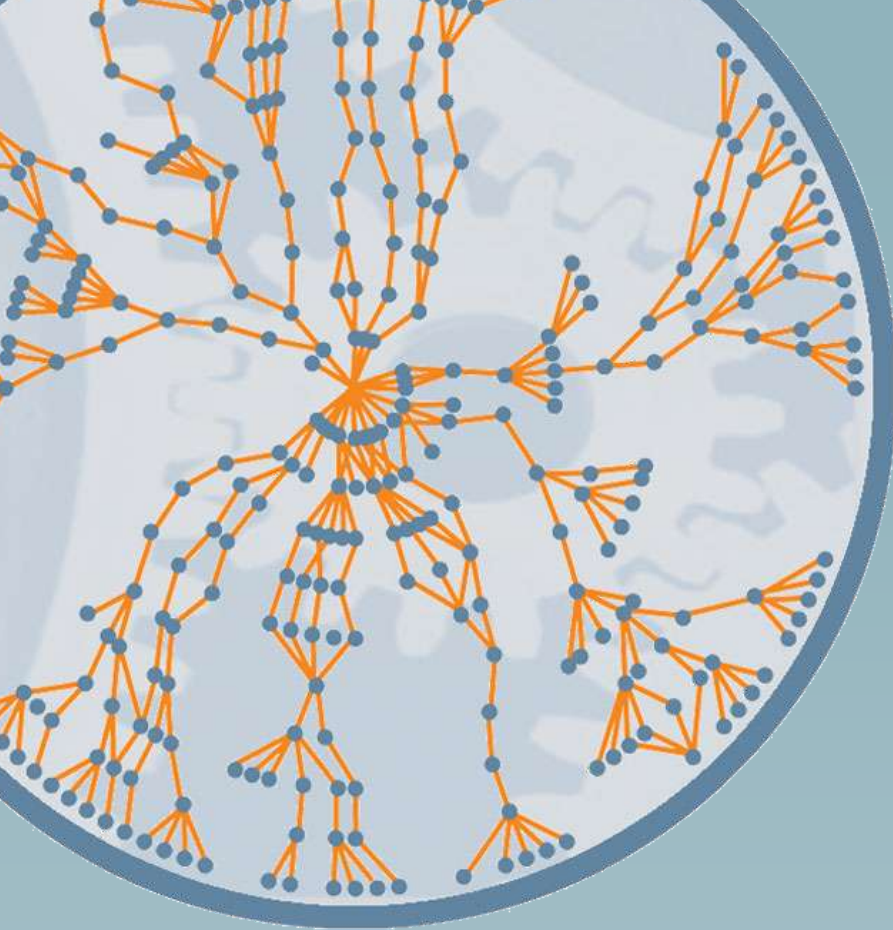
6



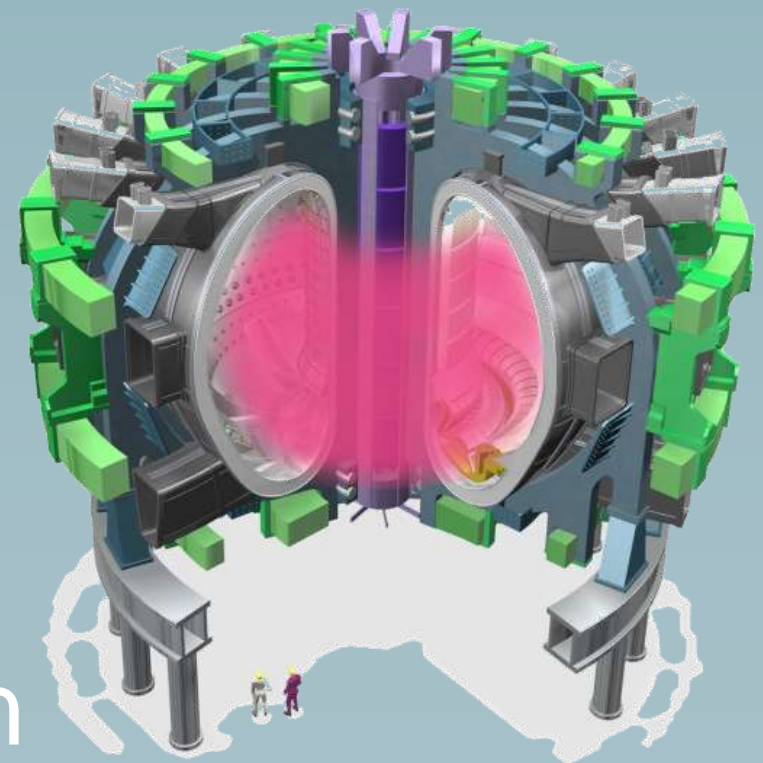
Brandstofcyclus
Tritiumproductie

Tritium moet minstens $1000 \times$
worden gebruikt zonder gevangen
te worden





7



ITER: 34 landen
15.000.000 onderdelen

ITER in 2011 - bouw is onderweg



Seismic Isolation Pads



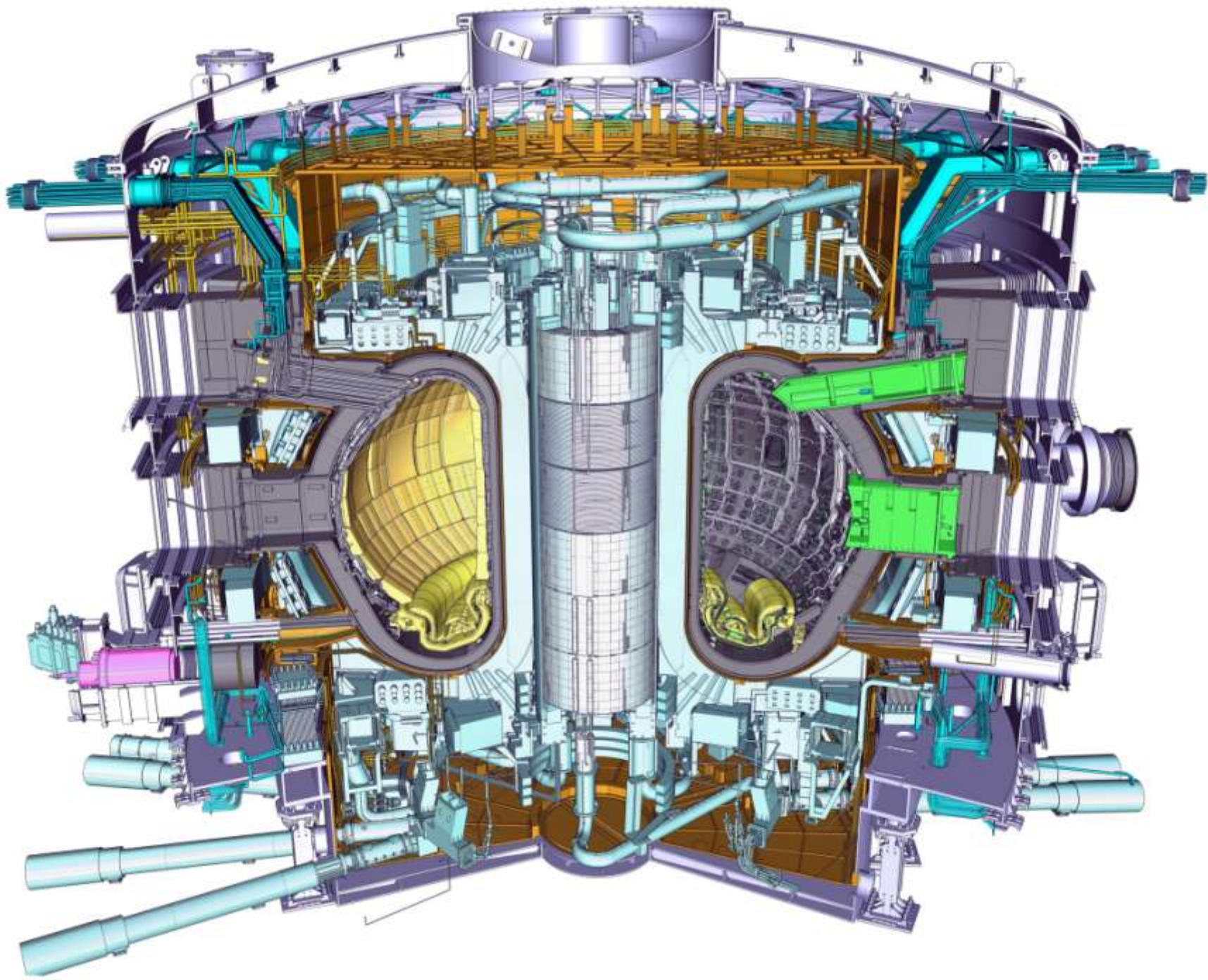
Poloidal Field Coil Winding Facility Building



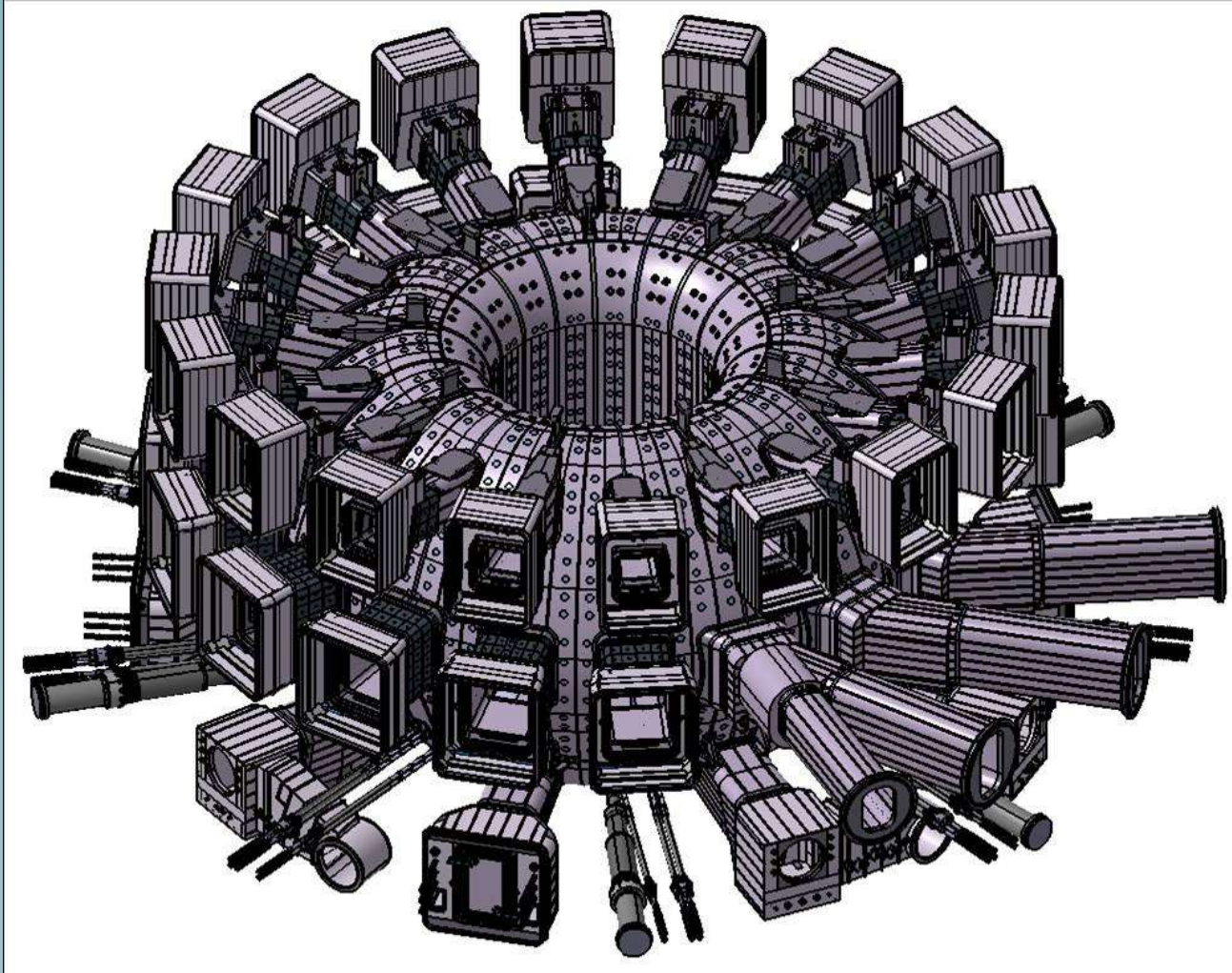
ITER Headquarters opened 15 October 2012



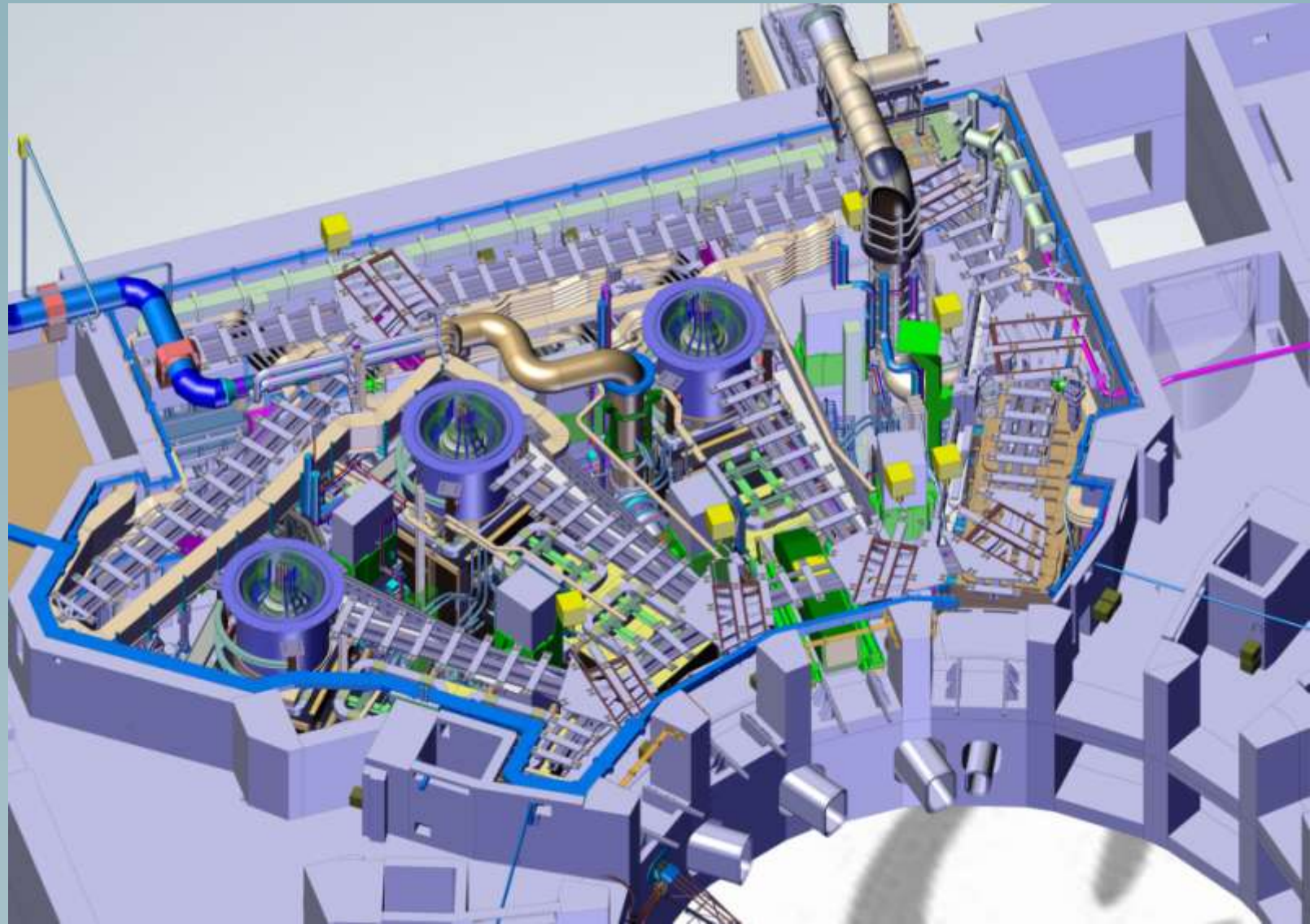




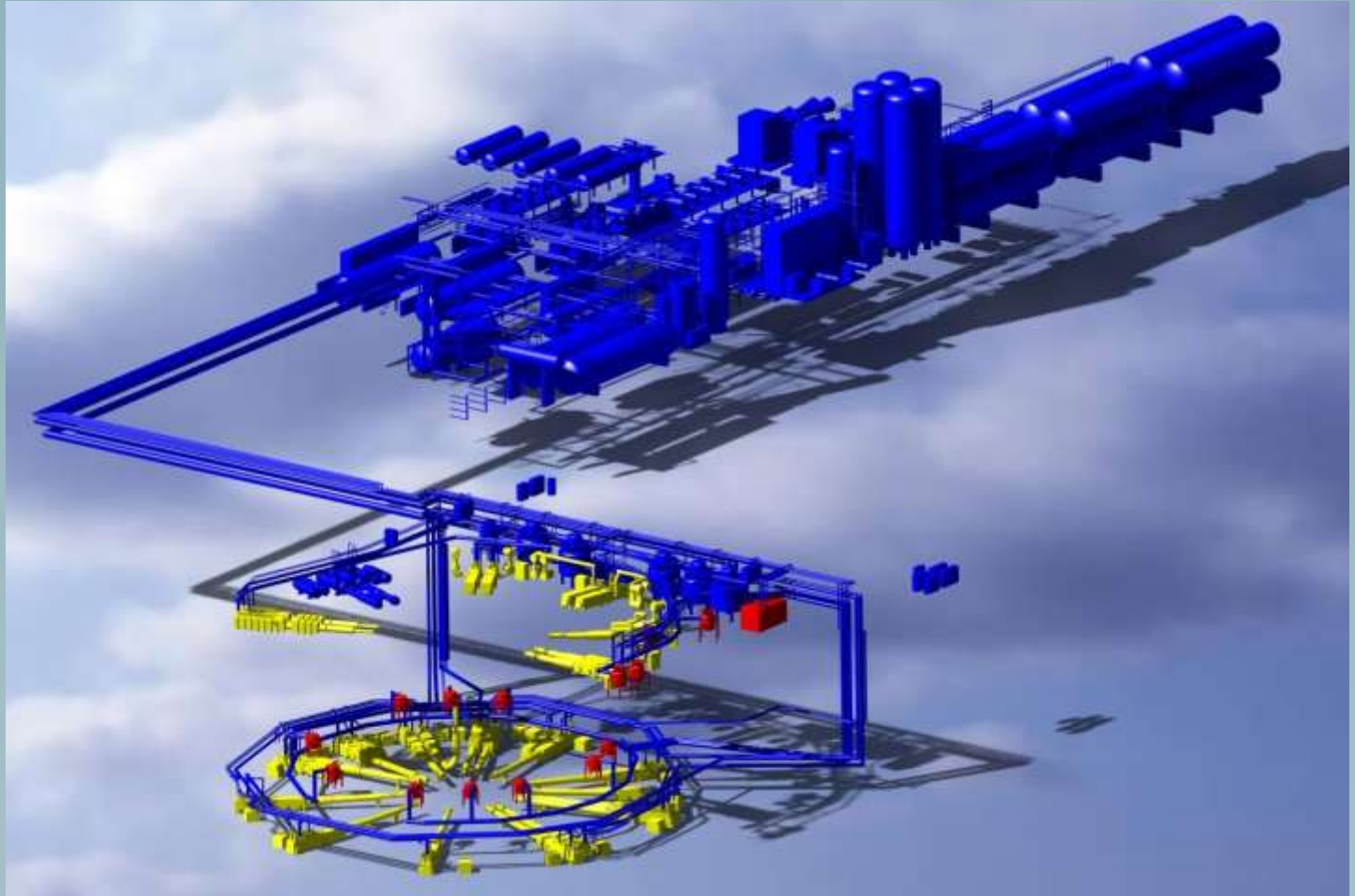
ITER vacuum vessel – more heavy than the Eiffel tower



Neutral Beam heating



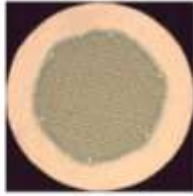
ITER cryogenic system



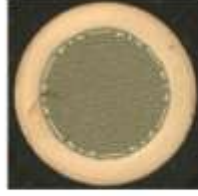
Superconducting cables



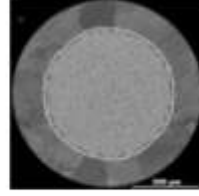
Bruker Energy & Supercon Technologies



Chepetsk Mechanical Plant



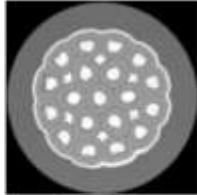
Hitachi



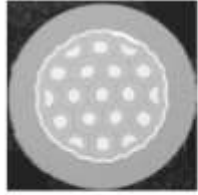
Jastec



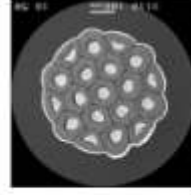
Kiswire Advanced Technology



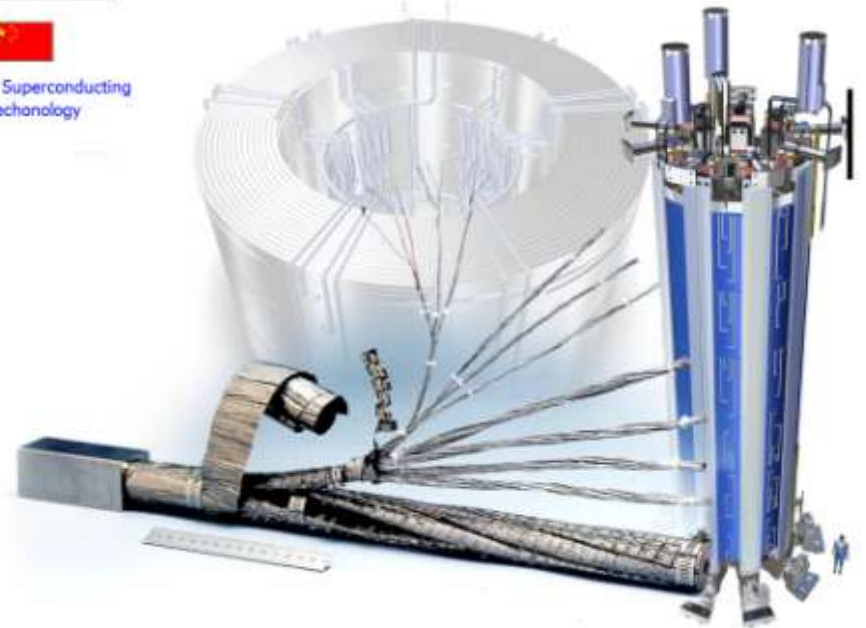
Luvata



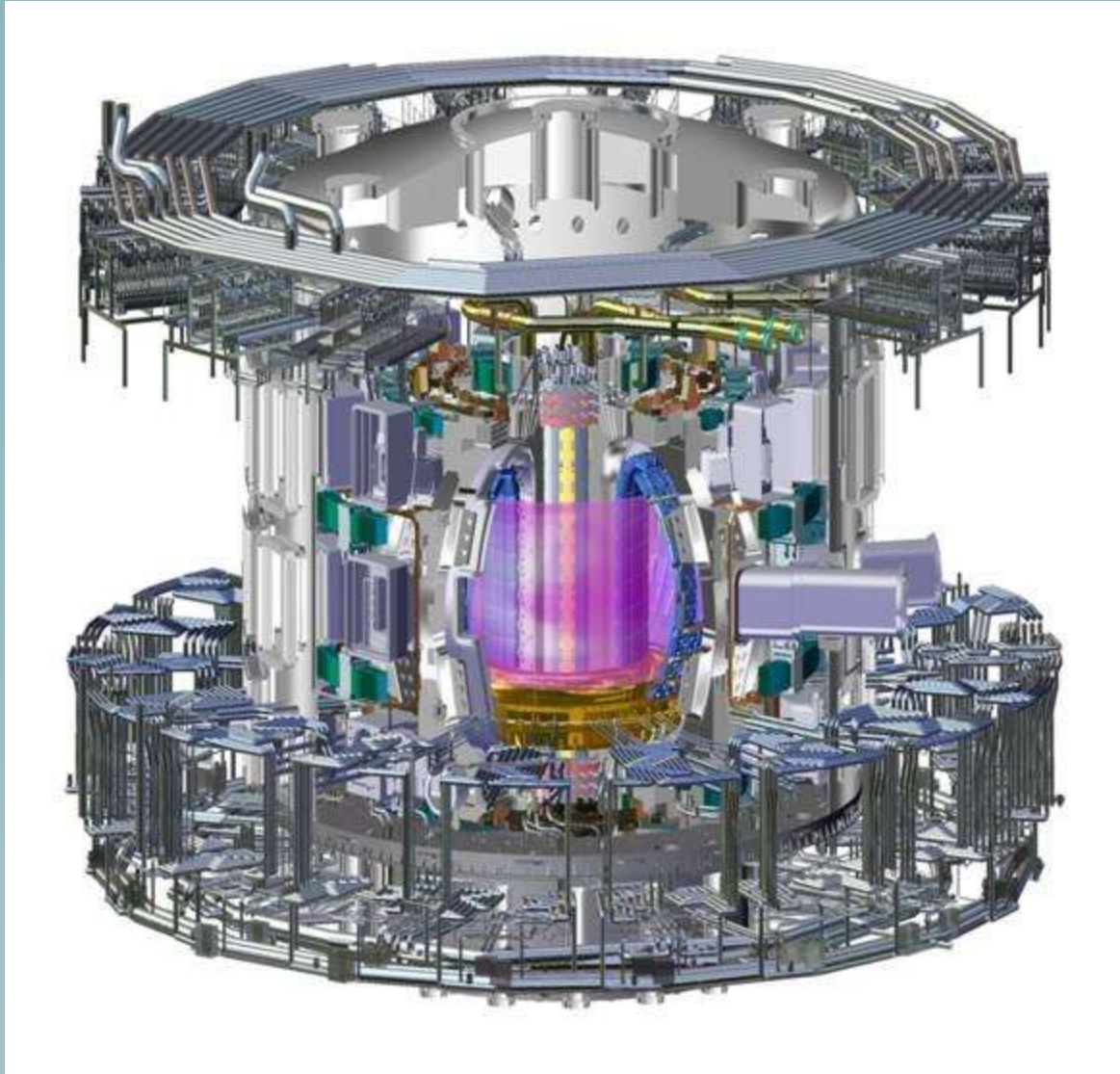
Oxford Superconducting Technology



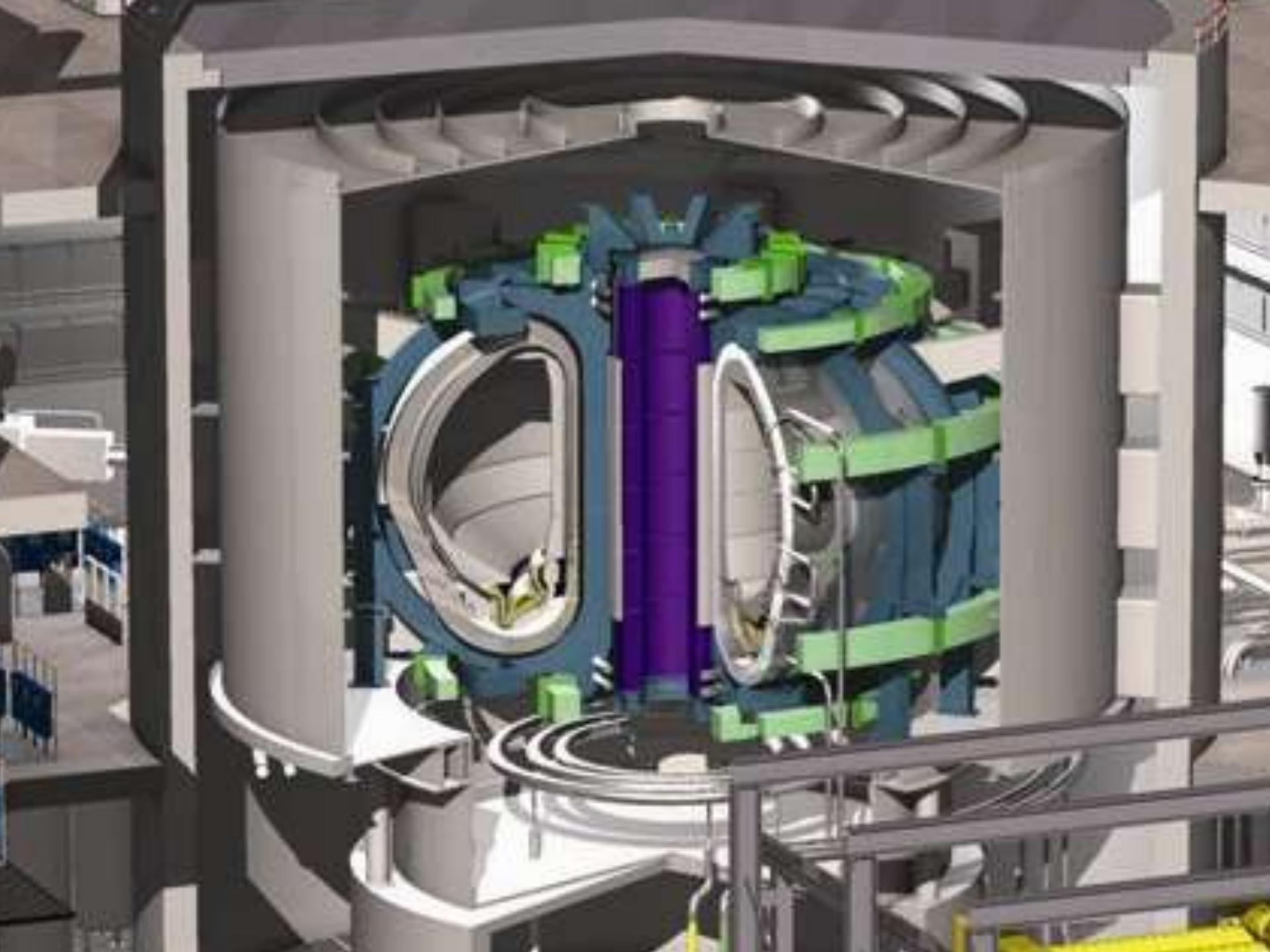
Western Superconducting Technology



Cooling system







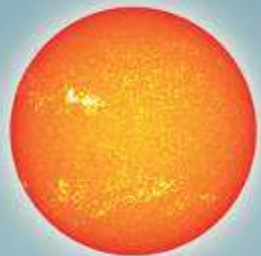
ITER is een wereldwijd project

Bouwkosten: 12 miljard Euro

Eerste experimenten: 2020

Energieproductie: 500 MW

Energievraag: 50 MW



De toekomst?

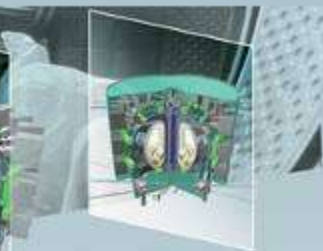
2000

2010

2020

2030

2040



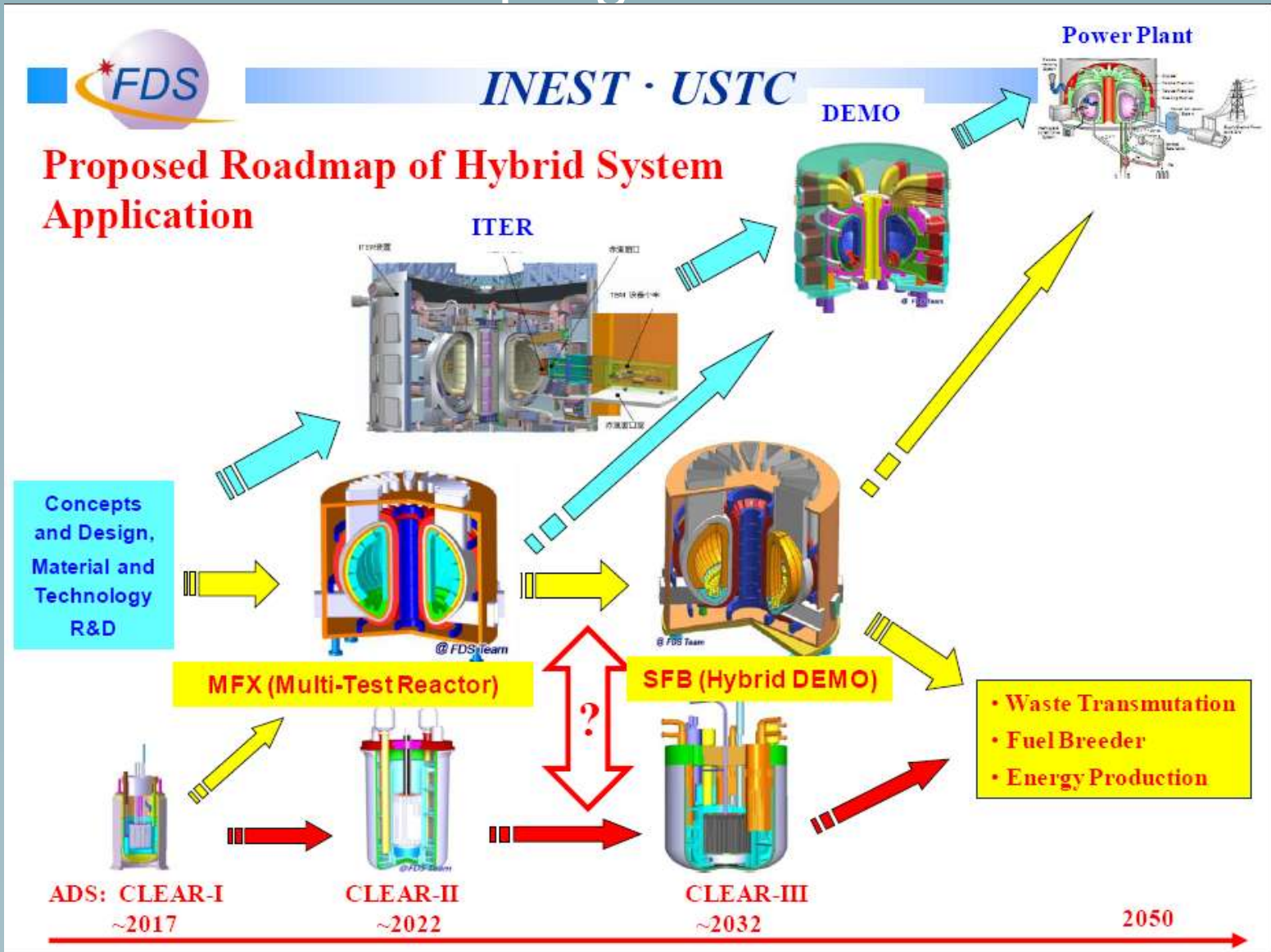
JET

ITER

DEMO

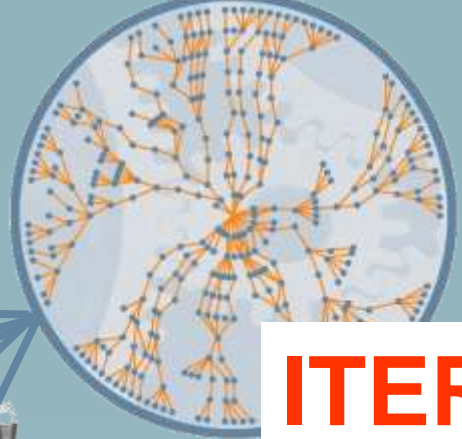
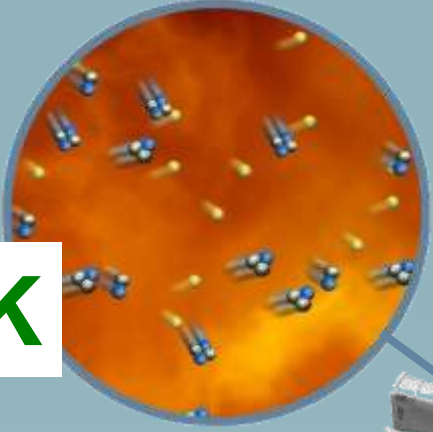
**Fusion
power**

Aziatische landen hebben zeer agressief programma



De 7 onmogelijkheden van fusie

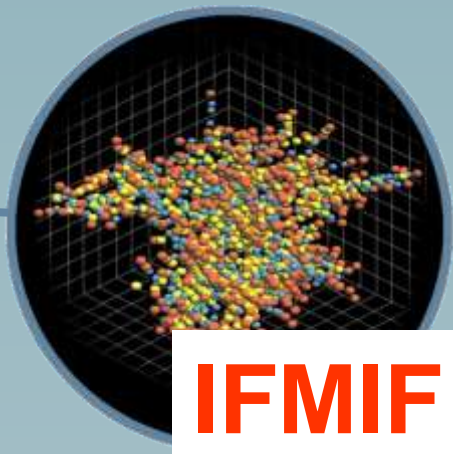
OK



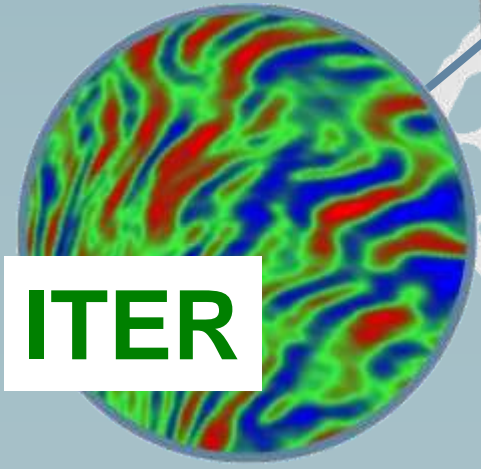
ITER



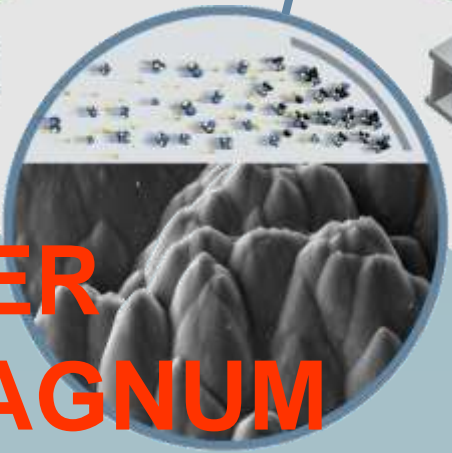
ITER



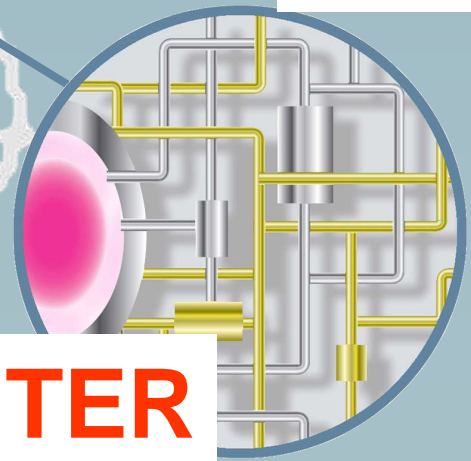
IFMIF



ITER



**ITER
MAGNUM**



ITER



www.fusie-energie.nl

The End

Dank aan:
Niek Lopes Cardozo
Gieljan de Vries

Verdieping:



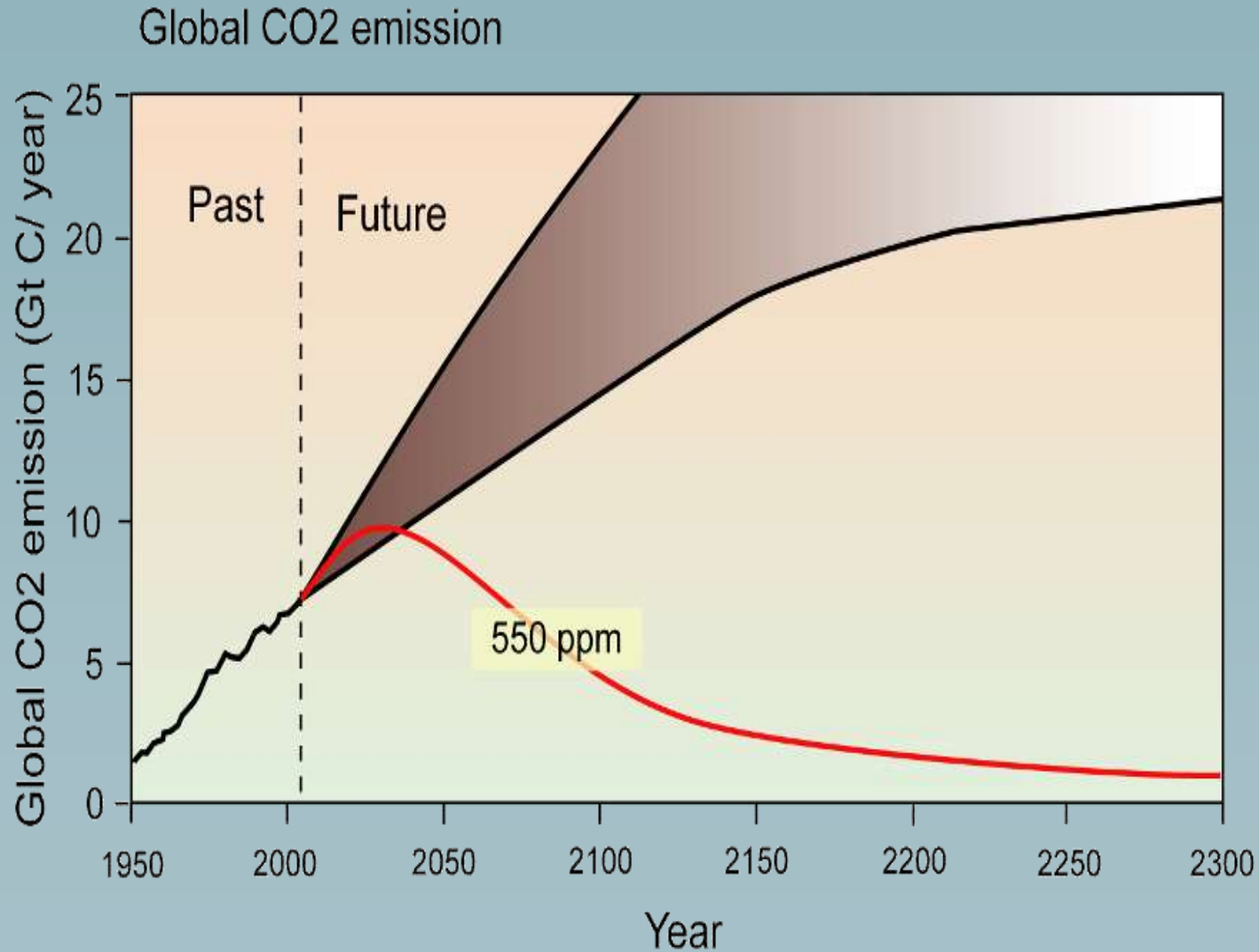
Veiligheid

Wanneer komt het, wat kost het?

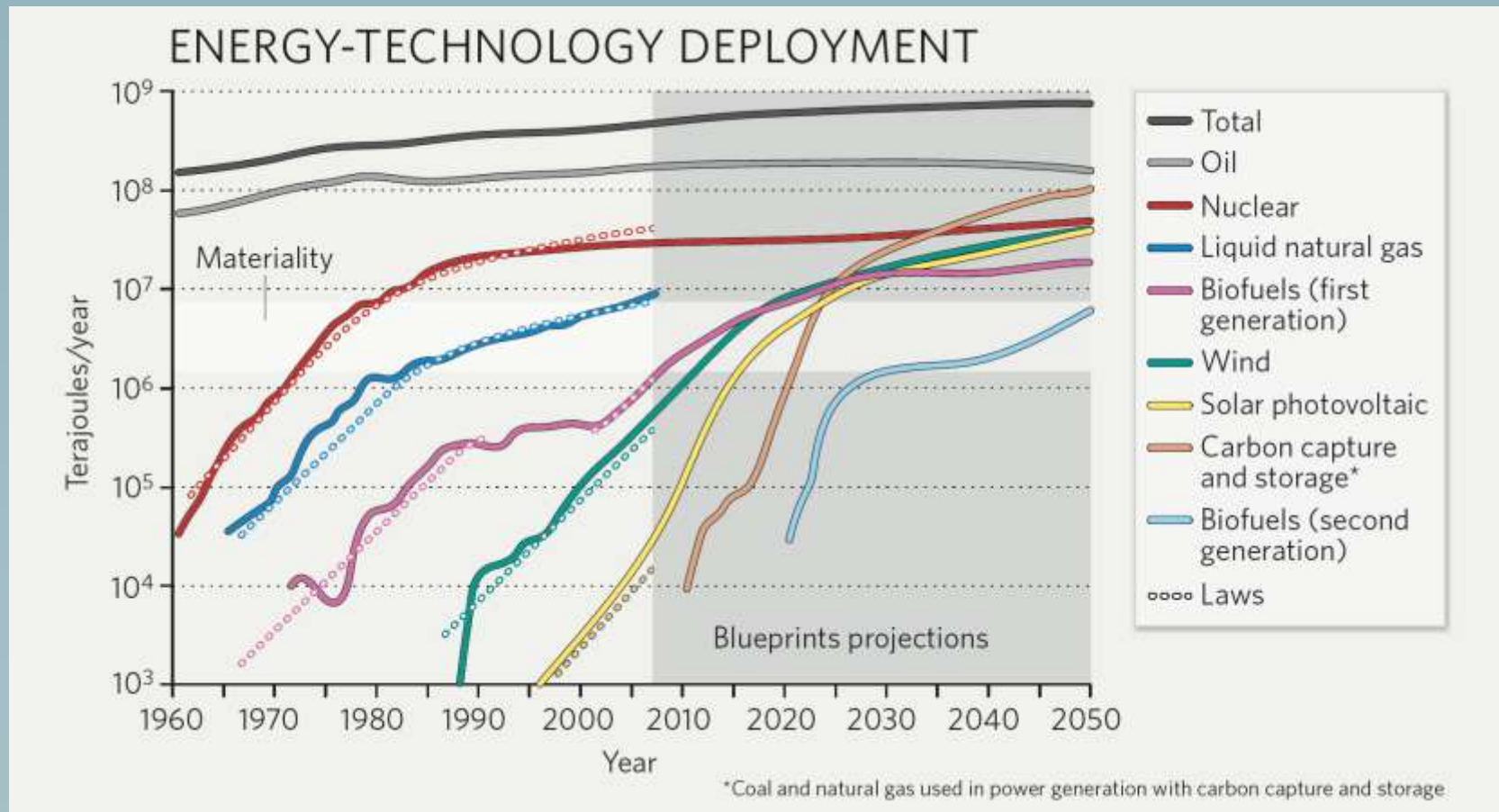
Andere vormen van fusie

Economie – wat bepaalt de kostprijs?

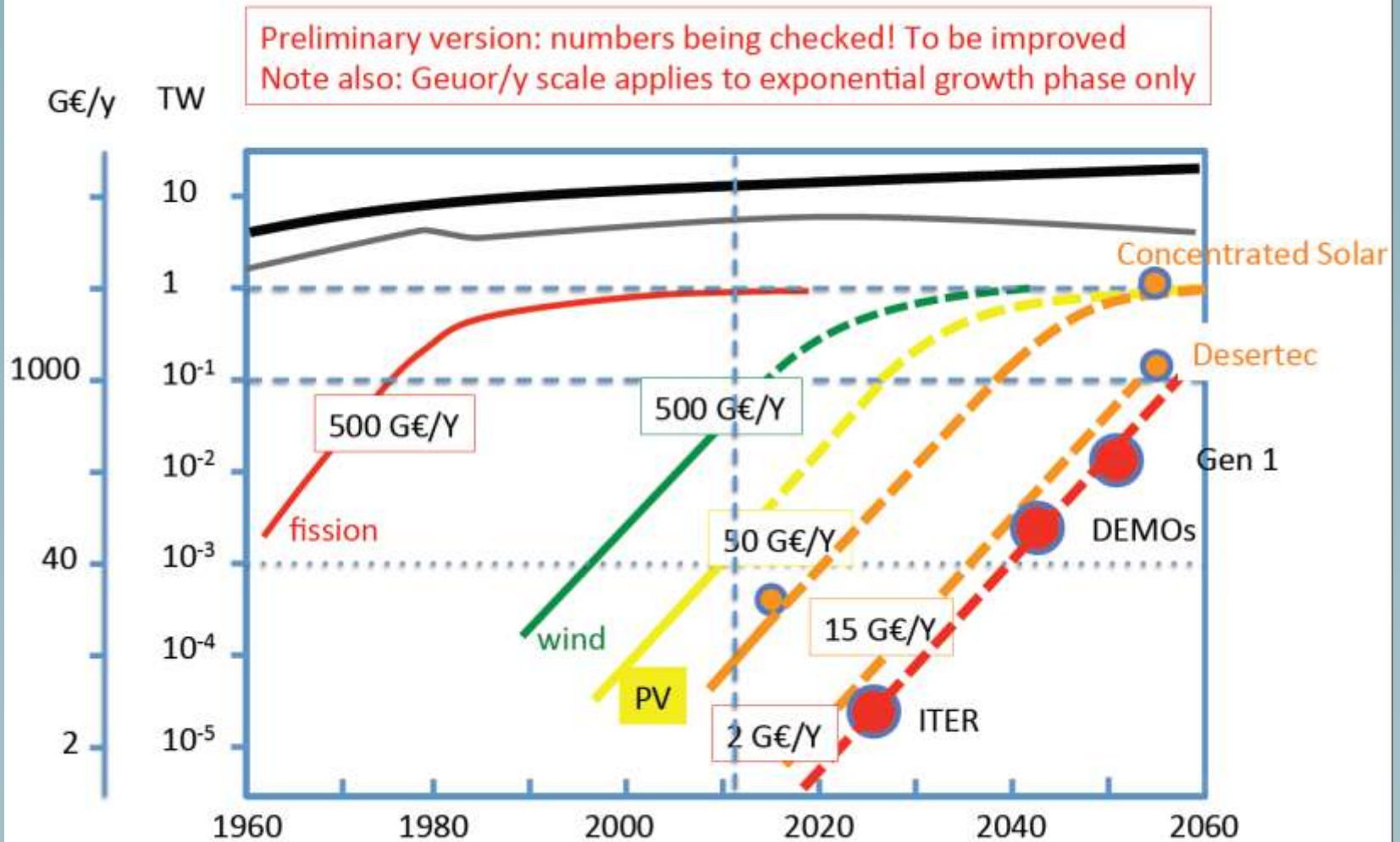
Komt fusie op tijd?



Groei van diverse energiebronnen (G.J. Kramer, Nature 2009)



Fusie tov andere bronnen



Veiligheid

Fusie is géén kettingreactie

Brandstof voor
paar seconden



Veiligheid

Waterstof en helium
zijn ongevaarlijk

Géén vervoer radioactieve
stoffen tijdens bedrijf

Géén lang-levend kernafval

Géén uitstoot broeikasgas

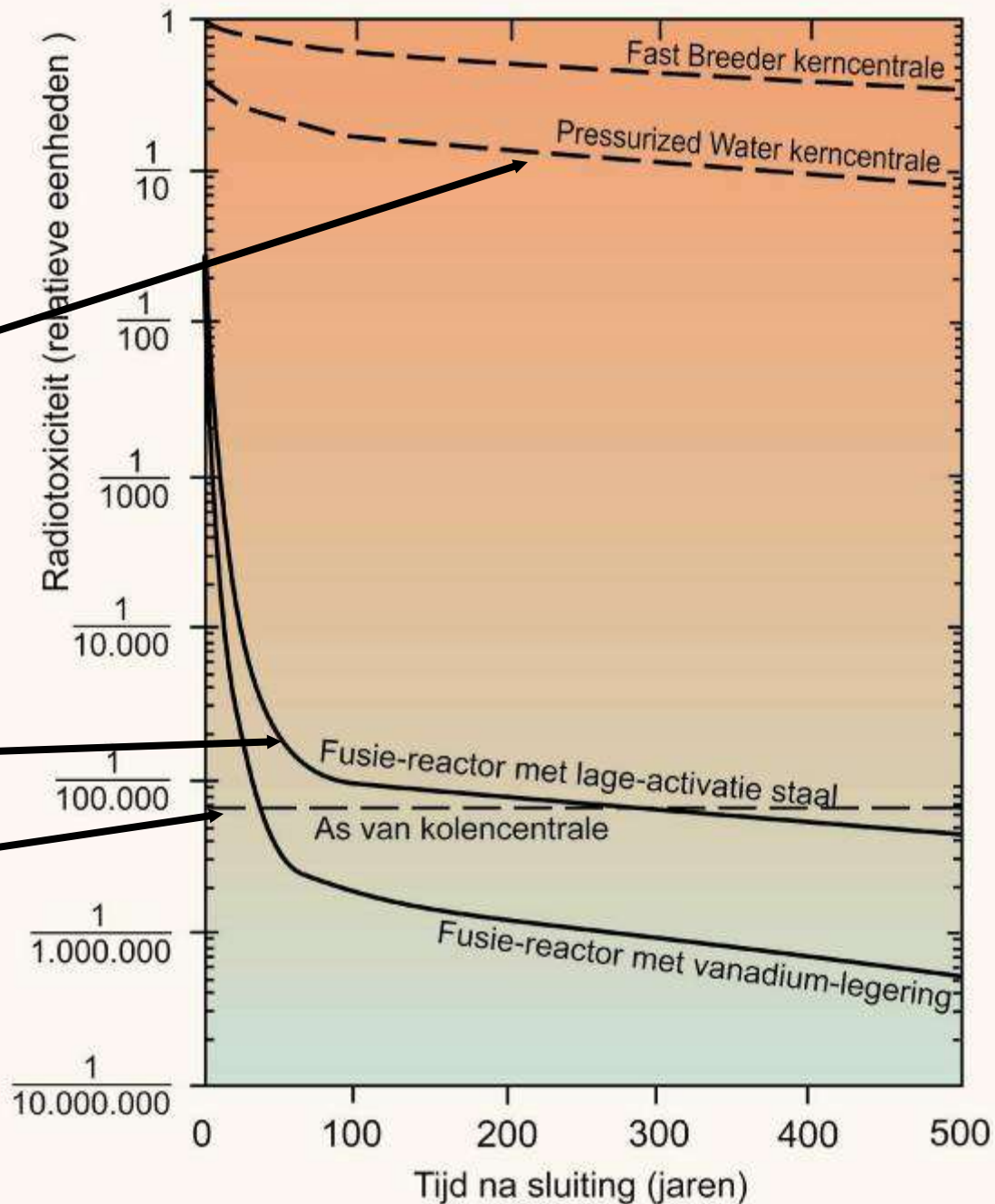


Kernfval

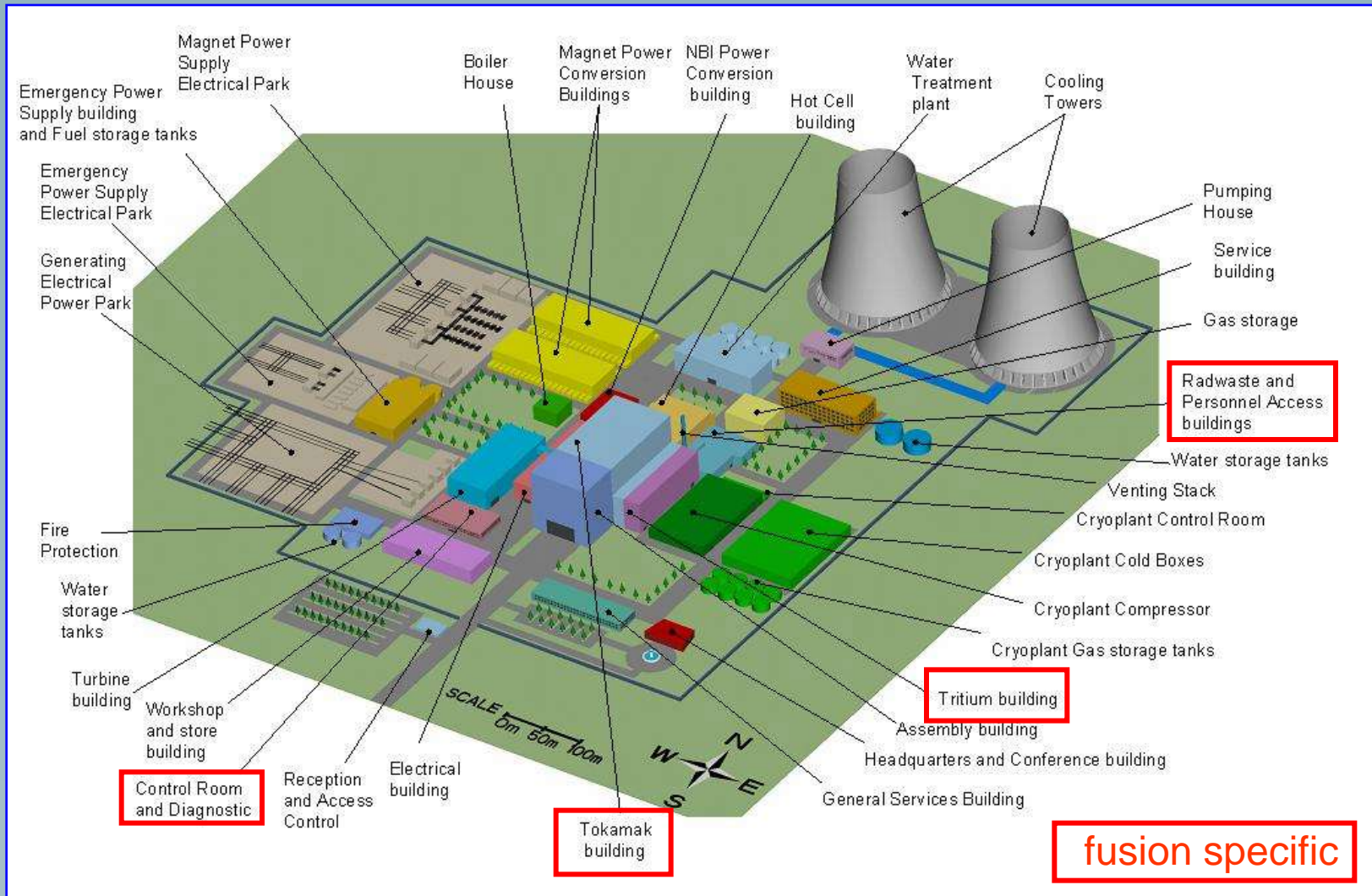
Kernsplijting

Kernfusie

Kolenas



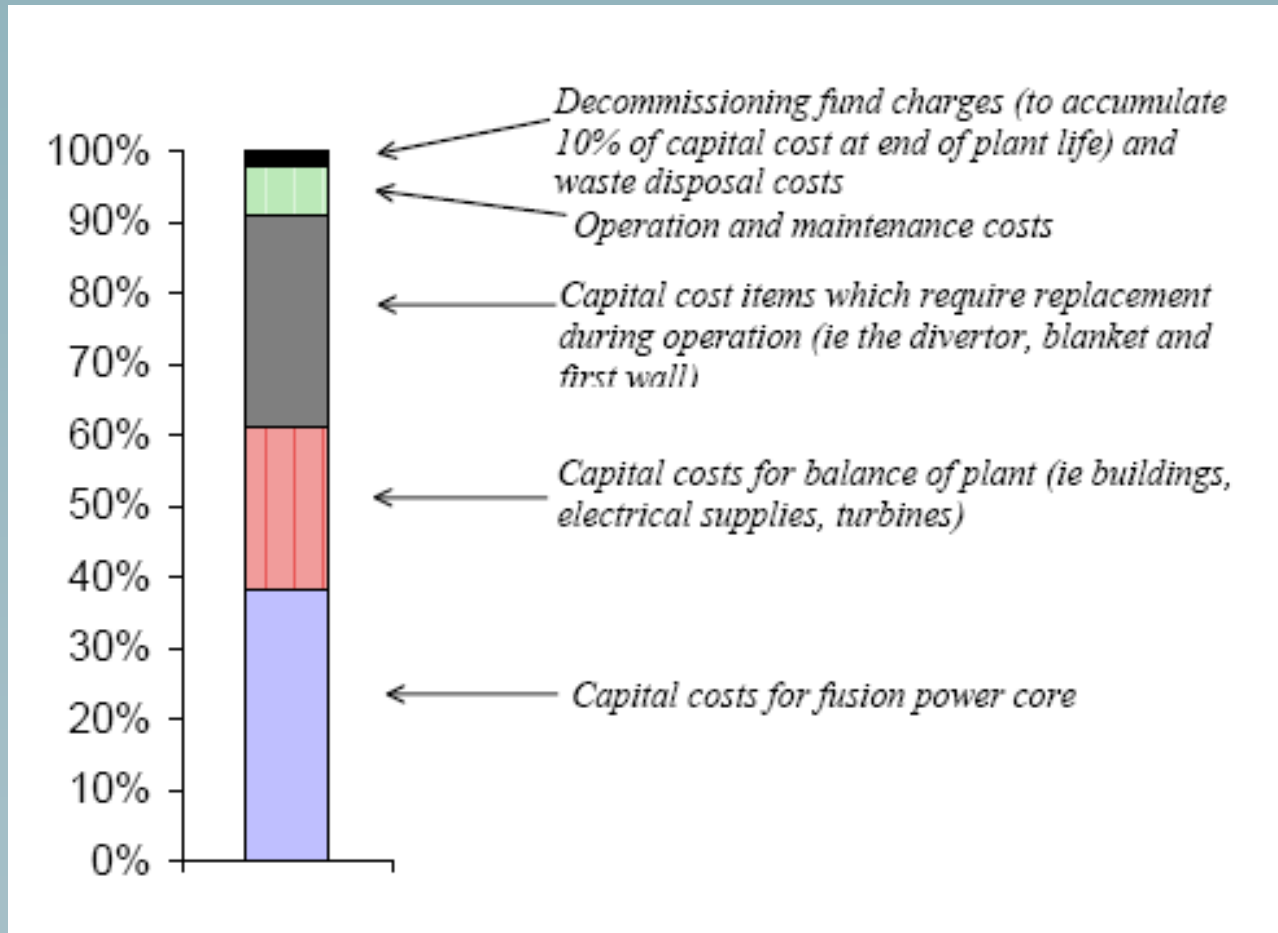
Economie: electriciteitskosten



Most of the plant is conventional, not fusion specific!

Economie: electriciteitskosten

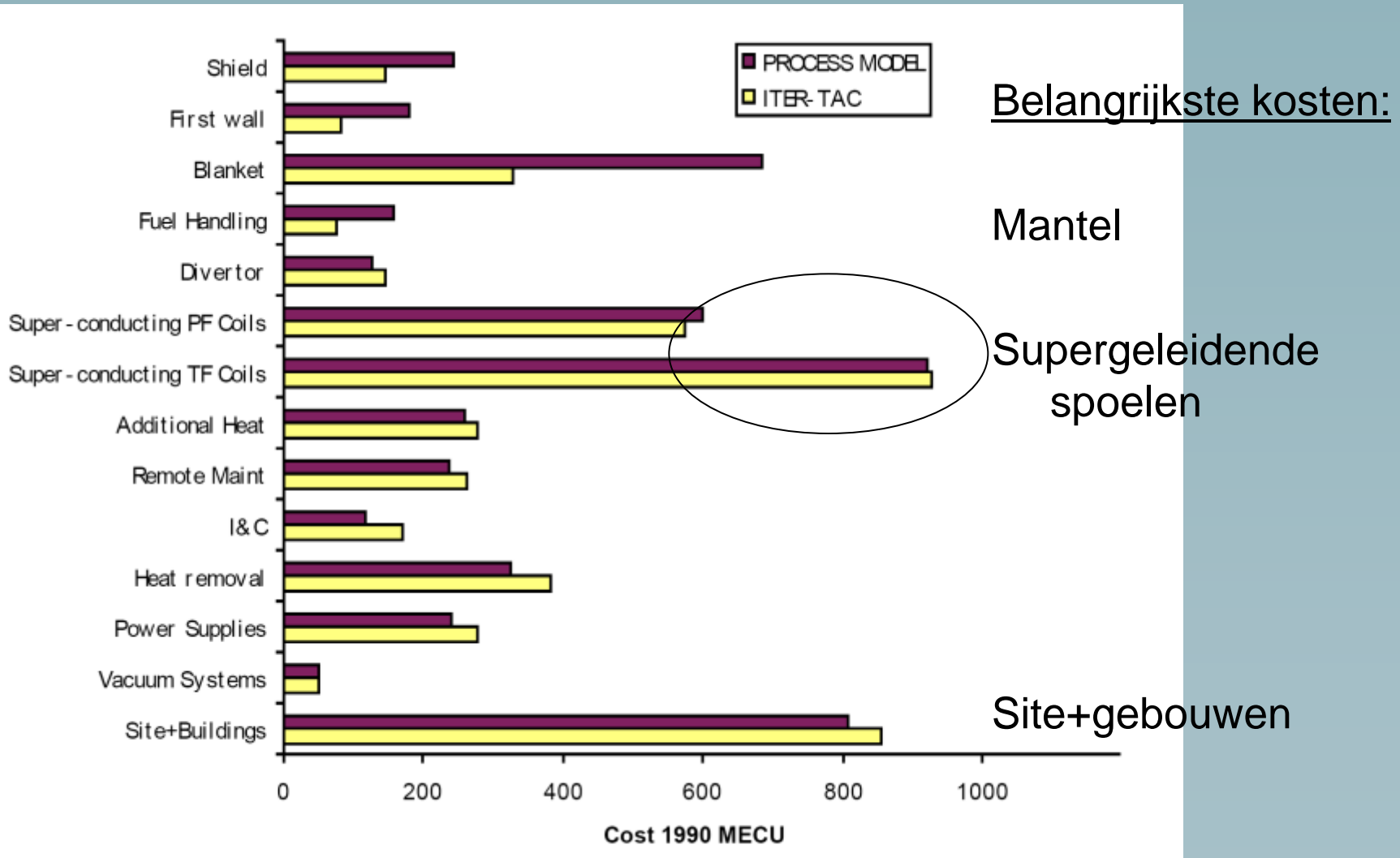
Samenstelling van directe kosten



Brandstofkosten bedragen slechts **0.5%** !

Economie: elektriciteitskosten

Kosten voor diverse componenten



Economie: electriciteitskosten

The plant must be an **affordable, reliable, maintainable** energy source and all of these factors are contained in the cost of electricity:

$$\text{coe} = \frac{[C_{AC} + (C_{O\&M} + C_{SCR} + C_F) * (1 + y)^Y + C_{D\&D}]}{(8760 * P_E * P_f)}, \text{ where}$$

C_{AC} is the annual capital cost charge (total capital cost x Fixed Charge Rate)

$C_{O\&M}$ is the annual operations and maintenance cost  Minor Effect (salaries, equip)

C_{SCR} is the annual scheduled component replacement  Minor Effect (cost, life)

C_F is the annual fuel costs

y is the annual escalation rate

Y is the construction and startup period in years

P_E is the net electrical power (MWe)

P_f is the plant capacity factor

 Major Effect

$C_{D\&D}$ is the annual decontamination and decommissioning converted to mills/kWhr

Economie: electriciteitskosten

Schaling van kosten met capaciteit

$$\text{coe} \propto \left(\frac{1}{A}\right)^{0.6} \frac{1}{\eta_{\text{th}}^{0.5} P_e^{0.4}} \frac{1}{\beta_N^{0.4} N^{0.3}}$$

A: Availability

η_{th} : thermodynamic efficiency

β_N : normalized plasma pressure

N: normalized plasma density

Economie: beschikbaarheid

$$\text{Availability} = \frac{\text{Operational Time}}{\text{Operational Time} + \text{Scheduled Down Time} + \text{Unscheduled Down Time}}$$

Operational Time is the power production time over a set period of time.

Scheduled Down Time is the sum of regularly scheduled maintenance periods for the power core, other reactor plant equipment, and balance of plant equipment

Unscheduled Down Time is the summation of maintenance times to repair unexpected operational failures that cause the plant to cease power production

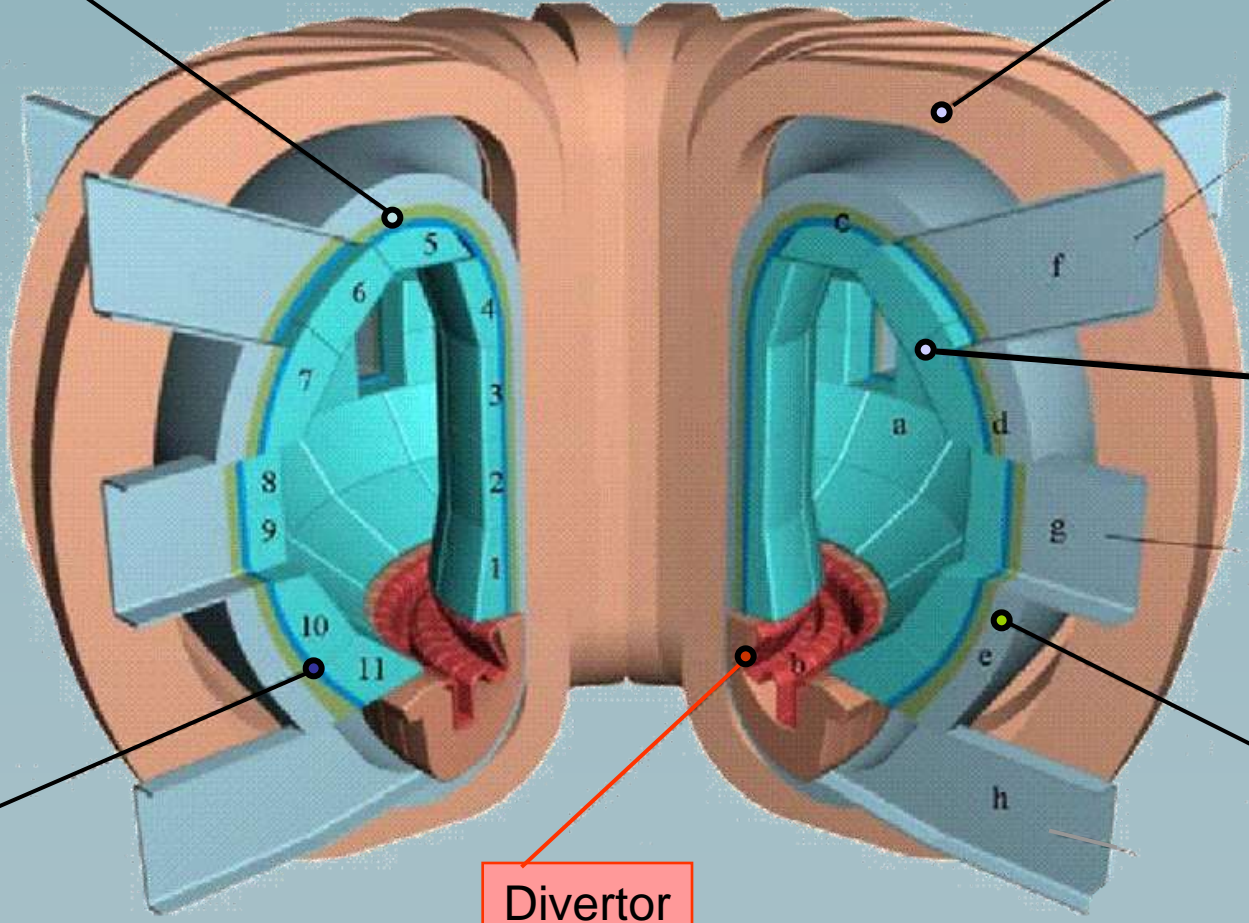
Permanent

5-6 year

2 year

Coolant manifold

Magnet



Blanket

Divertor

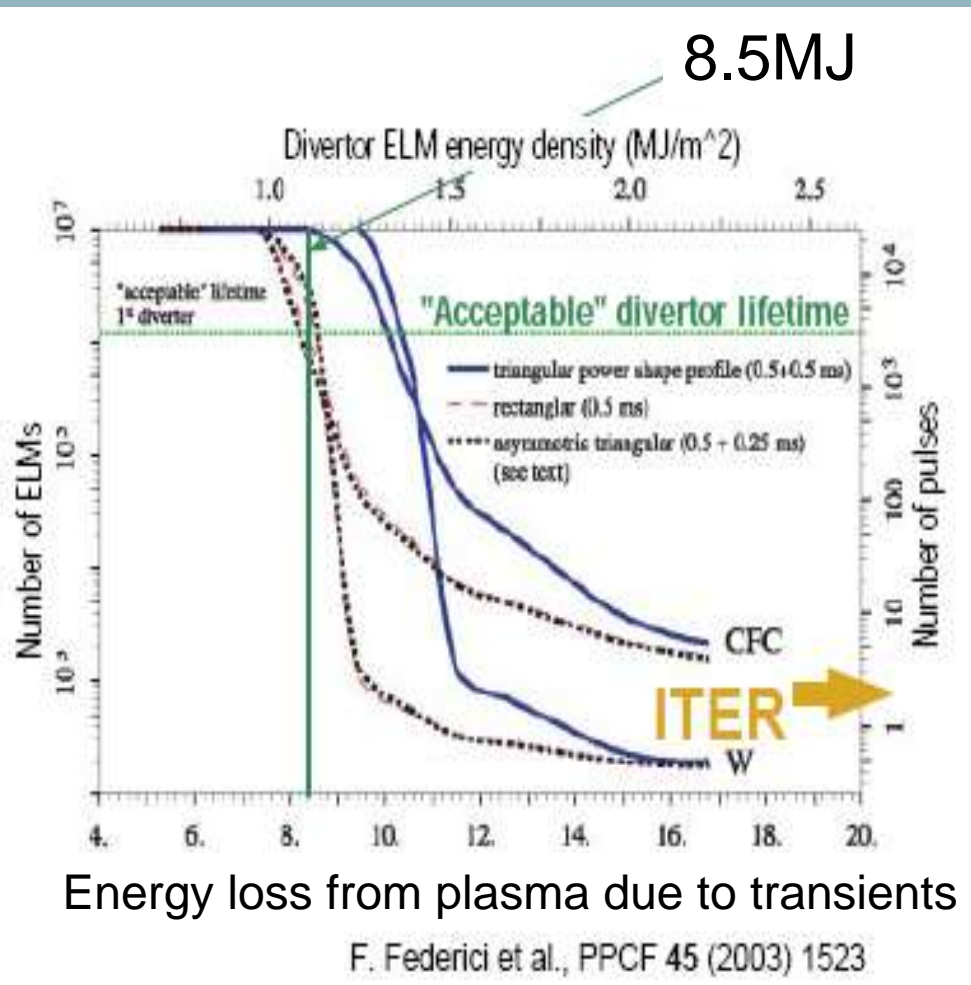
Vessel

Cold shield

(Power Plant Conceptual Study)

Economie: beschikbaarheid

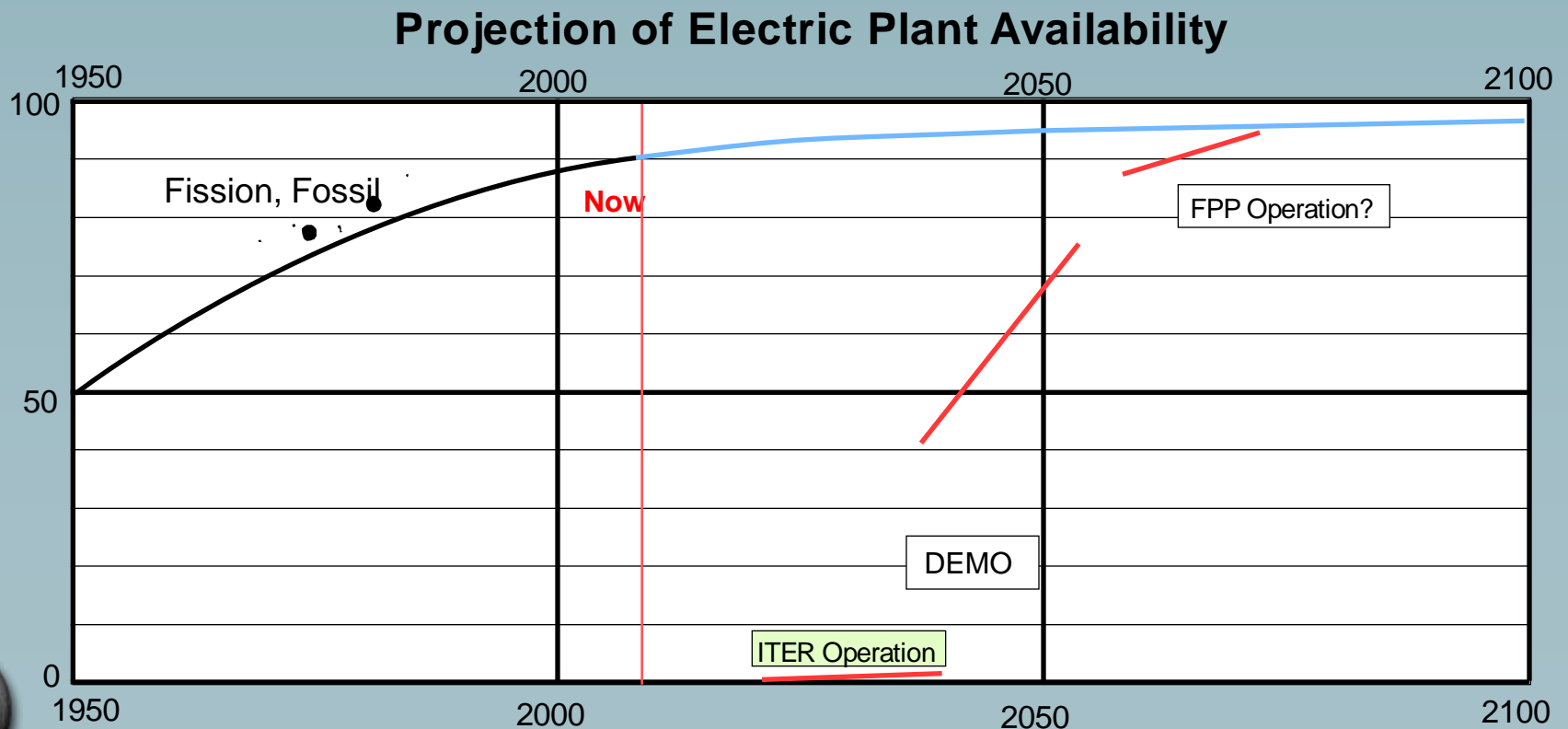
Snelle warmteverliezen beperken de levensduur van ITER



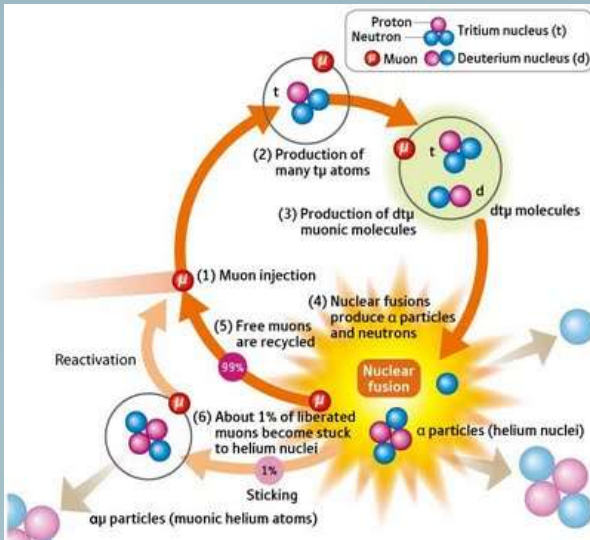
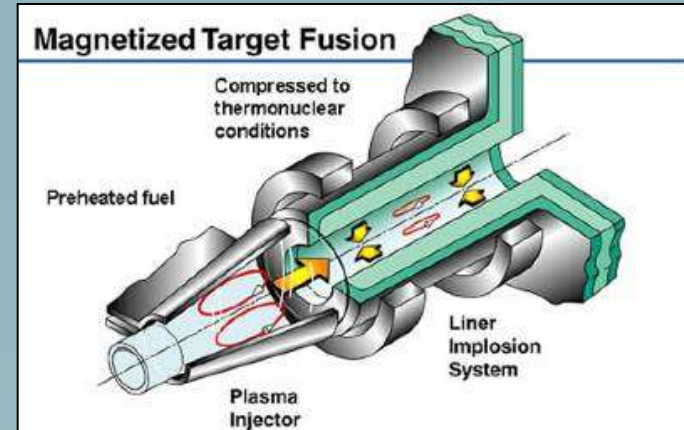
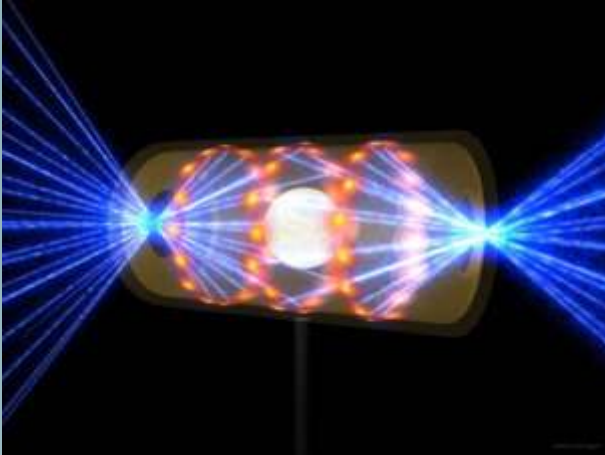
- Transient heat losses of 1 ms duration are caused by edge instabilities (so called ELMs)
- Large ELMs are unacceptable
- Mode of Operation should avoid ELMs

Economie: beschikbaarheid

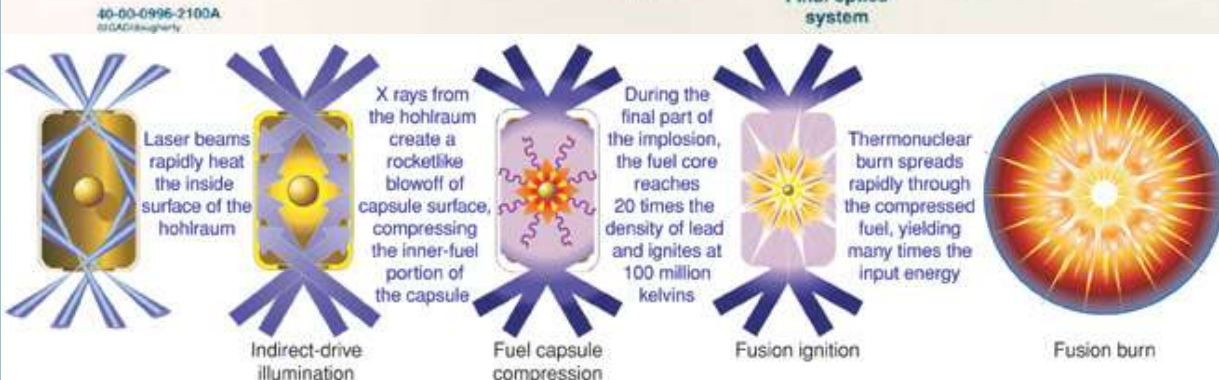
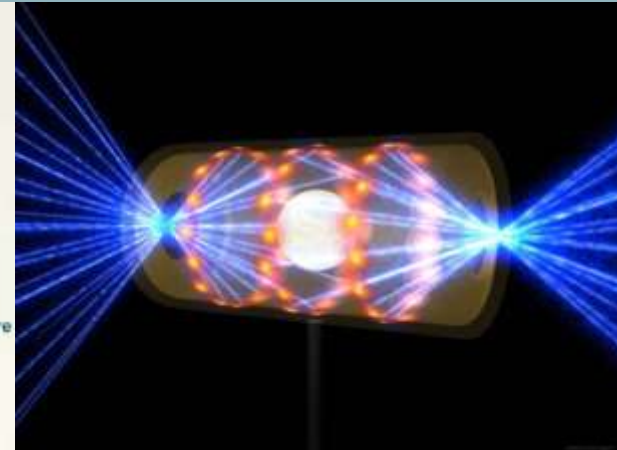
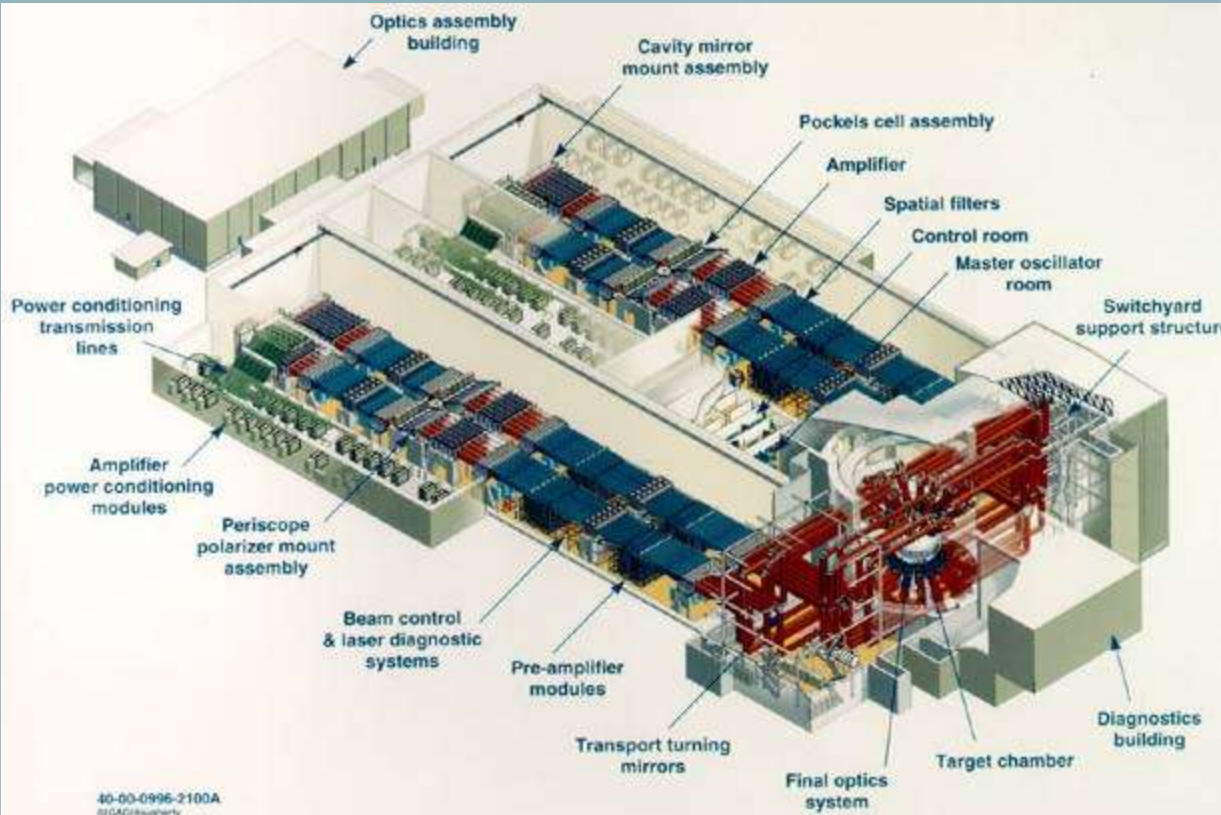
Beschikbaarheid moet groeien via ITER, DEMO tot een fusie-elektriciteitscentrale



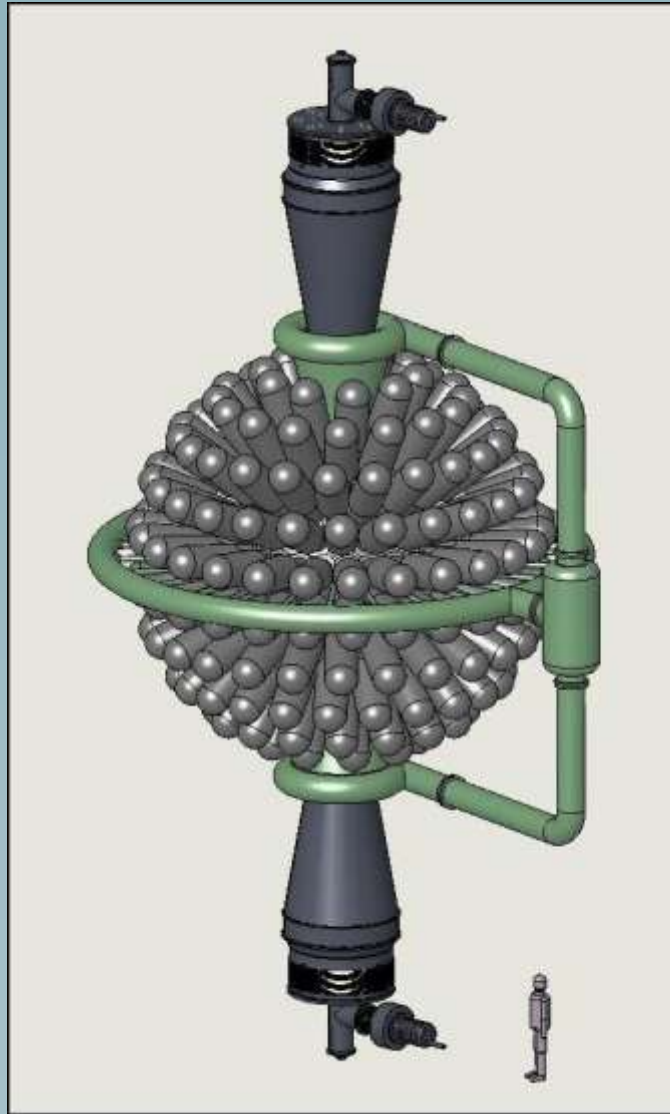
Andere vormen van fusie



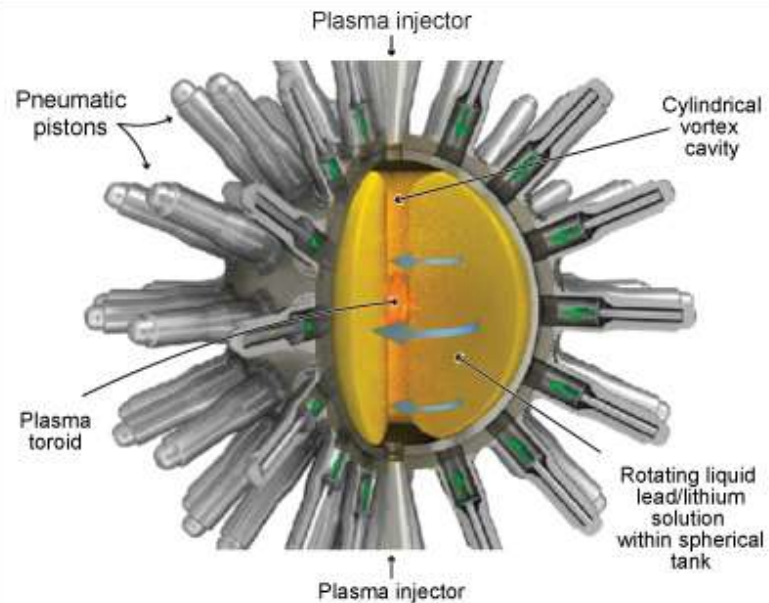
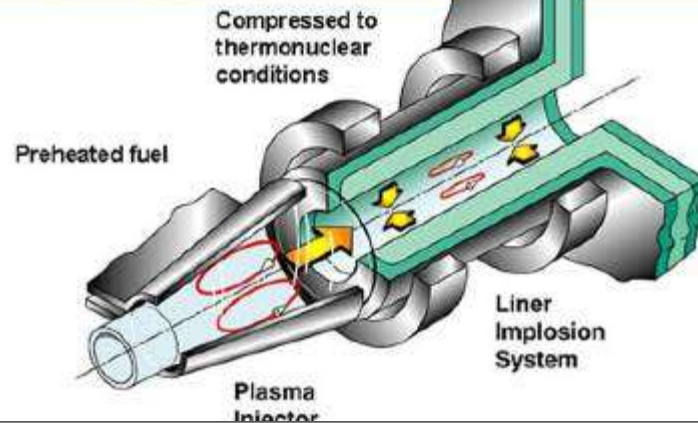
Traagheidsopsluiting (laserfusie)



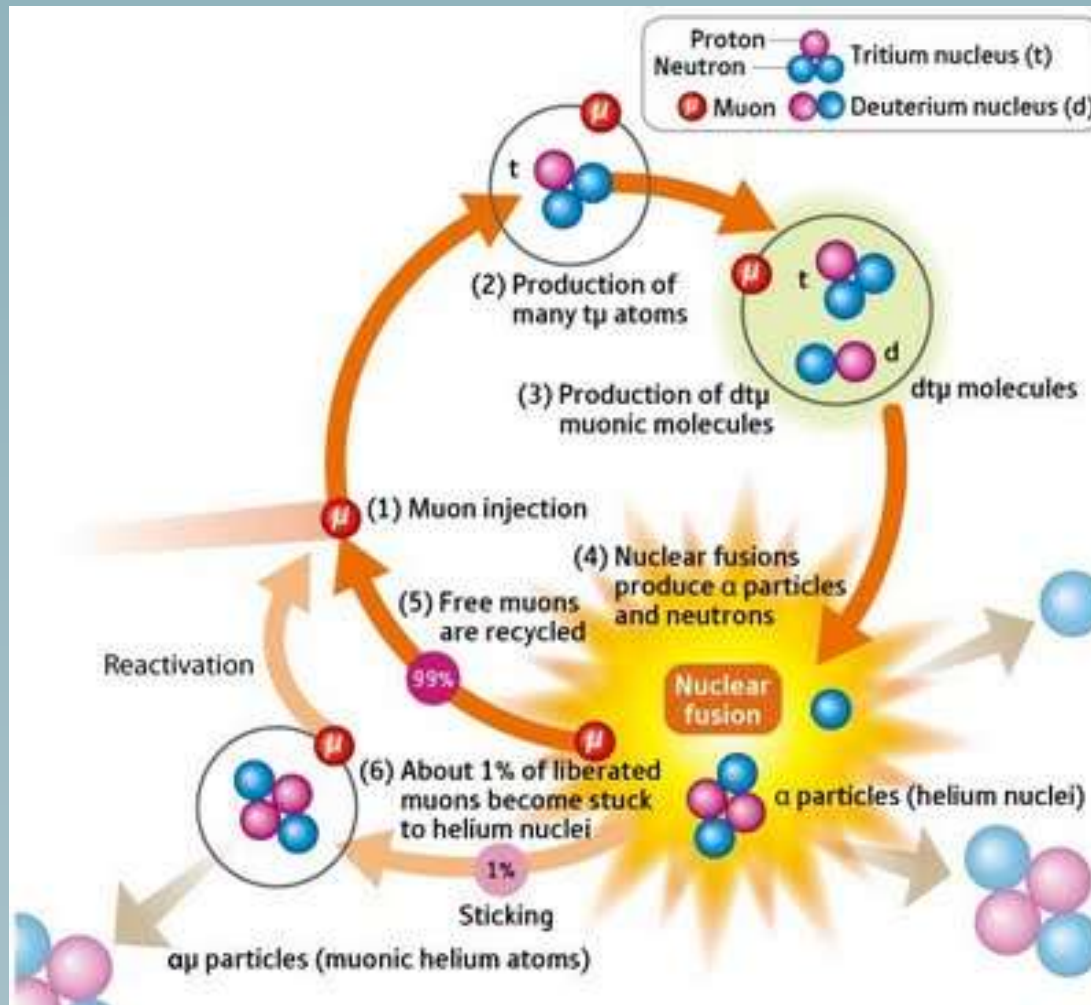
Magnetized Target Fusion



Magnetized Target Fusion

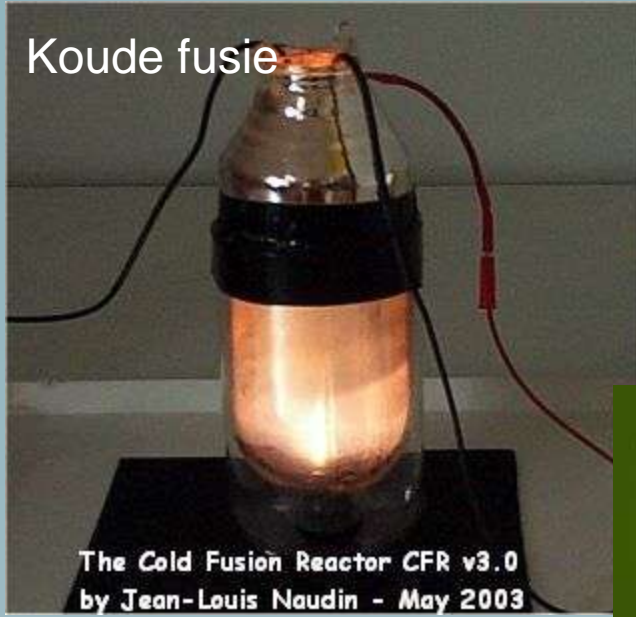


Muon-gekataliseerde fusie



Confusie

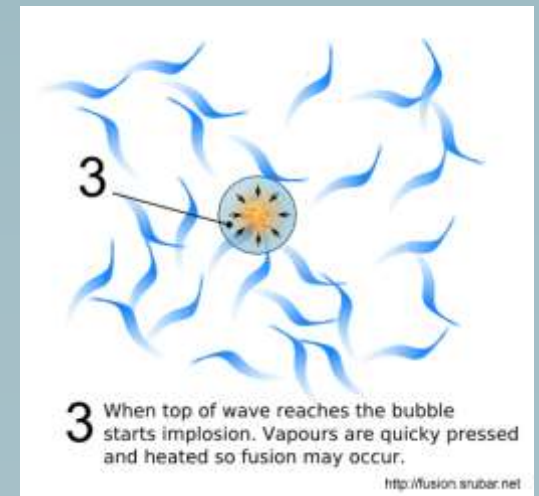
Koude fusie



Fusor



Bubble fusion



Bolbliksem

